

《科学研究費補助金(総合研究A)研究集会報告集》

代 数 的 組 合 せ 論  
報 告 集

1986年11月12日～14日

於 愛媛大学理学部

## は　し　が　き

この報告書は、1986年11月12日より3日間愛媛大学理学部で開かれた「代数的組合せ論」研究集合の講演記録である。

代数的組合せ論の研究集会は、第1回が1983年に岡山大学、第2回が1985年に大阪市立大学文化交流センターで開かれ、今回が第3回である。

この研究集会では、この報告集でみられるように、研究成果の発表とともに、符号理論、アダマール行列、射影平面、グラフ等についての紹介もおこなわれた。

この集会のプログラム、準備等は主として木村浩氏によりなされた。また会場を提供し、色々と御援助下さった愛媛大学理学部数学教室の方々に感謝の意を表したい。

尚この集会の費用は、科学研究費総合研究A（代表者 白谷克巳）によった。この集会のために色々御尽力頂いた白谷克巳氏にもお礼の言葉を申し述べたい。

1986年12月10日

大　山　　豪

## 目 次

1. Code 理論について .....	1
伊 藤 昇(甲南大・理)	
2. Hadamard 行列に関する二、三の話題 .....	5
山 本 幸一(東京女子大・文理)	
3. Goethals-Seidel 型 Hadamard 行列 .....	15
喜 安 善市(足利工大)	
沢 出 和江(名古屋工大)	
4. 一般四元数型配列の応用から得られる新しい Hadamard 行列の系列 .....	25
山 田 美枝子(東京女子大・文理)	
5. アダマール行列と Code 理論 .....	36
小 関 道夫(長崎大・教養)	
6. Hadamard 行列とその K-行列について .....	49
木 村 浩(愛媛大・理)	
7. ある種の平面分割の個数について .....	55
岡 田 聰一(東京大・理)	
8. 群が作用する block design について .....	66
荒 川 則 泰(北海道大・理)	
吉 田 知 行(北海道大・理)	
9. 巡回型ブロック・デザインの逐次構成 (グラフ、デザインの合成を中心として) .....	76
神 保 雅一(東京理科大・理工)	
栗 木 進 二(東京理科大・理)	

10. 射影平面入門	90
中川暢夫(近畿大・理工)	
11. 可約非可解な自己同型群をもつ位数 $p^2$ の plane について	103
平峰豊(大阪大・教養)	
12. 表現次数が丁度 $p^s$ で割り切れるような $S_n$ の既約表現の個数を表す母関数について	110
中村博昭(東京大・理)	
13. Distance-Regular Digraphs. II	119
榎本彦衛(東京大・理)	
14. 次数 4 の距離正則グラフについて	130
野村和正(東京医科歯科大)	
15. Large Cliques in the Graphs of Quadratic Forms	145
江川嘉美(東京理科大・理)	
16. 群とグラフに関する幾つかの結果	153
芳沢光雄(城西大・理)	
17. Spanning trees fixed by automorphisms of a graph	159
加納幹雄(明石高専)	
坂本明雄(徳島大・工)	
18. グラフの連結性について	165
太田克弘(東京大・理)	

## Code理論について

伊藤昇(甲南大理)

### 1° まえがき

Code理論は日本では主として数学以外の人達によつて研究されてきつてゐる様に見えます。それはそれで理由があるのをしようが、数学の人達との交流がもつともかゝつたらと思つるのは私だけをしようか。有名な Reed-Muller codeなど、日本で発見されたばかりの逆輸入の形をとつて發展したことなども、よくある話のひとつとも知れません。ともかく Code理論の歴史はまだ新らしいので魅力ある問題がいまだ沢山あります。こんなことを思ひ満べながらこの書き下ろしを引き受けたのでした。

### 2° Codeとは

Codeとは有限体  $GF(q)$  上のベクトル空間  $V = \{(a_1, \dots, a_n), a_i \in GF(q), 1 \leq i \leq n\}$  の部分集合のことです。その部分集合が部分空間  $C$ であるとき  $C$  は linear と呼ばれます。ここで  $q$  の大きさを  $q=2$  のとき  $C$  は binary と呼ぶますが、ここで  $q$  の大きさに限定します。しかし理

論上から GF(4)上のものを考えることも必要による  
でしょう。数学的には代数的幾何学上のベクトル空間を必  
要な理論を開拓してきて、素イデアルを法としておと  
すなどとも考えられていましたが、それもまだ至今に  
至されていとはいえません。

### 3° Codeの特性

$V$ には通常の内積;  $a = (a_1, \dots, a_n)$ ,  $b = (b_1, \dots, b_n)$  について  $a \cdot b = \sum_{1 \leq i \leq n} a_i b_i$  がありますが、  
codeというときは Hamming 距離;  $d(a, b) = \#\{i \mid a_i \neq b_i\}$  を考えています。これにより  
 $V$ は距離空間になります。また 0 ベクトルからの距離  
 $d(0, a) = \text{wt}(a)$  を  $a$  の重さといいます。さらに  
 $d(C) = \min_{0 \neq a \in C} \text{wt}(a)$  を  $C$  の最小重さといいます  
。  $t(C) = \dim C$  とすると,  $t(C)$ ,  $d(C)$  がとも  
に大きめ  $C$  をためるといふのが code 理論の基本的問  
題のひとつです。このとき  $C^\perp = \{a \in V : a \cdot C = 0\}$   
を  $C$  の双対といいますが,  $C^\perp$  とともに  $C^\perp$  を考察するこ  
とは数学の常とよ手段でしょう。つきに  $x \in V$  について  
 $\text{wt}(C+x) = \min_{a \in C} d(a, x)$ ,  $t(C) = \max_{x \in V}$   
 $\min_{a \in C} d(a, x)$  となる  $t(C)$  を  $C$  の covering

ng radius と呼びます。 $\ell(C)$ ,  $t(C)$  がともに小さな  $C$  を求めるよりも  $C$  の理論の基本的問題のひとつです。そのあたりはある程度から範囲を動くと考えるべきでしょう。

$C$  は応用と直接結びついているため有名な  $C$  は達はめで好んで構成されています。そのためめぐらしく一般的な定理があるとされるべきだと思われるところが多いです。

#### 4. $C$ の群

代数と直接関連している部分は沢山ありますが、そのひとつは  $C$  の自己同型群です。たとえば 2 次元の Macmillan と Golay code との結びつきは今では誰もが知っていることでしょう。 $C$  の自己同型群は

$$\text{Aut } C = \{ \sigma \in \text{Sym } n ; C\sigma = C : \text{ただし} \\ (a_1, \dots, a_r, \dots, a_n) \sigma = (a_{1\sigma}, \dots, a_{r\sigma}, \dots, a_{n\sigma}) \}$$

で定義されます。 $\text{Aut } C$  の大きさ  $c$  とは  $C$  に対称性、美しさ、が沢山あると考えられます。実際  $C$  に  $n$ -サイクルがあるとき  $C$  は cyclic と呼ばれます。そのとき  $V = \frac{\text{GF}(2)[x]}{(1+x^n)}$  ただし  $n$  は奇数とするのが普通です。すると  $C$  は  $V$  のイデアルとあって、

一般論が展開されています。ところが  $d(C)$ ,  $t(C)$  に深入りすることは出来ません。

### 5° 文献

最近は Covering radius についてのものが沢山あります。そこから Code 理論に入ると良いのも良いと思います。若干期待しています。

(1) Covering radius - survey and recent results

Cohen, Karpousky, Mattson, Shatz

[E<sup>3</sup> TIT 31 (1985) 328-343]

(2) On the covering radius of codes

Graham, Sloane

TIT 31 (1985) 385-401

(3) Further results on the covering radius of codes

Cohen, Lobstein, Sloane

TIT 32 (1986) 680-694

(4) On the covering radius of cyclic linear codes and arithmetic codes

Helleseth

Discrete Applied Math 11 (1985) 157-173

## Hadamard 行列に関する二三の話題

東京女子大文理 山本幸一

Hadamard 行列の研究は大別して、構成の問題と分類の問題に分けることができる。

構成の問題は、Hadamard 行列の無限序列を作り出す原理を探求することに帰着するが、それらのいくつかの原理が、研究者によって次々と提示されてきた。

分類の問題は、Hadamard 行列の同値類を決定することである。たとえば既に次の Hadamard 行列の同値性の判定が一つの先決問題となる。それはまた何とかの不整重が必要になり、しかも比較的簡単に計算できるものが望ましい。

今回はこの二つの方向で、注目すべき結果を紹介することにする。

## §1. 構成の問題

$n$  次の  $(1, -1)$ -行列  $\alpha, \beta$  について、それらが“正規行列”で、互に交換可能であると仮定する。すなはち

$$\alpha\alpha^* = \alpha^*\alpha, \quad \beta\beta^* = \beta^*\beta,$$

$$\alpha\beta = \beta\alpha.$$

このとき  $2n$  次の  $(1, -1)$ -行列

$$H = \begin{pmatrix} \alpha & \beta \\ -\beta^* & \alpha^* \end{pmatrix}$$

H

$$HH^* = \begin{pmatrix} \alpha\alpha^* + \beta\beta^* & 0 \\ 0 & \alpha\alpha^* + \beta\beta^* \end{pmatrix}$$

を満足するから、この外に零のルム関係式

$$\alpha\alpha^* + \beta\beta^* = 2nI$$

が成立つ。H は  $2n$  次 Hadamard 行列である

たゞえば  $A, B, C, D$  が  $n$  次  $(1, -1)$ -巡回行列（すなはち多層巡回行列：以下同様）で、 $A, B, C, D$  は対称

行列、

$$\alpha = \begin{pmatrix} A & B \\ -B & A \end{pmatrix}, \quad \beta = \begin{pmatrix} C & D \\ -D & C \end{pmatrix}$$

とすれば、

$$H = \begin{pmatrix} A & B & C & D \\ -B & A & -D & C \\ -C & D & A & -B \\ -D & -C & B & A \end{pmatrix}$$

之，上ルの関係式

$$A^2 + B^2 + C^2 + D^2 = 4nI$$

なら之，  $H$  は  $4n$  次 Williamson 型 Hadamard 行列となる

また  $A, B, C, D$  が巡回行列  $\tau$ ，  $R$  は基本的巡回回行列，

$$\mathbf{x} = \begin{pmatrix} A & B \\ -B^* & A^* \end{pmatrix}, \quad \mathbf{y} = \begin{pmatrix} C & DR \\ -DR & C \end{pmatrix}$$

とすと

$$H = \begin{pmatrix} A & B & C & DR \\ -B^* & A^* & -DR & C \\ -C^* & DR & A^* & -B \\ -DR & -C^* & B^* & A^* \end{pmatrix}$$

之，上ルの関係式

$$(1) \quad AA^* + BB^* + CC^* + DD^* = 4nI$$

なら之，  $H$  は  $4n$  次 Hadamard 行列である。すなはち，

Goethal-Seidel 型 Hadamard 行列の表現である。

事実  $C$  の左右から  $\text{diag}\{I, R, R, I\}$  を掛けると普通見なれて、  
3 Goethals-Seidel 行列となる。

したがって  $C$ -行列の条件式

$$(2) \quad AA^* + BB^* + CC^* + DD^* = 4(n+1)I - 4J$$

かつ  $A, B, C, D$  の行和に関する条件が満足されれば、  
 $H$  は幅 4 の「縁取り」を持つ  $4(n+1)$  次の Hadamard 行列が  
できる。

この原理を、整数論的な手法と用いて山田 [1] は、  
定理.  $q=8k+1$  の素数中で、 $4k$  次の Hadamard 行  
列が存在すれば、 $4q$  次の Hadamard 行列が構成できる  
を証明した。

$n \leq 10000$  で存在が未確認の次数 49 のうち、39 個の  
この定理を決着がつく。

しかし、それなりに定理の formulation が、Hadamard  
行列の拡大 (dilatation) を示唆するので、将来の構成問題  
に対して一つの道筋を示すといえよう。拡大は、他に  
は正行列を用いる方向もあるが、ラテン方陣の先駆か  
ら見て、こちらの方はより広い拡張が約束されていよう  
に思われる。

## §2. 分類の問題

今では Hadamard ベクトル不変量について述べる。

$4n$  次 Hadamard 行列  $H = (a_{ij})_{i,j=1,2,\dots,4n}$  において、  
添数集合  $\{1, 2, \dots, 4n\}$  のうち取った 4 部部分集合  $I =$

$$\{i_1, i_2, i_3, i_4\} \rightarrow \cdots$$

$$N(I) = \sum_{k=1}^{4n} a_{i_1 k} a_{i_2 k} a_{i_3 k} a_{i_4 k}$$

とき  $N(I)$  が  $4m$  に当たる 4 部部分集合の個数

$$\#\{I : N(I) = 4m\} = C_m$$

とおいて

$$\begin{cases} D_m = C_m + C_{n-m} & (m \neq \frac{n}{2}) \\ D_{\frac{n}{2}} = C_{\frac{n}{2}} & \end{cases}$$

を定義すれば、これらは Hadamard 行列の不変量である。

$$\alpha = (D_0, D_1, \dots, D_{\frac{n}{2}})$$

を Hadamard ベクトル不変量といふ。

たゞ Hadamard 行列の成分  $a_{ij}$  は凡て 0 や 1 から成る行  
列で、 $i$  ばら  $(a_{ij})$  を書いたり、

$$N(I) = \sum_{k=1}^{4n} ((a_{i_1 k} + a_{i_2 k} + a_{i_3 k} + a_{i_4 k}) \bmod 2)$$

といふ  $C_m = \{I : N(I) = 4m\}$ ,  $D_m$  と上と同様に定義する。

と、 $\alpha = (D_0, D_1, \dots, D_{\frac{n}{2}})$  は Hadamard 行列の不変量

である。つまりベクトル

$$\alpha = (D_0, D_1, \dots, D_n)$$

の成分が 1 - 2 で達成されると Hadamard 行列は Hadamard 非同値である。

しかし今上のベクトルの要素が同一であることをうなづかせよう、次のように細分をする

任意の行  $i_0$  を固定し、 $\{1, 2, \dots, 4n\} - \{i_0\}$  の 3 個部

分集合  $J = \{i_1, i_2, i_3\}$  に  $\mapsto$

$$C_{i_0}(m) = \#\{J; N(i_0, i_1, i_2, i_3) = 4m\},$$

$$D_{i_0}(m) = C_{i_0}(m) + C_{i_0}(n-m)$$

とおく。これは  $4n$  個のベクトル

$$\alpha_0 = (D_0(0), D_0(1), D_0(2), \dots, D_0(\frac{n}{2})),$$

$$\alpha_1 = (D_1(0), D_1(1), D_1(2), \dots, D_1(\frac{n}{2})),$$

⋮

$$\alpha_{4n} = (D_{4n}(0), D_{4n}(1), D_{4n}(2), \dots, D_{4n}(\frac{n}{2}))$$

すなはち、すなはち行の入れかえを除いて、一定である。

したがって、ベクトルの集合

$$\{\alpha_0, \alpha_1, \dots, \alpha_{4n}\}$$

が全体として一致するのでなければ Hadamard 行列は非同値である。

この判定条件をパスしたものは、2実部分集合  $I_0 = \{i_0, i_1\}$  を固定して  $\{1, 2, \dots, 4n\} - I_0$  のすべての2実部分集合  $K$  について

$$C_{I_0}(m) = \#\{K; N(I_0 \cup K) = 4m\}$$

とき、

$$D_{I_0}(m) = C_{I_0}(m) + C_{I_0}(n-m)$$

とおくと、 $\binom{4n}{2}$  個のベクトル

$$\alpha_{0,1} = (D_{0,1}(0), D_{0,1}(1), \dots, D_{0,1}\left(\frac{n}{2}\right)),$$

$$\alpha_{0,2} = (D_{0,2}(0), D_{0,2}(1), \dots, D_{0,2}\left(\frac{n}{2}\right)),$$

$$\alpha_{4n-1,4n} = (D_{4n-1,4n}(0), D_{4n-1,4n}(1), \dots, D_{4n-1,4n}\left(\frac{n}{2}\right))$$

は全体として不変である。すなはち

$$\alpha_{i_0, i_1} = \alpha_{p(i_0), p(i_1)}, \quad P = \begin{pmatrix} 1 & 2 & \cdots & 4n \\ p(1) & p(2) & \cdots & p(4n) \end{pmatrix}$$

ならしめる  $\{1, 2, \dots, 4n\}$  の置換  $P$  が存在するのみならず、対応する Hadamard 行列は非同値である。

この段階の判定法をパスしたものについては、さうして3実部分集合を取って、同様のベクトル不変量を考える

ヒにする。

$4n = 28, 36, 44$  の Goethals-Seidel 型 Hadamard 表示<sup>17340</sup> 分類にヒの判定法と適用する。(36 次のものは、基礎群が  $Z_9 + Z_3 \times Z_3$  (= 分けた) のため計算したベクトル不変量は、ヒヒヒと同値であると見られるから、すなわち、対応する群の自己同型で移り得るが、以外は凡て相異なヒが分った。

### §3. $Z_4^s$ 上の差集合

$v = 2^m$  の正規非自明ブロックデザインでは、 $v = 2^{2^s}$ ,  $R = 2^{s-1}(2^s - 1)$ ,  $\lambda = 2^{s-1}(2^{s-1} - 1)$  となることが Mann によって知られる。またアーベル群上、差集合に関する、 $\gamma$  パラメーターを持つ差集合が存在するための条件は、基礎によるアーベル群の指數(exponent) が  $2^{s+1}$  以下であることが、筆者論文(Pacific Journ. 1963) から分る。

基礎の群が  $Z_4^s$  の場合、 $Z_4$  上の  $s$  次拡大環  $\mathfrak{R} = Z_4(s)$  を作って、 $\mathfrak{R}$  の加法群上で考える。この  $\mathfrak{R}$  は  $Z_2$  上の  $s$  次原始多項式の係数を  $Z_4$  で割りきえたもの<sup>9</sup> の根  $\xi$ ,  $\xi^{2^s-1} = 1$  なるものとしておく。

このとき  $\mathfrak{R}$  の正則元全体の乗法群  $\mathfrak{R}^*$  の指數(index)

$2^k$  の部分群は上掲  $\lambda$ -パラメータを持つ差集合の例となる  
(山田).

では  $\mathfrak{A}^*/\{\pm 1\}$  の coset  $2^{k-1}$  の合併集合について、必ずしも群でなくとも、差集合となるものがあることと、 $S=3$ ,  $V=64$ ;  $S=4$ ,  $V=256$  の場合に確められていろ.

64 次では 19 個 (うち群は 7 個、非群は 12 個) あり、  
256 次では 195 個 (うち群は 15 個、非群が 180 個) あり  
3.

64 次の場合 12 の非群は、自己同型、平行移動で互いに移りうるが、群でみる 7 個は 3 類に落ちるだけである。  
§2 の意味へベクトル不変量は、群の表す 3 類では同一で、非群の平差量とは相異る。したがって 64 次の場合、非同値差集合が少くとも 2 個存在する。

差集合では、対応する Hadamard 行列の行に、その群が可換に作用するから、第 2 行以下 12 よりベクトル不変数の数値を次に示す。

	D(0)	D(1)	D(2)	D(3)	D(4)	D(5)	D(6)	D(7)	D(8)
群	35	0	0	0	672	0	7168	0	31836
非群	0	0	0	0	42	280	4984	18536	15869

参考

[1] 山田美枝子、一般四元数型配列の应用から得られ  
る新しい Hadamard 行34の半34。本報告集。

# Goethals - Seidel 型 Hadamard 行列

足利工大 喜安善市

名工大 澤井和江

## 1. はしがき

Hadamard行列の構成上、一般によく知られている代表的な型には、Paley型、Williamson型、Goethals-Seidel型がある。

Williamson型については、Turyn達によて随分と研究されてきた。しかし、Goethals-Seidel型 Hadamard 行列については、多少複雑なことなどからあまり研究されていないか、で。

本稿では、この Goethals - Seidel 型 Hadamard 行列の簡単で体系的な発見法を述べる。更に、この型の Hadamard 同値類は透明な状況にあることを指摘し、また 4・7, 4・11, 4・67 等の比較的低次数の場合の計算と検討結果についても述べる。

## 2. 用語の定義

定義 2.1.  $n \times n$  (1, -1)-直交行列を  $n$  次 Hadamard 行列(略)

して、H-行列)と定義する。

定義2.2. H-行列  $H_1, H_2$  の中、一方の行や列に符号付  
き置換を施すと他方に等しくなるとき、 $H_1$  と  $H_2$  は Hadamard  
同値であるといい、 $H_1 \sim H_2$  と書く。

定義2.3. あるH-行列  $H_1$  に対して、 $\{H \mid H \sim H_1\}$  を  $H_1$   
の Hadamard 同値類(略して、H-同値類)といいう。

定義2.4. n次巡回(1,-1)-行列  $A, B, C, D$  が

$$AAT^T + BB^T + CC^T + DD^T = 4nI_n$$

を満たすとき、 $A, B, C, D$  を Goethals-Seidel 行列(略して、  
GS行列)と定義する。

定義2.5. GS行列  $A, B, C, D$  と n次の逆巡回行列  $R$  とか  
ら作った行列

$$H = \begin{bmatrix} A & BR & CR & DR \\ -BR & A & -DR & RC \\ -CR & RD & A & -RB \\ -DR & -RC & RB & A \end{bmatrix}$$

を Goethals-Seidel 型 Hadamard 行列(略して、GS型 H-行列)

といいう。ただし。

$$R = (r_{ij}); r_{ij} = \begin{cases} 1, & i+j \equiv 0 \pmod{n} \text{ のとき} \\ 0, & \text{上記以外のとき。} \end{cases}$$

上で定義した行列  $H$  は、 $HH^T = 4nI_{4n}$  なる H-行列の条件  
を自動的に満足させている。

定義2.6. GS型H行列Hに対して,  $H^T, H^*, H^{*T}$  の3つをそれぞれGS型H行列Hのひとつのmateと定義する。ただし,

$$H^* = GS^*(A, B, C, D) = \begin{bmatrix} A & BR & CR & DR \\ -BR & A & RD & -RC \\ -CR & -RD & A & RB \\ -DR & RC & -RB & A \end{bmatrix}.$$

定義2.7. Hのmate関係による類をmate類(用意して, family)といい, このfamilyに属する2つの元は互いにmateであるという。

4個の行列(A, B, C, D)がGS行列であれば, 次節に述べるようにしてこれらから多数のGS行列が新しく導かれる。これらの新しい行列をひとつのGS行列の誘導GS行列といき。

### 3. 誘導GS行列とGS型H行列familyとの関係

以下で述べるように, 1組のGS行列から多数のGS行列が誘導される。これらの誘導GS型H行列とfamilyの元であるH行列との間のH同値関係を論じる。まず, 記号の説明から始める。

G: 位数nの有限アーベル群

A, B, C, D: G上で定義されたn次GS行列

$\epsilon$ : 行列A, B, C, Dを要素とする4次の置換

$S = (S_1, S_2, S_3, S_4)$ : A, B, C, Dにそれぞれこの順序に+1または-1スカラー倍する演算子。

$\mu = \epsilon \cdot s$ : 行列  $A, B, C, D$  の符号付き置換

$T_i (i=1, 2, 3, 4)$ :  $A, B, C, D$  のそれぞれこの順序に施す転置または恒等置換かのいずれかを示す記号。

$\theta$ : 群  $G$  の translate.       $\sigma$ : 群  $G$  の automorphism.

以上で定義した操作を  $(A, B, C, D)$  に施して得られた GS 型  $H$ -行列は もとの  $H$  の mate と 同値関係にある。これらは次の 4 命題にまとめられる。

命題 3.1. (1)  $GS(A, B, C, D)^{\mu}$

$$\sim \begin{cases} GS(A, B, C, D) & \operatorname{sgn} \mu = \operatorname{sgn} \epsilon \cdot \prod_{i=1}^4 S_i = 1 \text{ とき} \\ GS^*(A, B, C, D) & \operatorname{sgn} \mu = -1 \text{ とき.} \end{cases}$$

(2)  $GS(A^{T_1}, B^{T_2}, C^{T_3}, D^{T_4})$

$$\sim \begin{cases} GS(A, B, C, D) & \text{偶数個の } T_i \text{ が 転置操作} \\ GS^{*T}(A, B, C, D) & \text{奇数個の } T_i \text{ が 転置操作.} \end{cases}$$

(3)  $G$  の位数  $n$  を奇数に限定した場合,  $0 \leq h_i < n, i=1, 2, 3, 4$

に対して,  $GS(\theta^{h_1}(A), \theta^{h_2}(B), \theta^{h_3}(C), \theta^{h_4}(D)) \sim GS(A, B, C, D)$ .

(4)  $GS(A^{\sigma}, B^{\sigma}, C^{\sigma}, D^{\sigma}) \sim GS(A, B, C, D)$ .

証明略。

命題 3.1 から同じ family の mate 相互間の  $H$  同値について得られた結果は以下のようである。

命題 3.2. 対称型行列を巡回置換によって対称行列に変換可能なものと定義する。GS 行列の中、少なくとも 1 つが対称型行列ならば

$$H \sim H^{*\top}.$$

命題3.3. 命題3.1の演算を組み合せて、GS行列の中、少なくとも1対の相等しいものが得られるならば

$$H \sim H^*.$$

命題3.4. 上の2条件を共有するならば

$$H \sim H^* \sim H^\top \sim H^{*\top}.$$

#### 4. 4-complementary sequence & runの分布

$H$ -行列、GS行列など“ $(1, -1)$ -行列(ベクトルを含む)において、1を0、-1を1としたものをそれらの2進形といふ。2進形では  $GF(2)$  上の元として扱う。この節では次のようないわゆる記号を使う。

$p$ : 奇素数

$n = p^s$

$m = \frac{1}{2}(n-1)$

$G = GF(n)^+$

$F = \mathbb{Z}_2$

$F_G$ :  $F$  上  $G$  の群環

$r$ :  $GF(n)$  の原始根

$\oplus$ :  $F_G$  上の2進和演算子

$\sigma$ :  $G$  の automorphism

$\theta_h$ :  $G$  の  $h$ -translate

$w$ :  $F_G$  の要素の weight, s.t.  $ra = \sum_{g \in G} \alpha_g g \in F_G$  に対して  
 $w(a) = \#\{g \in G \mid \alpha_g = 1\}$ .

定義4.1.  $a, b, c, d \in F_G$  及び “ $\forall h \in G - \{0\}$ ” に対して

$$w(a \oplus \theta_h(a)) + w(b \oplus \theta_h(b)) + w(c \oplus \theta_h(c)) + w(d \oplus \theta_h(d)) = 2n$$

を満たすとき、 $a, b, c, d$  を  $G$  上の 4-complementary sequence と定義する。

定義 4.2. 2進ベクトルにおいて、連続項が(複)巡回的に同じ数であるとき、その連続項を run, 0 の run の個数をこのベクトルの run の数といふ。

定義 4.3.  $\forall a \in F_G$  及び  $0 \leq t < m$  に対して

$$x_t = \frac{1}{2} w(a^{\oplus t} \oplus \theta_1(a^{\oplus t}))$$

とおいた時、

$$\chi = (x_0, x_1, \dots, x_{m-1})$$

を  $a$  の run ベクトルと定義する。(  $x_t$  は  $a^{\oplus t}$  の run の数である。)

$y, z, v$  も定義 4.3 と同様に  $a, b, c, d$  の run ベクトルとする。

定理 4.4. 4-complementary sequence  $(a, b, c, d)$  が存在すれば、対応する(複)巡回行列  $(A, B, C, D)$  は GS 行列であり、この逆も成立する。

証明略。

定理 4.5.  $a, b, c, d \in F_G$  が  $G$  上の 4-complementary sequence である為の必要十分条件は

$$\chi + y + z + v = n\epsilon, \quad \epsilon = (1, 1, \dots, 1)$$

である。

証明略。

H-行列の次数  $n$  が 4 平方和であらわされてとき、これに対応する GS

行列をすべて求める方法は種々考案されているが、H-同値であるものを予め除外することが重要である。これにはオカルトの処論によって family の代表元を求めて行けばよい。ここでは  $\ell$ -complementary sequence と run の方法を採用する。

実際に run の概念を適用して、4・67次 skew 型の Hadamard 行列を比較的短時間の計算で、数多く発見することが出来た。これによて run の概念が H-行列の構成に非常に有効であることが実証された。例えば、 $67 \equiv 1 \pmod{3}$  より、GF(67) の 22 乗剰余類に注目して、 $4 \cdot 67 = 13^2 + 7^2 + 1^2 + 1^2$  に対する Goethals-Seidel 型かつ skew 型のものが見つけた。4・67次の skew 型 H-行列は、これまで未発見のものである。その1つは次のようである。ここでは 2 進ベクトル  $a, b, c, d$  をあらわすのに、その成分が 1 である座標 ( $C_i$  を使用) で代用した。

$$C_i = (2^i, 2^{22+i}, 2^{44+i} \pmod{67}) \quad (i=0, 1, \dots, 21)$$

$$a = (C_0, C_3, C_5, C_9, C_{13}, C_{14}, C_{16}, C_{17}, C_{18})$$

$$b = (C_1, C_3, C_4, C_5, C_6, C_8, C_9, C_{17}, C_{20}, C_{21})$$

$$c = (C_1, C_3, C_6, C_9, C_{11}, C_{13}, C_{14}, C_{16}, C_{18}, C_{20})$$

$$d = (C_1, C_3, C_5, C_7, C_9, C_{11}, C_{13}, C_{15}, C_{17}, C_{19}, C_{21})$$

$$\mathbf{x} = (17, 17, 16, 16, 17, 16, 16, 16, 17, 16)$$

$$\mathbf{y} = (16, 16, 16, 16, 16, 16, 18, 17, 17, 18, 17)$$

$$\mathbf{z} = (17, 17, 18, 16, 17, 18, 16, 17, 17, 15, 17)$$

$$\mathbf{v} = (17, 17, 17, 17, 17, 17, 17, 17, 17, 17, 17, 17)$$

## 5. 4.7 と 4.11 次の GS 型 H-行列の同値類について

Hadamard 同値判定基準は幾つかある。ここでは、特性数と広義の Hall set の濃度分布を利用して。後者の方は、木村浩数 殿らの研究の一部と同等と思われる。

まず、 $h (= 4n)$  次 Hadamard 行列  $H$  に対する 2進形を  $\Delta$  とする。 $\Delta$  の相異なる 4 行を  $h_i, h_j, h_k, h_l$  と書く。いま、 $1 \leq i < j < k < l \leq h$

として

$$\lambda(i, j, k, l) = \min \left\{ \frac{1}{4} \cdot w(h_i \oplus h_j \oplus h_k \oplus h_l), n - \frac{1}{4} \cdot w(h_i \oplus h_j \oplus h_k \oplus h_l) \right\}$$

とおく。これを用いて次のものを定義する。

定義 5.1.  $\lambda = \min_{(i, j, k, l)} \lambda(i, j, k, l)$

を  $H$  の特性数といふ。

定義 5.2.  $S_t = \#\{(i, j, k, l) \mid \lambda(i, j, k, l) = t\}, 0 \leq t \leq [\frac{n}{2}]$

に対し、 $\sum_{0 \leq t \leq [\frac{n}{2}]} S_t = (\frac{n}{4})$  より、

$$\{S_t \mid t = 0, 1, \dots, [\frac{n}{2}] - 1\}$$

を広義の Hall set の cardinality sequence (略して car. seq.)

といふ。

定理 5.3. 2つの  $h$  次 Hadamard 行列が  $H$ -同値ならば、次の 2つが成立する。

(1) 2つの行列の特性数は等しい。

(2) 2つの行列の car. seq. も等しい。

本節の結果を利用して、4・7次及び4・11次の GS 型 H-行列の具体的な形をすべてまとめることに出来たので、定理 5.3 の対偶を使って H-同値性を調査した結果、4・7次では 6 個、4・11次では 114 個の GS 型 H-行列が得られ、それらすべて互いに H-非同値（すなはち family 相互間は H-非同値で、family 内では命題 3.2 と 3.3 によらずの以外は非同値）であることがわかった。詳細は別に発表する。

## 6. むすび

今まで述べたことによって、GS 型 H-行列の性質が明らかになった。また、GS 型に関する限り、run の概念によってその H-同値類の同定が極めて簡単になつた。また 4・7 や 4・11 次の GS 型の場合の H-同値類の個数を 6、114 と確定した。なお今後の課題には次のようなものがある。

(1) 4・P<sup>S</sup> 次の GS 型 H-行列に対しては、命題 3.2 及び 3.3 の逆が成立すると予想している。この予想は、同値類の決定に極めて有効である。

(2) 伊藤昇教授は、私信で、我々が計算した 114 個の 4・11 次 GS 型 H-行列の中の 2 つは、その自己同型群が自明なものが限られることを指摘された。これに触発されて未発表

の方法で調べた結果、このようなものが 114 個のうち、上記のものを入れて 76 個あると予想している。この方法の一般化。

(3) GS 行列  $A, B, C, D$  を巡回行列以外の高さ一様な行列に拡張すること。

(4) GS 行列は T-行列から求める方法もある。これにて run の概念を適用すること。

謝辞： この研究について、山本章一、伊藤昇の両教授、複数名の助教授から多大の御教示を受けた。厚く御礼申し上げます。

## 文 献

- [1] A.V. Geramita and J. Seberry, Orthogonal designs, Lecture Notes in Pure and Applied Mathematics, vol. 45, Dekker, 1979.
- [2] 喜安善市, アダマール行列とその応用, 電子通信学会, 1980.
- [3] 喜安善市, 符号論序説, 情報科学講座 A. 2.8, 共立出版, 1984.
- [4] W.D. Wallis, Anne Penfold Street and Jennifer Seberry Wallis, Combinatorics: Room squares, sum-free sets, Hadamard matrices. Lecture Notes in Math., vol. 292, Springer, New York, 1972.

一般四元数型配列の応用から得られる

新しい Hadamard 行列の系列

東京女子大・文理 山田美枝子

## 1 序.

本稿の目的は次の定理を証明することである。

定理 1  $g \equiv 1 \pmod{8}$  の素数中で  $\frac{g-1}{2}$  次 Hadamard 行列  
が存在するならば  $4g$  次 Hadamard 行列が構成できる。

定理 2  $g \equiv 5 \pmod{8}$  の素数中で  $\frac{g+3}{2}$  次 skew-Hadamard 行  
列が存在するならば  $4(g+2)$  次 Hadamard 行列が構成できる。

定理 3  $g \equiv 1 \pmod{8}$  の素数中で  $\frac{g+3}{2}$  次対称 C 行列が存  
在するならば  $4(g+2)$  次 Hadamard 行列が構成できる。

定理 2、定理 3 は喜安[3]によりすでに証明されている  
(未発表)。特に  $\frac{g+3}{2}$  が素数中であるとすると喜安[2]の定理  
9.18 にたどる。喜安は KSW 形行列を使って証明したが、二

こでは一般四元数型配列の応用と考えられる配列と相対的Gaussの和を使ってこれらの定理を証明する。

$4n = 40000$  次までの未知の Hadamard 行列の表[1]のうち次の新しい次数が上記の定理から得られた。

#### ▶ 定理1から得られる新しい次数

$n$  : 233, 809, 953, 1193, 1889, 2393, 2417, 2441, 2729, 2953, 3209,  
3593, 3617, 3881, 4049, 4217, 4721, 4889, 5657, 5849, 6073, 6089,  
6113, 6257, 6449, 6473, 6569, 6977, 7177, 7417, 7433, 7753, 7793,  
8297, 8369, 8609, 8713, 8761, 9833.

#### ▶ 定理2から得られる新しい次数

$n$  : 103, 127, 151, 655, 879, 1231, 1951, 1999, 2239, 2271, 2559, 2799,  
2839, 2959, 3039, 3183, 3583, 3679, 4359, 4735, 4863, 4911, 5079,  
5311, 5503, 5815, 5983, 6199, 6639, 7519, 8119, 8223, 8679, 9279,  
9631, 9903.

#### ▶ 定理3から得られる新しい次数

$n$  : 579, 2019, 3043, 4443, 6339, 7419, 8523, 9819.

—— は喜安[2]定理9.18から得られる次数

よく使う記号を先にまとめておく。

$g$  : 素数中、 $F = GF(g)$  :  $g$ 個の元からなる有限体。

$K = GF(g^t)$  :  $F$  の  $t$  次拡大、 $t \geq 2$ ,  $K^\times, F^\times : K, F$  の乗法群。

$S_K$  :  $K$  からのトレース、 $S_F$  :  $F$  からのトレース。

$S_{K/F}$  :  $K$ から  $F$ への相対トレース,  $\delta$ :  $K$ の生成元.

$A^*$ : 行列  $A$  の転置行列,  $\otimes$ : 行列のテンナー積.

$I_m$ :  $m$  次 単位行列,  $J_m$ : 成分がすべて 1 の  $m$  次正方形行列,  $J_m(x) = 1 + x + \cdots + x^{m-1}$ .

## 2 一般四元数型配列の応用

一般四元数型配列の応用を使つて次の定理がある。

定理 4 4次正方形行列  $L, M, N$  を次のように定義する。

$$L = \begin{pmatrix} 1 & -1 & -1 & -1 \\ -1 & 1 & -1 & -1 \\ -1 & -1 & 1 & -1 \\ -1 & -1 & -1 & 1 \end{pmatrix}, \quad M = \begin{pmatrix} 1 & 1 & 1 & 1 \\ 1 & -1 & -1 & 1 \\ 1 & 1 & -1 & -1 \\ 1 & -1 & 1 & -1 \end{pmatrix}, \quad K = -\frac{1}{2}LM.$$

これらは 4 次 Hadamard 行列であることに注意する。

$H$  を 4n 次 正方形行列

$$H = \begin{pmatrix} A & B & C & D \\ -B^* & A^* & -D^* & C^* \\ -C^* & D & A^* & -B \\ -D^* & -C & B^* & A \end{pmatrix}$$

で、成分行列  $A, B, C, D$  が次を満足するとする。

(1)  $A, B, C, D$  は成分が 1 か -1 の  $n$  次 正規行列.

(2)  $AB=BA, AC=CA, AD=DA^*, BC=C^*B, BD^*=DB^*, CD=DC,$

$$A^*B=BA^*, \quad A^*D^*=D^*A, \quad CB=BC^*, \quad B^*D=D^*B, \quad C^*D=DC^*.$$

$$(3) AA^* + BB^* + CC^* + DD^* = 4(n+1)I_n - 4J_n.$$

(4)  $A\mathbf{e} = 2\mathbf{e}$ ,  $B\mathbf{e} = C\mathbf{e} = D\mathbf{e} = 0$ . ただし  $\mathbf{e}$  は成分がすべて 1 の  $n$  次列ベクトル。

このとき

$$N = \begin{pmatrix} I \otimes L & \mathbf{e}^* \otimes K \\ \mathbf{e} \otimes M^* & H \end{pmatrix}$$

は  $4(n+1)$  次 Hadamard 行列」となる。

(証明) 条件(1)-(4) を使って  $NN^*$  を計算する。

成分行列  $A, B, C, D$  が巡回行列である場合は、行列  $H$  は四元数環をさらに四元数拡大した環のある元の右正則表現による。([6]参照)。その意味から行列  $H$  は一般四元数型配列の応用と考えられる。

### 3 有限体の相対的 Gauss の和

有限体の Gauss の和と相対的 Gauss の和を定義する。

定義  $\chi$  を  $F$  の指標、 $\zeta_p = e^{2\pi i/p}$  とする。Gauss の和  $\tau_F(\chi)$  は

$$\tau_F(\chi) = \sum_{\alpha \in F} \chi(\alpha) \zeta_p^{s_F \alpha}$$

で定義される。

$\chi=1$ . 単位指標のとき、 $\zeta_F(\chi) = -1$  である。 $\chi \neq 1$  のときは  
 $\zeta_F(\chi) \overline{\zeta_F(\chi)} = g$  である。 $\chi$  が  $K$  の単位指標でないとき。

$$\vartheta_{K/F}(\chi) = \frac{\zeta_K(\chi)}{\zeta_F(\chi)}$$

を  $\chi$  に付随する相対的 Gauss の和 という。

相対的 Gauss の和に関する次の定理は重要である。

定理5  $\chi = \chi_K$  を  $K$  の指標、 $\chi_F$  を  $\chi$  を  $F$  に制限したときの指標とする。 $\mathcal{L}$  を次のようすは  $K^*/F^*$  の完全代表系とする。

$$\mathcal{L} = \mathcal{L}_0 + \mathcal{L}_1; \quad \mathcal{L}_0 = \{\beta : S_{K/F}\beta = 0\}, \quad \mathcal{L}_1 = \{\beta : S_{K/F}\beta = 1\}.$$

このとき

$$\sum_{\beta \in \mathcal{L}} \chi(\beta) = \begin{cases} \sum_{\beta \in \mathcal{L}} \chi(S_{K/F}\beta) \chi(\beta) = \vartheta_{K/F}(\beta) & (\chi_F \neq 1 \text{ のとき}), \\ -\frac{1}{g} \zeta_K(\chi) & (\chi_F = 1, \chi_K \neq 1 \text{ のとき}), \\ g^{t-1} & (\chi_K = 1 \text{ のとき}). \end{cases}$$

である。

(証明) [7], [8] 参照。

#### 4 補助定理(その1)

以後  $t=2$ . すなはち有限体の 2 次拡大を取り扱う。

$\chi$ を $K$ の指標、 $\chi(\xi) = \zeta_{q-1}^r$ で $\zeta_{q-1}$ は1の原始 $q-1$ 乗根とする。

$$\chi\left(\frac{\text{S}_{KF}\xi^m}{2\xi^m}\right) = \zeta_{q-1}^{z_m} \quad m \not\equiv \frac{q+1}{2} \pmod{q+1}$$

で $z_m$ を定義する。さらに多項式 $f(x)$ を

$$f(x) \equiv \sum_{\substack{m=0 \\ m \neq \frac{q+1}{2}}}^q x^{z_m} \pmod{x^{q-1}-1}$$

で定義する。次の補助定理が成り立つ。

補助定理1 (1)  $f(x)$ は $x^{z_m}$ を $x^0=1$ を除いて2個含む。

$$(2) f(x)f(x^{-1}) \equiv q + (q+1)J_{q-1}(x) - J_{(q-1)/2}(x^2) \pmod{x^{q-1}-1}.$$

(証明) 定理5を便で証明する。詳細は[6]参照。

補助定理2  $f(x) \equiv f_0(x^2) + xf_1(x^2) \pmod{x^{q-1}-1}$ とおく。

$f_0(x^2)$ と $f_1(x^2)$ の $x^2$ を $x$ で置きかえて多項式

$$\Phi_0(x) \equiv f_0(x) - J_{(q-1)/2}(x) \pmod{x^{(q-1)/2}-1},$$

$$\Phi_1(x) \equiv f_1(x) - J_{(q-1)/2}(x) \pmod{x^{(q-1)/2}-1},$$

を定義する。このとき次が成り立つ。

$$\Phi_0(x)\Phi_0(x^{-1}) + \Phi_1(x)\Phi_1(x^{-1}) \equiv q - 2J_{(q-1)/2}(x) \pmod{x^{(q-1)/2}-1}.$$

(証明) 補助定理1から求まる。詳細は[6]参照。

## 5 補助定理(その2)

$g \equiv 1 \pmod{4}$ ,  $n = \frac{g+1}{2}$ .  $i$  を 1 の原始 4 乗根,  $\psi$  を  $F$  の平方剰余指標とする。多項式  $g(x)$  を次で定義する。

$$g(x) \equiv \sum_{m=0}^{g-1} \psi(S_{K/F} \xi^m) i^m x^m \pmod{x^n - 1}.$$

$n$  が奇数であることをから変数変換をして  $g(x)$  は

$$g(x) \equiv \sum_{m=0}^{n-1} \psi(S_{K/F} \xi^{4m}) x^m + i^n \sum_{m=0}^{n-1} \psi(S_{K/F} \xi^{4m+n}) x^m \pmod{x^n - 1}$$

と書くことができる。そこで多項式

$$\alpha(x) \equiv \sum_{m=0}^{n-1} \psi(S_{K/F} \xi^{4m}) x^m \pmod{x^n - 1},$$

$$\beta(x) \equiv \sum_{m=0}^{n-1} \psi(S_{K/F} \xi^{4m+n}) x^m \pmod{x^n - 1}$$

を定義すると  $g(x) \equiv \alpha(x) + i^n \beta(x) \pmod{x^n - 1}$  で、

$\alpha(x), \beta(x)$  は次のようない性質をもつ。

補助定理3 (1)  $\alpha(x^{-1}) \equiv \alpha(x), \beta(x^{-1}) \equiv \beta(x) \pmod{x^n - 1}$ .

$$(2) \quad \alpha(x)\alpha(x^{-1}) + \beta(x)\beta(x^{-1}) \equiv g \pmod{x^n - 1}.$$

証明) 定理5を使つて証明する。詳細は[7]参照。

## 6 定理1の証明の概略

補助定理2における多項式  $\Phi_0(x), \Phi_1(x)$  を使って行列  $A, B$  を次のように定義する。

$$A = \begin{pmatrix} 1 & 1 \\ 1 & 1 \end{pmatrix} \otimes \Phi_0(T) + \begin{pmatrix} 1 & -1 \\ -1 & 1 \end{pmatrix} \otimes I_{(g-1)/2},$$

$$B = \begin{pmatrix} 1 & 1 \\ 1 & 1 \end{pmatrix} \otimes \Phi_1(T),$$

とする。ただし  $T$  は  $\frac{g-1}{2}$  次基本巡回行列。

次に  $\frac{g-1}{2}$  次 Hadamard 行列  $H_0$  が存在するので  $H_0$  を使って行列  $C, D$  を定義する。

$$C = \begin{pmatrix} 1 & -1 \\ -1 & 1 \end{pmatrix} \otimes H_0,$$

$$D = C \quad \text{あるいは} \quad D = C^*.$$

$A, B, C, D$  が定理 4 の条件(1)-(4)を満たすことを示す。

- 条件(1)は明らか。

- 条件(2)。行列  $\begin{pmatrix} 1 & 1 \\ 1 & 1 \end{pmatrix}$  と  $\begin{pmatrix} 1 & -1 \\ -1 & 1 \end{pmatrix}$  の積が 0 になることから

$$BC = C^*B, CB = BC^*, BD^* = DB^*, B^*D = D^*B$$

はすべて 0 になります。  $D = C$  あるいは  $D = C^*$  なので

$$CD = DC, C^*D = DC^*$$

は明らか。 $\Phi_0(T), \Phi_1(T)$  が巡回行列であることから

$$AB = BA, A^*B = BA^*$$

が成り立つ。さらに

$$AC = CA = A^*C = CA^* = 2 \begin{pmatrix} 1 & -1 \\ -1 & 1 \end{pmatrix} \otimes H_0,$$

$$AC^* = C^*A = A^*C^* = C^*A^* = 2 \begin{pmatrix} 1 & -1 \\ -1 & 1 \end{pmatrix} \otimes H_0^*$$

から

$$AC = CA, AD = DA^*, A^*D^* = D^*A$$

を得る。

• 条件(3). 補助定理2から

$$\begin{aligned}
 AA^* + BB^* + CC^* + DD^* &= 2 \begin{pmatrix} 1 & 1 \\ 1 & 1 \end{pmatrix} \otimes Q_0(T) Q_0(T^{-1}) + 2 \begin{pmatrix} 1 & -1 \\ -1 & 1 \end{pmatrix} \otimes I_{(8-1)/2} \\
 &\quad + 2 \begin{pmatrix} 1 & 1 \\ 1 & 1 \end{pmatrix} \otimes Q_1(T) Q_1(T^{-1}) + 4 \begin{pmatrix} 1 & -1 \\ -1 & 1 \end{pmatrix} \otimes H_0 H_0^* \\
 &= 2 \begin{pmatrix} 1 & 1 \\ 1 & 1 \end{pmatrix} \otimes (8I_{(8-1)/2} - J_{(8-1)/2}) + 2 \begin{pmatrix} 1 & -1 \\ -1 & 1 \end{pmatrix} \otimes I_{(8-1)/2} \\
 &\quad + 2 \begin{pmatrix} 1 & -1 \\ -1 & 1 \end{pmatrix} \otimes (8-1)I_{(8-1)/2} \\
 &= 48 I_{8-1} - 4J_{8-1}
 \end{aligned}$$

が求まる。

• 条件(4)  $m$  が偶数(奇数)のとき  $Z_m$  も偶数(奇数)【よのぞ】

$$f_0(1) = \frac{8+1}{2}, \quad f_1(1) = \frac{8-1}{2},$$

$$Q_0(1) = f_0(1) - \frac{8-1}{2} = 1, \quad Q_1(1) = f_1(1) - \frac{8-1}{2} = 0,$$

である。従って  $e$  を成分が 1 の 8-1 次列ベクトルとすると

$$Ae = 2e, \quad Be = 0$$

を得る。定義から

$$Ce = De = 0$$

である。

以上から定理4を使つて 48 次 Hadamard 行列が構成できる。

## 7 定理2. 定理3の証明の概略

補助定理3の多項式  $\alpha(x), \beta(x)$  を使つて行列  $A, B$  を次

のように定義する。

$$A = \begin{pmatrix} 1 & -1 \\ -1 & 1 \end{pmatrix} \otimes \beta(T) + \begin{pmatrix} 1 & 1 \\ 1 & 1 \end{pmatrix} \otimes I_{(8+1)/2},$$

$$B = \begin{pmatrix} 1 & -1 \\ -1 & 1 \end{pmatrix} \otimes \alpha(T).$$

ただし  $T$  は  $\frac{8+1}{2}$  次基本巡回行列。

次に、定理 2 では  $\frac{8+3}{2}$  次 skew-Hadamard 行列  $Q$  が存在し  $Q$  を次のように変形する。

$$Q = \begin{pmatrix} 1 & \mathbf{e}^* \\ -\mathbf{e} & S + I_{(8+1)/2} \end{pmatrix}.$$

ただし  $\mathbf{e}$  は成分がすべて 1 の  $\frac{8+1}{2}$  次列ベクトル。 $Q$  が skew-Hadamard 行列であることをから

$$S\mathbf{e} = 0, \quad SS^* = \frac{8+1}{2} I_{(8+1)/2} - J_{(8+1)/2}$$

が成り立つ。 $S$  を使って行列  $C, D$  を次のように定義する。

$$C = \begin{pmatrix} 1 & 1 \\ 1 & 1 \end{pmatrix} \otimes S + \begin{pmatrix} 1 & -1 \\ -1 & 1 \end{pmatrix} \otimes I_{(8+1)/2},$$

$$D = C \quad \text{あるいは} \quad D = C^*.$$

定理 3 では  $\frac{8+3}{2}$  次対称  $C$  行列  $R$  が存在し、 $R$  を同じように変形する。

$$R = \begin{pmatrix} 0 & \mathbf{e}^* \\ \mathbf{e} & U \end{pmatrix}.$$

$U$  についても同様に

$$U\mathbf{e} = 0, \quad UU^* = \frac{8+1}{2} I_{(8+1)/2} - J_{(8+1)/2}$$

が成り立つ。行列  $C, D$  を定理 2 と同様に

$$C = \begin{pmatrix} 1 & 1 \\ 1 & 1 \end{pmatrix} \otimes U + \begin{pmatrix} 1 & -1 \\ -1 & 1 \end{pmatrix} \otimes I_{(3+1)/2},$$

$$D = C \text{ あるいは } D = C^*.$$

で定義する。こうして定義された  $A, B, C, D$  が定理 4 の条件(1)-(4)を満たすことから定理 2、定理 3 が証明される。

## 参考文献

- [1] A.V.Geramita & J.Seberry, Orthogonal designs, Lecture Notes in Pure and Applied Math. 45, Marcel Dekker, New York-Basel, 1979.
- [2] Z.Kiyasu, An Hadamard matrix and its applications, Denshi-Tsushin Gakkai, Tokyo, 1980 (in Japanese).
- [3] Z.Kiyasu, private communication.
- [4] E.Spence, Hadamard matrices from relative difference sets, J. Comb. Theory (A) 19 (1975), 287-300.
- [5] A.L.Whiteman, Hadamard matrices of order  $4(2p+1)$ , J. Number Theory 8 (1976), 1-11.
- [6] M.Yamada, Hadamard matrices generated by an adaptation of generalized quaternion type array, Graphs and Combinatorics 2 (1986), 179-187.
- [7] K.Yamamoto & M.Yamada, Williamson Hadamard matrices and Gauss sums, J. Math. Soc. Japan 37 (1985), 703-717.
- [8] K.Yamamoto, On congruences arising from relative Gauss sums, in: Number Theory and Combinatorics Japan 1984, 423-446, World Scientific Publ., Singapore, 1985.

# アダマール行列と code 理論

長崎大・教養 小関 道夫(Ozeki Michio)

## §1 Introduction

アダマール行列について

±1 のみを係数に持つ  $n$  次の正方行列  $H$  が

$$H^+H = n I_n \quad (I_n \text{ は単位行列})$$

をみたすとき、 $n$  次の Hadamard 行列といふ。

以後  $n \equiv 0 \pmod{4}$  の場合に話を限定する。

2 つの  $n$  次のアダマール行列  $H_1, H_2$  は

(i)  $H_1$  のある行(又は列)に  $-1$  を掛ける,

(ii)  $H_1$  のある 2 つの行(又は列)をとり換える。

及び (i), (ii) の操作の何回かの結合によって  $H_1$  から  $H_2$  が得られるとき、 $H_1$  と  $H_2$  とは  $H$ -equivalent であるといふ。(アダマール行列には他にもいくつかの同値関係が定義される。) 任意の  $n$  次のアダマール行列  $H_n$  は次の形に同値である。

$$NH_n = \begin{pmatrix} -1 & 1 & 1 & \dots & 1 \\ | & & & & \\ ; & & & & * \end{pmatrix} \quad (1)$$

我々はこれを正規化されたアダマール行列と言うことにする。

*Remark.* 通常 アダマール行列の正規形と言うと、第一行と第一列とをすべて 1 にしたものを言うが、我々の議論には (1) の方が適している。

code について

$\text{GF}(2) = \mathbb{F}_2 = \{\bar{0}, \bar{1}\}$  上の  $m$  次元 vector space  $\mathbb{F}_2^m$  の  $k$  次元 subspace を  $[m, k]$  binary code という。

$\mathbb{F}_2^m \ni \underline{x} = (x_1, x_2, \dots, x_n)$  の non-zero coordinates の個数を  $x$  の Hamming weight といい。wt( $\underline{x}$ ) と書く。

$\mathbb{F}_2^m \ni \underline{x}, \underline{y} = (y_1, y_2, \dots, y_m)$  について通常の内積

$$(\underline{x}, \underline{y}) = \sum_{i=1}^m x_i y_i \quad \text{及び}$$

vector product

$$\underline{x} \cdot \underline{y} = (x_1 y_1, x_2 y_2, \dots, x_m y_m) \in \mathbb{F}_2^m$$

が定義される。

非負の整数  $\underline{x} * \underline{y} = \text{wt}(\underline{x} \cdot \underline{y})$  を  $\underline{x}$  と  $\underline{y}$  との intersection number ということにすると、次の関係が成り立つ。

$$\text{wt}(\underline{x} + \underline{y}) = \text{wt}(\underline{x}) + \text{wt}(\underline{y}) - 2 \underline{x} * \underline{y} \quad (2)$$

これは inclusion-exclusion principle の特別な場合である。

$[m, k]$  binary code  $C$  があるとき、その dual

$$C^\perp = \{ \underline{u} \in \mathbb{F}_2^m \mid (\underline{u}, \underline{x}) = 0 \quad \forall \underline{x} \in C \}$$

が定義される。  $\dim C^\perp = m - k$

code  $C$  は  $C \subset C^\perp$  であるとき、self-orthogonal.

$C = C^\perp$  であるとき、self-dual であるといふ。self-orthogonal code  $C$  の各 codeword の weight は偶数であることはすぐに分かる。 $[m, k]$  binary code  $C$  が self-dual であって、 $C$  の各元の weight が 4 で割り切れるとき、 $C$  は doubly even self-dual code であるといふ。(以下 略記して DESD binary code と書くことにする。)  $C$  が DESD binary code ならば、 $m$  は 8 の倍数で、 $k = \frac{m}{2}$  となることはよく知られている結果である。

本講演では 次の定理 1 を主として解説する。

定理 1.  $m \equiv 4 \pmod{8}$  のとき、正規化されたアダマール行列 (1) から DESD binary code  $C(NH_n) = [2m, n]$  が定義される。

さらに次の定理 2 も証明されて、アダマール行列と

DES binary code との深い関連を示唆するが、証明には立入らない。

定理2.  $n \equiv 4 \pmod{8}$  のときの  $H$ -同値な正規化された  $n$  次のアダマール行列  $NH_{(1)}, NH_{(2)}$  から定義される  $C(NH_{(1)}) \subset C(NH_{(2)})$  は code として同値である。

## § 2 $C(NH_n)$ の定義と性質

$NH_n$  を正規化されたアダマール行列とする。

$$K_n = \frac{1}{\sqrt{n}}(NH_n + J_n) \quad \text{とおく。}$$

ここで  $J_n$  は all 1 square matrix.

$K_n$  は  $NH_n$  の係数のうち 1 を 1 に、-1 を 0 にして得られる  $(0, 1)$  行列。 $n \times 2n$  行列  $C_n$  を次により定義する。

$$C_n = (I_n \ K_n)$$

$C_n$  の行ベクトル  $\underline{x}_1, \underline{x}_2, \dots, \underline{x}_n$  を  $\mathbb{F}_2^{2n}$  のベクトルと見て、 $\underline{x}_1, \dots, \underline{x}_n$  により、 $\mathbb{F}_2$  上張られるベクトル空間を  $C(NH_n)$  とする。明らかに  $\underline{x}_1, \dots, \underline{x}_n$  は一次独立であるから  $C(NH_n)$  は  $[2n, n]$  binary code である。

$C(NH_n)$  が  $n \equiv 4 \pmod{8}$  のとき DES code であることを主張するために  $NH_n$  の性質を利用する。

$NH_n = (s_{ij})$  とし、 $\xi_i$  を  $NH_n$  の  $i$  番目の行ベクトルとする。 $\nu_1(i)$  (*resp.*  $\nu_2(i)$ ) を  $\xi_i$  の最後の  $n-1$  個の要素中の 1 (*resp.* -1) の個数とする。定義により次のことは容易に分る。

$$\nu_1(i) = n-1 \quad \nu_2(i) = 0 \quad (3)$$

$\xi_i$  と  $\xi_j$  ( $i \neq j$ ) との直交性より

$$\nu_1(i) = n/2 \quad (4-1)$$

$$\nu_2(i) = n/2 - 1 \quad (4-2)$$

が導かれる。さらに  $1 \leq i < h \leq n$  に対して

$$\mu_1(i, h) = \#\{j \mid s_{ij} = s_{hj} = 1 \quad 2 \leq j \leq n\}$$

$$\mu_2(i, h) = \#\{j \mid s_{ij} = 1, s_{hj} = -1 \quad 2 \leq j \leq n\}$$

$$\mu_3(i, h) = \#\{j \mid s_{ij} = -1, s_{hj} = 1 \quad 2 \leq j \leq n\}$$

$$\mu_4(i, h) = \#\{j \mid s_{ij} = s_{hj} = -1 \quad 2 \leq j \leq n\}$$

とおくと次のことは定義から直ちに導かれる性質である。

$$\mu_1(i, h) + \mu_2(i, h) = \nu_1(i) = n/2 \quad (5-1)$$

$$\mu_3(i, h) + \mu_4(i, h) = \nu_2(i) = n/2 - 1 \quad (5-2)$$

$$\mu_1(i, h) + \mu_3(i, h) = \nu_1(h) = n/2 \quad (5-3)$$

$$\mu_2(i, h) + \mu_4(i, h) = \nu_2(h) = n/2 - 1 \quad (5-4)$$

$\xi_i$  と  $\xi_h$  ( $2 \leq i < h \leq n$ ) との直交性より

$$\sum_{j=1}^n s_{ij} s_{hj}$$

$$= 1 + \mu_1(i, h) + \mu_4(i, h) - \mu_2(i, h) - \mu_3(i, h) = 0 \quad (6)$$

(5-1) ~ (6) から

$$\mu_1(i, h) = \mu_2(i, h) = \mu_3(i, h) = n/4 \quad (7)$$

$$\mu_4(i, h) = n/4 - 1 \quad 2 \leq i < h \leq n$$

$\underline{x}_i, \dots, \underline{x}_n$  の定義と  $\nu_i$  の符号分布により、次のことが分る。

$$\text{wt}(\underline{x}_1) = n$$

$$\text{wt}(\underline{x}_i) = 2 + \nu_1(i) = 2 + n/2 \quad (i \geq 2)$$

故に  $n \equiv 4 \pmod{8}$  のとき

$$\text{wt}(\underline{x}_i) \equiv 0 \pmod{4} \quad (1 \leq i \leq n) \quad (8)$$

を得る。さらに (4-1) より

$$(\underline{x}_1, \underline{x}_i) = \nu_1(i) \bar{1} = \bar{0} \quad i \geq 1 \quad (9-1)$$

又 (7) より

$$(\underline{x}_i, \underline{x}_h) = [1 + \mu_1(i, h)] \bar{1} = \bar{0} \quad 1 \leq i < h \leq n \quad (9-2)$$

Remark 2. (9-2) 及び (8) は  $n \equiv 4 \pmod{8}$  のときにのみ成り立つ。 $n \equiv 0 \pmod{8}$  については  $C(NH_n)$  は定義は同じであるが良い code にならない。

$C = C(NH_n)$  は  $\dim C = n$ 。又 (8), (9-1), (9-2) より  $C$  は self-orthogonal であることは明らか。 $C C C^\perp$  で  $\dim C = \dim C^\perp$  より  $C = C^\perp$  より  $C$  は self-dual.

V. Pless の教科書 [9] の Th. 4 を引用する。

Proposition 1 (Theorem 4 in Pless [9]). If the rows of a generator matrix  $G$  for a binary  $(n, k)$  code  $C$  have weights divisible by 4 and are orthogonal to each other, then  $C$  is self-orthogonal and all weights in  $C$  are divisible by 4.

(8) と (9-1), (9-2) により,  $C = C(NH_n)$  は上の prop. の条件をみたしているから doubly even である。以上により  $C = C(NH_n)$  は DESD  $[2n, n]$  binary code である。これで定理 1 の証明は済んだ。

### 実例

ex. 1  $NH_4 = \begin{pmatrix} -1 & 1 & 1 & 1 \\ 1 & -1 & 1 & 1 \\ 1 & 1 & -1 & 1 \\ 1 & 1 & 1 & -1 \end{pmatrix}$  は標準化された 4 次のアダマール行列

$$C(NH_4) = \left( \begin{array}{c|cccc} 1 & & 1 & 1 & 1 \\ 1 & & 1 & 1 & 1 \\ 1 & & 1 & 1 & 1 \\ 1 & & 1 & 1 & 1 \end{array} \right)$$

これは Hamming  $[8, 4, 4]$  code (minimal weight=4)

ex. 2  $H_{12}$  を任意の 12 次のアダマール行列とすると、

$C(NH_{12})$  は長さ 24 の binary Golay code  $[24, 12, 8]$

(minimal weight = 8) になることが証明できる。

ex. 3 Hall [5] により 20 次の Hadamard 行列は 3 の

同値類より成り、それらの類から代表をとり、

$NH_{20}^{(1)}$ ,  $NH_{20}^{(2)}$ ,  $NH_{20}^{(3)}$  とする。(正規化する)

$C(NH_{20}^{(1)})$ ,  $C(NH_{20}^{(2)})$ ,  $C(NH_{20}^{(3)})$  はいずれも DESD

$[40, 20, 8]$  binary code である。 $C(NH_{20}^{(1)})$  は

Mac Williams - Sloane で知られている code に

同値な code で  $C(NH_{20}^{(2)})$ ,  $C(NH_{20}^{(3)})$  は新しい code

達である。(3つは互いに同値でない)。同値で

ないことの証明には Asmus - Mattson の定理

([2]) を適用する。

ex. 4  $n = 36 \equiv 4 \pmod{8}$  に対する  $H_{36}$  から作られる  
code  $[72, 36]$  の code の minimal weight をいくつ  
かの H-同値類について計算してみたが  
minimal weight が 16 の DESD code の存在という  
Sloane の問題に解答を与えるアダマール行列は  
今の所、見つかっていない。しかし、36 次の  
アダマール行列の同値類の個数は猛烈に沢山ある  
ので  $C(NH_{36})$   $[72, 36, 16]$  code を得る望みも捨  
てたものではない。(少なくとも群論的アプローチ  
— Pless, Conway, Thompson 達がとっている —  
よりは hopeful ではないか)。

ex.5  $n = 28$  のときのアダマール行列の分類は

Tonekera, Kimura によってかなり進展している。

Paley 行列  $P_{28}$  から得られる code  $C(NP_{28})$  が  
[56, 28, 12] binary code として唯一知られてい  
るもの（同値を除いて）。

残された問題としては

- (I)  $n \equiv 0 \pmod{8}$  のときに  $n$  次のアダマール行列から  
DES<sub>D</sub> binary [2n, n] code を定義する方法はないか？
- (II)  $n \equiv 4 \pmod{8}$  で codes  $C(NH_n^{(1)})$  と  $C(NH_n^{(2)})$  とが  
同値ならば  $NH_n^{(1)}$  と  $NH_n^{(2)}$  とは H-equivalent か？
- (III) DES<sub>D</sub> [2n, n] codes の中で code  $C(NH_n)$  の特徴付け  
を行なえ。良い特徴付けができれば、アダマール行列  
の基本予想 ( $n \equiv 0 \pmod{4}$ ) なら  $n$  次のアダマール行列  
 $H_n$  が必ず存在する) に使えるかも知れない。
- (IV) [72, 36, 16] binary code が  $C(NH_{36})$  として得られるか？

(I)に対するコメント

- (i) 20次のアダマール行列の3つの同値類に対応して、3つの  
互いに同値でない [40, 20, 8] binary code があるようだ。  
16次のアダマール行列では 5つの同値類があり、一方では

[3] から分っているように 5つの DESD [32, 16, 8] codes の 同値類があり、この 2種の対象に何らかの関連があると考えたくなる誘惑から逃れ難い。

(ii) 長さ 16 の DESD indecomposable binary code の生成行列の一つは次によって与えられる。

$$(I_8, K_8) \text{ ただし } K_8 = \begin{pmatrix} 0 & 1 & 1 & 1 & 1 & 1 & 1 & 1 \\ 1 & 0 & 1 & 1 & 1 & 1 & 1 & 1 \\ 1 & 1 & 0 & 1 & 1 & 1 & 1 & 1 \\ 1 & 1 & 1 & 0 & 1 & 1 & 1 & 1 \\ 1 & 1 & 1 & 1 & 0 & 1 & 1 & 1 \\ 1 & 1 & 1 & 1 & 1 & 0 & 1 & 1 \\ 1 & 1 & 1 & 1 & 1 & 1 & 0 & 1 \\ 1 & 1 & 1 & 1 & 1 & 1 & 1 & 0 \end{pmatrix}$$

この  $K_8$  と 8次の正規化されたアダマール行列(複数個)との比較によって 一つのゲームを思いついた。7行7列のマス目を考え、2つの記号 A, B を用意し、次のような規則 (1)~(5) に従う配置を作る。 $(1 \leq i, j \leq 7)$

(1) どのマス目も A または B または 空白が入る。

(2) 第  $i$  行に並ぶ A の個数、B の個数をそれぞれ  $i_A, i_B$  とすると、たゞ一つの  $i_0$  を除くと  $i_B - i_A = 2$  が成り立つ。  
その  $i_0$  については  $i_{0A} - i_{0B} = 2$

(3) 第  $j$  行についても (2) に相当したことが成り立つ。  
( $j_0$  を使う)

(4)  $(i_0, j_0)$  のマス目には A が入らない。

(5) ある斜めの列に A が 2つ並ぶ、その斜めの他のマス

目を  $(i_1, j_1), (i_2, j_2)$  とする。ただし  $i_1 + j_1 = i_2 + j_2 = t$ 。

例えば

			A	A	
A	B	B	B		
B	A		B	B	
A			B	B	B
A	B	B			B
	B				B
B	B				

は (1) ~ (5) をみたす。このとき

$K = (k_{ij}) \quad 0 \leq i, j \leq 7$  を  
次により定める。

$$k_{00} = 0, \quad k_{0j} = 1 \quad 1 \leq j \leq 7$$

$$k_{i0} = 1, \quad (1 \leq i \leq 7)$$

$$k_{i_0 j_0} = 0, \quad k_{i_0 j} = 1 \quad j \neq j_0$$

$$k_{ij_0} = 1 \quad i \neq i_0$$

$$k_{ij} = 1 \quad i + j = t$$

$$\text{それ以外の } k_{ij} = 0$$

上の例の配置の場合得られた  $K$  は  $K_8$  と一致する。

このゲームを  $n \equiv 0 \pmod{8}$  なる各  $n$  に定式化できれば問題(I)の一つの接続法になりうる。

### 参考文献

- [1] S.S. Agaian, Hadamard matrices and their applications, Lect. Notes Math. No. 1168 Springer
- [2] E.F. Assmus, Jr. and H.F. Mattson, Jr., New

5-designs, J. Comb. Th. 6 (1966), 122-151

[3] J.H. Conway and V.Pless, On the enumeration  
of self-dual codes, J. Comb. Th. Ser.A 28(1980) 26-53

[4] M. Hall, Jr., Hadamard matrices of order 16,  
Jet Propulsion Laboratory Research Summary No. 36-10  
, 1 (1961) 21-26

[5] M.Hall,Jr., Hadamard matrices of order 20,  
Jet Propulsion Laboratory Technical Report No. 32-761,  
(1965)

[6] M.Hall, Jr., Combinatorial Theory (2nd ed.)  
Wiley-Interscience Series (1986)

[7] F.J. MacWilliams & N.J.A.Sloane, The Theory  
of Error-Correcting Codes, North Holland (1977)

[8] M.Ozeki, Hadamard matrices and doubly even  
self-dual error-correcting codes, to be published  
by J. Comb. Th. Ser.A

[9] V.Pless, Introduction to the Theory of Error-  
Correcting Codes, Wiley-Interscience Series (1982)

(和訳「符号理論入門」伊藤昇訳 ウィリエクサン)

[10] W.D. Wallis, A.P. Street & J.S. Wallis, Com-

binatorics: Room Squares, Sum-Free Sets, Hadamard  
Matrices. Lect. Notes Math. No. 292 Springer

# Hadamard 行列とその K- 行列について

愛媛大理 木村 浩

Hadamard 行列の問題は(1)構成と(2)分類にある。〔1〕と〔2〕で 28 次の行列の作り方とその分類の方法を示した。

以下次数は 28 次とする。H を Hadamard 行列とし、K(H) をその K- 行列とする(定義は〔1〕)。次数  $n > 28$  に対しても同様に定義できる。このときは Hall set を数えるだけでなく次数によって決まる自由度がある。その自由度個の K- 行列(みたいなもの)が作れ。それらは 同値類の invariant である。28 次のときは自由度は 1 であることを注意しておく)。K- 行列による分類で新しい行列を約 450 個作った。また K- 行列の形から Aut H が自明である(i.e.  $|Aut H| = 2$ ) 行列もそれらの内に沢山あることもわかった。この講演では K- 行列による分類か

どの程度正確であるかを考えたものである。  
 $K(H)$  が異なる行を多くもてば良い方法  
 な気がする。しかし  $K(H) = 0$  なる  $H$  は唯一  
 つかみつかっていない (QR-type).

Tonchev の  $H_2, H_3$  [3] は  $K(H_2) = K(H_3)$   
 であった。これを区別する方法がない  
 か考えてみた。

$H = (h_{ij})$  とおく。異なる 6 行に対して  
 $\#\{j \mid \#\{i \in \{i_1, \dots, i_6\} ; h_{ij} = 1\} = 6 \text{ or } 22\}$   
 を考える。

$i$  を fix しておく。 $i$  を含む 6 行を取る  
 によって  $K$ -行列を作ったのと同様  
 にて  $27 \times 26$  形の行列  $K_i$  を得る。さう  
 に  $K_1, \dots, K_{28}$  に辞書的順序をつける。

$KB(H) = \{K_1, \dots, K_{28}\}$  を  $H$  に  
 associate ( $\tau = K$ -Box ということにする。  
 作り方より)

$$H \sim H' \Rightarrow KB(H) = KB(H').$$

この判定法によって  $K$ -行列が同じで  
 $K$ -Box の異なる行列を 5 個掲げる。

(他に知らない、オ1, 2が Tonchev のもの).  
なお [2] で作った H-行列とそれらの K-  
行列の表を [4] で発表の予定である.

$$K(H) = K(H^T) = ( \begin{array}{ccccccccc} 28 & \dots & \dots & \dots & \dots & \dots & \dots & 111 \end{array} )$$

Table of H-matrices and  $K_2$ -matrices

2st row - 28th row of H

$K_2(H)$	$K_2(H^T)$
126935357 52835175 76976859 250958145 221053343 143243085 54642643	
26204577 260836977 179407527 12209495 237157777 154359353 205671405	
156739669 32780169 40688157 147092663 173966635 102721157 130227215	
91788517 69594219 233497091 48963833 72956723 186153163 0	
Mul = 28	Mul = 28
6 CCGGGGGG I I I I KKKKOOOOOSSSS	6 EEGGGGGG I I I I KKMMMMMOQQUU
6 EEGGGGGG I I KKKKMMMMOOOOOSS	6 EEGGGG I I KKKKMMMMMMOOOOOO
6 EGGI I I I I I KKKKKKMMMMOOOOOS	6 EGGI I I I I I KKKKKKMMMMOOOUU
6 GGGG I I I I KKKKKKMMMMMMOOOOO	6 GGGGGG I I I I I KKMMMMOOOOOOQQ
3 I I I I KKKKKKKKKMMMMOOOOOSSSS	3 I I I I KKKKMMMMMMOOOOOOQQQQ
32511 2064767 132121023 149130767 252024377 159132213 178974771	
40478689 27696081 228101347 181225689 238686925 109989669 75029785	
60373771 220424553 189941587 239384903 55826597 104279187 89055883	
148256169 210887573 153965959 83186275 97203285 62186573 0	
Mul = 4	Mul = 4
3 ..OOOOOOOOOOOOOOOOOOOOOOOOOOOO	
18 EEGGGGH I I I KMMNNNNNOOOOOOO	
6 GGGGGG I I I I KKKNNNNNNOOOOOOO	
Mul = 24	Mul = 24
6 9FFGGHHJJJJLLLMMNNNNNNSS	
2 CGGG I I I I KKKKKKMMNNNNNNNOO	
3 EEGGGGH I I KMMNNNNNOOOOOOO	
3 EE I I I I JKKKKKLNNNNNNNOO	
3 FFFFHHHHJJKKKKLMMMMOOOSS	
3 FFGGGG I I JJJJJJJJMMNNOQQSS	
3 FFGG I I JJJJKKKKLMMMMNNNNQQ	
1 GGGGGG I I I I I KKKNNNNNNOOOOO	
3 I I I I I I KKKMMMNNOQQSSSS	

32511	2064767	132121023	149130767	252024377	159132213	178974771
44411873	23762897	164938979	220848333	238424775	87254819	41219341
93117191	213392745	188963173	214328153	106613417	80688293	28792985
177817493	206682515	185478539	127052885	107826259	64565835	0

Mul = 24

2 BCEGHIIIIIIKKLMMMNOPPPQQR  
 2 BEEGHIIJKKKKKLMMNNNOOPQR  
 2 BEEGHJJJJJLMMNNNNNNNORY  
 2 CCDEIJJJKKKKLLMMNNNNNOOPQR  
 1 CCEGGHHIIIIKLLMMNNNNNOQYY  
 1 DEGGHHHHHJKKKLMMOOOOOPQR  
 1 DHIIIIJJJKKKKLMMMMNOOR  
 2 EFFFHHHIIJJJJLMMNNNOOPPQR  
 2 EFFFGHIIJJJKLMMNNNOQQY  
 1 FFHHIIJJJJJKKKKKLMMNNNOOPP  
 1 FGGGHJJJJJKKLLMMMNOOOOQ  
 1 FGGHHIIIIJLMMMMMMMNOPQ  
 2 FGGHHIIJJJKKKKLMMNNNOOP  
 2 GHIIIIJJJKLLLMMNNNOOP  
 1 GHJJJLMMNNNNNOOPPQQRR  
 1 HHHHJJJKKKKKLMMNNNOOP  
 1 HHIIIIJJJKKKKLMMNNNOOPP  
 1 IJJJJJKKKKMMMMNNOOOPPQQQQ  
 1 JJJJKKLLMMMMNNNNNP PPPRR

Mul = 4

6 DEGGHHHHHJKKKLMMOOOOOPQR  
 6 DHIIIIJJJKKKKLMMMMNOOR  
 6 FGGGHJJJJJKLMMNNNOOOOQ  
 6 FGGHHIIIIJLMMMMMMMNOPQ  
 3 JJJJLLLLLLMMMMOOOOOPPPP

Mul = 4

6 CDGHIIJJJJJKLMMNNQQQR  
 6 DGGGHIIJJJKKKLMMNNNOOPQ  
 6 EFGGGHHIIJJJJJKKKKLMPQQQQ  
 6 EFGHHIIJJJJJLMMNNNNNOOPQQ  
 3 FFFFLLLN>NNNNNNNOOOOOQQQQ

Mul = 24

1 CDGHIIJJJJJKLMMNNQQQR  
 1 CEEHHIIIIJJJKKKLNNPPQQQQ  
 1 DDGGGGHHIIJKLNNNNNNNNPPQQ  
 2 DFFGHHIIJJJKKKLMPPQQ  
 1 DGGGIJJJKKKLMMNNNOOPQ  
 2 DGHHIIIIJJJKKLMMNNNNNPPR  
 2 DHHHIIIIJKKKKLMMNNNNNOS  
 1 EFGGGHHIIJJJJJKKKLMPPQQQQ  
 1 EFGHHIIJJJJJLMMNNNNNOOPQQ  
 2 EGGGGGIJJJKKKLMMNNOPPQR  
 2 EGHHHIIIIJJJKKKLMMNNPQQQR  
 2 EGHIIIIJJJKKKKKKKLMMNNPQQQ  
 2 FGHHIIJJJJJKKKKLMMNNNOOPPS  
 1 GGIJJJKLLLMMMPPPPPQQSS  
 2 GIIIIJJJJJKKKLMMNNNPQ  
 1 HHIIIIJJJKKKKLMMNNNNNN  
 1 IIIDDDJJJKKKKLMMNNNN  
 1 IIJJJJJKKLMMMMNNNNQQR  
 1 IIKKKKKLMMMMNNNNP PPPQQQQ

Where  $\alpha = 0$ , and  $A, \dots, Y = 10, \dots, 34$ , respectively.

## References

1. H. Kimura. Hadamard matrices of order 28 with automorphism groups of order 2,  
J. Combin. Theory Ser. A 43(1986) 98-102
2. H.Kimura and H.Ohmori, Construction of Hadamard matrices of order 28,  
Graphs and Combin. 2(1986) 247-257
3. V. D. Tonchev. Hadamard matrices of order 28 with automorphisms of order 7,  
J. Combin. Theory Ser. A 40(1985) 62-81
4. H.Kimura and H. Ohmori, Hadamard matrices of order 28,  
Memoirs of the Faculty of Education  
Ehime University A,1987) (to appear)

# ある種の平面分割の個数について

東大 理 因田 聰一

§1.

定義 plane partition (平面分割) とは、自然数  $a_{ij}$  を

$$\begin{array}{cccccc} a_{11} & a_{12} & a_{13} & \cdots & a_{1\lambda_1} \\ a_{21} & a_{22} & a_{23} & \cdots & a_{2\lambda_2} \\ \vdots & \vdots & & & \\ a_{r1} & a_{r2} & \cdots & a_{r\lambda_r} & \end{array}$$

のように並べたもので

$$(1) \quad \lambda_1 \geq \lambda_2 \geq \cdots \geq \lambda_r$$

$$(2) \quad a_{ij} \geq a_{i,j+1}$$

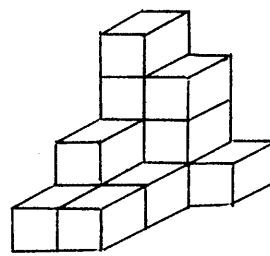
$$(3) \quad a_{ij} \geq a_{i+1,j}$$

を満たすもののことと/or。(何も並べないのもも plane partitionと考え、 $\emptyset$  で表す。)

Plane partition  $\pi = (a_{ij})$  は、数字  $a_{ij}$  の書かれている場所に  $a_{ij}$  個の立方体を積み重ねてできる立体としてとらえるのが便利である。例えば

$$\pi = \begin{matrix} 4 & 3 & 1 \\ 2 & 1 & \\ 1 & 1 & \end{matrix}$$

に対し



そこで、 $\pi$ に対して、 $\pi$ の diagram  $D(\pi)$  を

$$D(\pi) = \{(i, j, k) \in \mathbb{N}^3; a_{ij} \text{ が定義され}, 1 \leq k \leq a_{ij}\}$$

とおいて定義する。すると、plane partition の定義の条件(1), (2), (3)は

(\*)  $(i, j, k), (i', j', k') \in \mathbb{N}^3$  に対して

$$i \geq i', j \geq j', k \geq k', (i, j, k) \in D(\pi) \Rightarrow (i', j', k') \in D(\pi)$$

と言いかえることができる。

3次対称群  $S_3$  と座標の置換によ、 $\mathbb{Z} \mathbb{N}^3$  に作用させる。

このとき、plane partition  $\pi$  と  $w \in S_3$  に対して  $w \cdot D(\pi)$  がある plane partition の diagram となることが、(\*) からわかる。

定義 plane partition  $\pi$  は

$$w \cdot D(\pi) = D(\pi) \quad (\forall w \in S_3)$$

を満たすとき、totally symmetric であるという。さらに、totally symmetric plane partition  $\pi$  に対して  $D(\pi)$  の  $S_3$ -orbit の個数を、 $\pi$  の weight といい、 $\text{wt}(\pi)$  で表すことにする。

例えば,  $D(\pi) \subset [2] \times [2] \times [2]$  ( $[2] = \{1, 2\}$ ) となる totally symmetric plane partition は

$\pi:$	$\phi$	1	21	22	22
$wt(\pi):$	0	1	2	3	4

の 5 個である. 今,

$$\begin{aligned} \mathcal{T}_n(d) &= \{\pi : \text{totally symmetric plane partition}, \\ &\quad D(\pi) \subset [n] \times [n] \times [n], wt(\pi) = d\} \end{aligned}$$

$$T_n(d) = \# \mathcal{T}_n(d)$$

( $[n] = \{1, 2, \dots, n\}$  )とおき,  $T_n(d)$  の母関数

$$T_n = \sum_{d=0}^{\infty} T_n(d) q^d$$

( $D(\pi) \subset [n] \times [n] \times [n]$  のとき  $wt(\pi) \leq n^3$  だから  $T_n$  は  $q$  の多項式)

を考える. この母関数について, 次の予想がある.

予想 (G.E. Andrews, D.P. Robbins) ([1], [2] 参照)

$$T_n = \prod_{1 \leq i \leq j \leq k \leq n} \frac{1 - q^{i+j+k-1}}{1 - q^{i+j+k-2}}$$

ここでは, 上の予想が 1 つの行列式の計算に帰着されることを報告する.

## §2.

ます。 $T_n$ がある行列の小行列式の和で表されることがあります。

定義 row-strict shifted plane partitionとは、自然数  $a_{ij}$  を

$$\begin{array}{ccccccc} a_{11} & a_{12} & a_{13} & \cdots & \cdots & a_{1,\mu_1} \\ a_{22} & a_{23} & \cdots & \cdots & \cdots & a_{2,\mu_2} \\ a_{33} & \cdots & \cdots & \cdots & \cdots & a_{3,\mu_3} \\ & & & & & \ddots & \cdots \\ & & & & & a_{rr} & \cdots a_{r,\mu_r} \end{array}$$

のように並べたもので

$$(1) \quad \mu_1 \geq \mu_2 \geq \mu_3 \geq \cdots \geq \mu_r$$

$$(2) \quad a_{i,j} > a_{i,j+1}$$

$$(3) \quad a_{i,j} \geq a_{i+1,j}$$

を満たすもののこという。(何も並べないものも row-strict shifted plane partitionと考え、 $\emptyset$ で表す)

ここで

$$R_n(d) = \{ \sigma = (a_{ij}) : \text{row-strict shifted plane partition}, \\ a_{ij} \leq n \ (\forall i, j), \sum_{i,j} a_{ij} = d \}$$

とおくと、次の命題が成り立つ。

命題1.  $\pi = (a_{ij}) \in T_n(d)$  に対して、 $b_{ij} = a_{ij} - j + 1$  ( $i \leq j$ )。  
 $b_{ij} > 0$  のときのみ定義するとおくと、

$$\tilde{\pi} = (b_{ij}) \in R_n(d)$$

であり、対応  $\pi \rightarrow \tilde{\pi}$  は  $T_n(d)$  と  $R_n(d)$  の間の全単射を与える。

$r$  行から成る row-strict shifted plane partition  $\sigma = (a_{ij})$  に対して、第  $i$  行に  $\lambda_i$  個の自然数が書かれているとき、

$$sh(\sigma) = (\lambda_1, \lambda_2, \dots, \lambda_r) \quad (\lambda_1 > \lambda_2 > \dots > \lambda_r)$$

とおく。 $(\sigma)$  の shape といふ。自然数の減少列  $a_1 > a_2 > \dots > a_r > 0$ ,  $\lambda_1 > \lambda_2 > \dots > \lambda_r$  に対して

$$F(a_1, \dots, a_r; \lambda_1, \dots, \lambda_r; d)$$

$$= \#\{ \sigma = (a_{ij}) \in R_n(d); a_{ii} = a_i \ (i=1, \dots, r)$$

$$sh(\sigma) = (\lambda_1, \dots, \lambda_r) \}$$

$$F(a_1, \dots, a_r; \lambda_1, \dots, \lambda_r) = \sum_{d=0}^{\infty} F(a_1, \dots, a_r; \lambda_1, \dots, \lambda_r; d) q^d$$

のように定義する。

命題2.  $a_1 > a_2 > \dots > a_r > 0$ ,  $\lambda_1 > \lambda_2 > \dots > \lambda_r > 0$  に対して

$$F(a_1, \dots, a_r; \lambda_1, \dots, \lambda_r) = \det \left( q^{a_i + \binom{\lambda_j}{2}} \begin{bmatrix} a_i - 1 \\ \lambda_j - 1 \end{bmatrix} \right)_{i,j=1, \dots, r}$$

ここで、 $\binom{a}{b}$  は 2 項係数であり、 $\begin{bmatrix} a \\ b \end{bmatrix}$  は Gauss 多項式。

$$\begin{bmatrix} a \\ b \end{bmatrix} = \begin{cases} \frac{(1-q^a)(1-q^{a-1}) \cdots (1-q^{a-b+1})}{(1-q)(1-q^2) \cdots (1-q^b)} & (a \geq 0) \\ 0 & (\text{その他}) \end{cases}$$

である。

ところが、

$$\sum_{d=0}^{\infty} \# R_n(d) q^d = 1 + \sum F(a_1, \dots, a_r; \lambda_1, \dots, \lambda_r)$$

(和は  $n \geq a_1 > a_2 > \dots > a_r > 0, n \geq \lambda_1 > \lambda_2 > \dots > \lambda_r > 0$  なる列  $a_1, \dots$

$a_r; \lambda_1, \dots, \lambda_r$  全て ( $r$  も動かす) にわたる) だから、命題 1, 2 により、 $T_n$  は次の行列  $A_n$  の小行列式全ての和 (0 次小行列式は 1 として加える) に等しいことがわかる。

$$A_n = (q^{i+(j)} \begin{bmatrix} i-1 \\ j-1 \end{bmatrix})_{i,j=1,\dots,n}$$

$$= \begin{pmatrix} q & 0 & 0 & \cdots & 0 \\ q^2 \begin{bmatrix} 1 \\ 0 \end{bmatrix} & q^3 \begin{bmatrix} 1 \\ 1 \end{bmatrix} & 0 & \cdots & 0 \\ q^3 \begin{bmatrix} 2 \\ 0 \end{bmatrix} & q^4 \begin{bmatrix} 2 \\ 1 \end{bmatrix} & q^6 \begin{bmatrix} 2 \\ 2 \end{bmatrix} & \cdots & 0 \\ \vdots & \vdots & \vdots & \ddots & \vdots \\ q^n \begin{bmatrix} n-1 \\ 0 \end{bmatrix} & q^{n+1} \begin{bmatrix} n-1 \\ 1 \end{bmatrix} & q^{n+3} \begin{bmatrix} n-1 \\ 2 \end{bmatrix} & \cdots & q^{n+(n-1)} \begin{bmatrix} n-1 \\ n-1 \end{bmatrix} \end{pmatrix}$$

### §3.

この節では、より一般に、変数  $\chi_{ij}$  を  $(i, j)$  成分とする  $n \times m$  行列  $Z = (\chi_{ij})_{\substack{i=1, \dots, n \\ j=1, \dots, m}}$  の小行列式の和を考える。 $1 \leq a_1 \leq a_2 \leq \dots \leq a_r \leq n, 1 \leq b_1 \leq b_2 \leq \dots \leq b_r \leq m$  に対して

$$d(a_1, \dots, a_r; b_1, \dots, b_r) = \det (\chi_{a_i, b_j})_{i,j=1,\dots,r}$$

とおき、

$$d(a_1, \dots, a_r) = \sum_{1 \leq b_1 < b_2 < \dots < b_r \leq m} d(a_1, \dots, a_r; b_1, \dots, b_r)$$

のように定義すると、 $a_i = a_{i+1}$ となる  $i$  があるとき

$$d(a_1, \dots, a_r) = 0.$$

であり、 $1 \leq a_1 < a_2 < \dots < a_r \leq n$  のとき  $d(a_1, \dots, a_r)$  は  $\mathbb{Z}$  から  $a_1, a_2, \dots, a_r$  行をとてできる  $r \times m$  行列  $(\mathbb{Z} a_{i,j})_{\substack{i=1, \dots, r \\ j=1, \dots, m}}$  の  $r$  次小行列式全ての和に等しい。このとき、次の recursive formula が成り立つ。

定理 1.  $1 \leq a_1 < a_2 < \dots < a_r \leq n$  とする。

(1)  $r$  が奇数のとき

$$d(a_1, \dots, a_r) = \sum_{i=1}^r (-1)^{i-1} d(a_i) d(a_1, \dots, a_{i-1}, a_{i+1}, \dots, a_r)$$

(2)  $r$  が偶数のとき

$$d(a_1, \dots, a_r) = \sum_{i=2}^r (-1)^i d(a_1, a_i) d(a_2, \dots, a_{i-1}, a_{i+1}, \dots, a_r)$$

今、 $2k$  次交代行列  $X = (X_{ij})_{i,j=1, \dots, 2k}$  ( $X_{ij} + X_{ji} = 0$ ) の

Pfaffian を  $Pf(X)$  で表す。ただし、

$$J_k = \begin{bmatrix} 0 & 1 & & & & \\ -1 & 0 & & & & \\ & & 0 & 1 & & \\ & & & -1 & 0 & \\ & & & & \ddots & \\ & & 0 & & & 0 & 1 \\ & & & & & & -1 & 0 \end{bmatrix}_{2k}$$

に対して、 $Pf(J_k) = 1$  となるものとすると、すると、

$$Pf(X) = \sum_{i=2}^{2k} (-1)^i X_{1,i} Pf(X_{1,i})$$

(ここで、 $X_{ij}$  は  $X$  から  $i$  行、 $j$  行、 $i$  列、 $j$  列を除いて

得られる  $2(k-1)$  次交代行列である) これと定理 1 から

$$d(a_1, \dots, a_r) \text{ は } d(a_i) = \sum_{j=1}^r a_{i,j}, \quad d(a_i, a_j) = \sum_{1 \leq b < c \leq m} \det \begin{pmatrix} a_{i,b} & a_{i,c} \\ a_{j,b} & a_{j,c} \end{pmatrix}$$

のみを用いて、次のように

表される。

系  $1 \leq a_1 < a_2 < \dots < a_r \leq n$  とする。

(1)  $r$  が奇数のとき

$$d(a_1, \dots, a_r) = \text{Pf} \begin{pmatrix} 0 & d(a_1) & d(a_2) & \dots & d(a_r) \\ -d(a_1) & 0 & d(a_1, a_2) & \dots & d(a_1, a_r) \\ -d(a_2) & -d(a_1, a_2) & 0 & \dots & d(a_2, a_r) \\ -d(a_3) & -d(a_1, a_3) & -d(a_2, a_3) & \dots & d(a_3, a_r) \\ \vdots & \vdots & \vdots & & \vdots \\ -d(a_r) & -d(a_1, a_r) & -d(a_2, a_r) & \dots & 0 \end{pmatrix}$$

(2)  $r$  が偶数のとき

$$d(a_1, \dots, a_r) = \text{Pf} \begin{pmatrix} 0 & d(a_1, a_2) & d(a_1, a_3) & \dots & d(a_1, a_r) \\ -d(a_1, a_2) & 0 & d(a_2, a_3) & \dots & d(a_2, a_r) \\ -d(a_1, a_3) & -d(a_2, a_3) & 0 & \dots & d(a_3, a_r) \\ -d(a_1, a_4) & -d(a_2, a_4) & -d(a_3, a_4) & \dots & d(a_4, a_r) \\ \vdots & \vdots & \vdots & & \vdots \\ -d(a_1, a_r) & -d(a_2, a_r) & -d(a_3, a_r) & \dots & 0 \end{pmatrix}$$

次に、行列  $Z$  の小行列式全て(0次小行列式は 1 として含む) の和を  $D(Z)$  と表すことになると

$$D(Z) = 1 + \sum d(a_1, \dots, a_r)$$

(和は  $1 \leq a_1 < a_2 < \dots < a_r \leq n$  なる列  $a_1, \dots, a_r$  全て( $r$  も動かす)に

わたる), このとき,  $D(Z)$  を  $d(i)$ ,  $d(i,j)$  を用いて次のようく表される.

定理2. (1)  $n$  が奇数のとき

$$D(Z) = \text{Pf} \begin{pmatrix} 0 & d(1)+1 & d(2)-1 & d(3)+1 & \cdots & d(n)+1 \\ -d(1)-1 & 0 & d(1,2)+1 & d(1,3)-1 & \cdots & d(1,n)-1 \\ -d(2)+1 & -d(1,2)-1 & 0 & d(2,3)+1 & \cdots & d(2,n)+1 \\ -d(3)-1 & -d(1,3)+1 & -d(2,3)-1 & 0 & \cdots & d(3,n)-1 \\ \vdots & \vdots & \vdots & \vdots & \ddots & \vdots \\ -d(n)-1 & -d(1,n)+1 & -d(2,n)-1 & -d(3,n)+1 & \cdots & 0 \end{pmatrix}$$

(2)  $n$  が偶数のとき

$$D(Z) = \text{Pf} \begin{pmatrix} 0 & d(1)+1 & d(2)-1 & \cdots & d(n)-1 & 1 \\ -d(1)-1 & 0 & d(1,2)+1 & \cdots & d(1,n)+1 & -1 \\ -d(2)+1 & -d(1,2)-1 & 0 & \cdots & d(2,n)-1 & 1 \\ -d(3)-1 & -d(1,3)+1 & -d(2,3)-1 & \cdots & d(3,n)+1 & -1 \\ \vdots & \vdots & \vdots & \vdots & \vdots & \vdots \\ -d(n)+1 & -d(1,n)-1 & -d(2,n)+1 & \cdots & 0 & 1 \\ -1 & 1 & -1 & \cdots & -1 & 0 \end{pmatrix}$$

## §4.

§2 の最後で述べたように, totally symmetric plane partition の母関数  $T_n$  は  $A_n = (q^{i+(j)} [i-1]_{j-1})_{i,j=1,\dots,n}$  の小行列式全ての和だ, だから, 定理2を適用することができる. そこで, §3において,  $m=n$  とし,  $\forall i,j$   
 $= q^{i+(j)} [i-1]_{j-1}$  とおく. すると,  $d(i) = \sum_{j=1}^i q^{i+(j)} [i-1]_{j-1}$ ,  
 $d(i,j) = \sum_{1 \leq k < l \leq n} \det \begin{pmatrix} q^{i+(k)} [i-1]_{k-1} & q^{i+(l)} [i-1]_{l-1} \\ q^{j+(k)} [j-1]_{k-1} & q^{j+(l)} [j-1]_{l-1} \end{pmatrix}$  に対して, 次

の命題が成り立つ。

命題3. (1)  $d(1) = q$ ,  $d(i) = q(1+q^{i-1})d(i-1)$

よって,  $d(i) = q^i(1+q)(1+q^2)\cdots(1+q^{i-1})$

(2)  $d(1, j) = q^{j+1}(1+q)(1+q^2)\cdots(1+q^{j-1}) - q^{j+1}$

$d(i, j) = q(1+q^{i-1})d(i-1, j) - q^{2i+j-1} \left[ \begin{smallmatrix} i+j-2 \\ i-1 \end{smallmatrix} \right]$

定理2と命題3を用いて計算すると,  $T_n^2$  は次のように  
行列式で表されることがわかる。

定理3.  $B_n, C_n$  を次のような  $n \times n$  行列とする。

$$B_n = \begin{pmatrix} 1+q & & & & & & & & 0 \\ -1 & 1+q^2 & & & & & & & \\ & -1 & 1+q^3 & & & & & & \\ & & -1 & 1+q^4 & & & & & \\ & & & \ddots & \ddots & & & & \\ 0 & & & & & & & & -1 & 1+q^n \end{pmatrix}$$

$$C_n = (q^{i+j-1} \left[ \begin{smallmatrix} i+j-2 \\ i-1 \end{smallmatrix} \right] + q^{i+j} \left[ \begin{smallmatrix} i+j-1 \\ i \end{smallmatrix} \right])_{i,j=1,\dots,n}$$

このとき,

$$T_n^2 = \det(B_n + C_n).$$

従って, §1で述べた予想は定理3にある行列式  
 $\det(B_n + C_n)$  の計算に帰着された。

## 参考文献

- [1] R.P. Stanley, A baker's dozen of conjectures concerning plane partitions, preprint.
- [2] R.P. Stanley, Symmetries of plane partition, J. Combinatorial Theory (A). 43, (1986) p.p. 103-113

群が作用する block design について。

北大 理 荒川 則泰  
北大 理 吉田 知行

## §1 概略

BIBD の性質を調べる上で incidence matrix  $N$  を考えるのは自然であり特に

$$\begin{cases} NN' = mI + \lambda J \\ N \text{ の固有値は } \lambda, m, -m \text{ である。} \end{cases} \quad (1)$$

この事実から多くの有益な結果が得られる。  
以下において incidence matrix と (1) の関係を, R.M.  
Wilson 及び D.L. Kreher の方針に従って,  $t$ -design  
及び自己同型群を持つ場合に拡張し, それと共に古典的  
的結果に対する事実を述べる。

## 3.2 定義及び便法、記号法

以下で  $\lambda$ - $(v, k, \lambda)$  design を、点集合  $P$ 、ブロック集合  $B$  flag の集合  $I$  の 3つ組み  $(P, B, I)$  で表わす。標記の都合上、点とブロック間で、 $\in$  と集の記号を使うが、design が simple であることを仮定しているわけではない。(つまり  $\beta, \gamma \in B$  で、 $\{p \in P \mid p \in \beta\} = \{p \in P \mid p \in \gamma\}$  で  $\beta = \gamma$  とは限らない。) 明白な場合を避けるため  $k \leq v-t$ ,  $t > 0$  を仮定する。又、 $P$  の  $i$  点集合  $\{I \in 2^P \mid |I|=i\}$  を  $\binom{P}{i}$  で表わし、 $P$  自身も  $\binom{P}{1}$  で代用することがある。

$\lambda$ - $(P, B, I)$  を  $\lambda$ - $(v, k, \lambda)$  design とする。

$i+j \leq t$ ,  $i, j \geq 0$  のとき、 $I \in \binom{P}{i}$ ,  $J \in \binom{P}{j}$   $I \cap J = \emptyset$

とする。

$$b_i^j := \#\{\beta \in B \mid \beta \supseteq I, \beta \cap J = \emptyset\}$$

が、 $I, J$  の選び方によらずにきまる

$$\begin{cases} b_i^j = b_{i+1}^{j-1} + b_i^{j+1} \\ b_i^0 = \lambda \binom{v-i}{t-i} / \binom{k-i}{t-i} \end{cases} \quad \text{で計算でき。}$$

上の漸化式は

$$(b_{j+i}^0, b_{j+i-1}^1, \dots, b_{j+i-n}^n, \dots, b_j^0) = (b_{j+i}^0, b_{j+i-1}^1, \dots, b_{j+i-n}^n, b_j^0) \binom{v}{u} \quad (2)$$

とも書ける。 $\binom{v}{u}$  は 2 項係数で  $v \leq n$  なら 0 と定義する。

\* 群  $G \leq \text{Sym}(P) \times \text{Sym}(B)$  が  $(P, B, I)$  の自己同型であることは  $I^G = I$  を満すことである。

$\therefore \exists I \in (P, B), g \in G \text{ かつ } (P, B)^g := (P^g, B^g)$  が定義する。

\*  $2A-(v, k, \lambda)$  design  $(P, B, I)$  における  $|B| = b_v^0 = \binom{v}{k}$  が成立するとき, tight と呼ぶのはよく知られた術語である。以下の議論を簡単にするため, 自己同型群  $G$  をもと,  $\binom{v}{k}$  上の  $G$ -orbit の数と,  $B$  上の  $G$ -orbit の数が一致するとき  $G$ -tight と呼ぶことにする。又,  $\lambda=1$  のとき, tight は symmetric と読み換える。

\*  $M, N$  を有限集合とするとき,  $M \times N$  から単位的可換環  $R$  への写像全体を  $\text{Mat}_R(M, N)$  とかき  $M \times N$  形行列と呼ぶ。  $A \in \text{Mat}_R(M, N)$ ,  $B \in \text{Mat}_R(N, k)$  のとき

$A \cdot B \in \text{Mat}_R(M, k)$  を  $A \cdot B [m, k] := \sum_{n \in N} A[m, n] B[n, k]$  と定義する。

$A-(v, k, \lambda)$  design  $(P, B, I)$  があるとき以下のように環  $R$  に無関係に定義できる。

$$N_i \in \text{Mat}(\binom{v}{i}, B)$$

$$N_i[I, \beta] := \begin{cases} 0 & I \not\subseteq \beta \\ 1 & I \subseteq \beta \end{cases} \quad (\text{$\beta$ は $I$ に関する incidence matrix})$$

$$W_{ij} \in \text{Mat}((\binom{v}{i}, \binom{v}{j}))$$

$$W_{IJ, JJ} := \begin{cases} 0 & I \neq J \\ 1 & I \subseteq J \end{cases}$$

$$M_{ij}^u \in \text{Mat}((\binom{v}{i}, \binom{v}{j}))$$

$$M_{ij}^u [I, J] = \begin{cases} 0 & |I \cap J| \neq u \\ 1 & |I \cap J| = u \end{cases}$$

§3  $\lambda$ -design の実験 (R.M.Wilson)

Th 1  $e+f \leq \lambda$ ,  $e, f > 0$  のとき

$$N_e N_f^T = \sum_{u=0}^{\min(e,f)} b_{e+f-u}^u W_{ie}^T W_{if} \quad (3)$$

① 次の2式は定義より RHS  $\neq 0$

$$\begin{cases} N_e N_f^T = \sum_{u=0}^{\min(e,f)} b_{e+f-u}^0 M_{ef}^u \\ W_{ie}^T W_{if} = \sum_{u=0}^{\min(e,f)} (\binom{v}{i}) M_{ef}^u \end{cases}$$

2) を使えば 3) が得られる。 //

$N_i$  の行で張られる  $Q^B$  の subspace を  $U_i$  とする。

Cor (Petrenjuk-野田-坂内-Wilson-Chandhuri)

$2 \leq \lambda \Rightarrow N_e N_f^T$  は 可逆。特に  $\dim_Q U_i = \binom{v}{i}$

∴  $N_e N_f^T = \sum_{u=0}^{\min(e,f)} b_{e+f-u}^u W_{ie}^T W_{if}$  2, 右辺は正定値を

2次形式。 //

簡単な計算で,  $U_0 \leq U_1 \leq \dots \leq U_s$  が示せた。

$$\left\{ \begin{array}{l} V_0 = U_0 \\ V_i := U_i \cap U_{i+1}^\perp \end{array} \right.$$

$$V_i := U_i \cap U_{i+1}^\perp \quad i=1, 2, \dots, s-1$$

$$Q^B = V_0 \oplus V_1 \oplus \dots \oplus V_s \oplus U_{s+1}^\perp$$

Th 2  $N_s N_s^T$  の固有値は  $\binom{b-i}{s-i} b_s^i \quad i=0, 1, \dots, s$  である  
対応する固有空間は  $V_i \quad i=0, 1, \dots, s$  と  $U_{s+1}^\perp$  である

略証)  $M_i := N_i^T N_i$  である。(3)より

$$M_e M_g = \sum_{u=0}^{\min(e,g)} \binom{b-u}{e-u} \binom{b-u}{g-u} b_{e+g-u}^u M_u \quad \cdots (4)$$

左辺は  $e-g$  の和で  $i$  のことなり

$$V_e M_g = \binom{b-e}{s-g} b_g^e V_g$$
 が計算できること //

$$\text{Cor. } \det(N_s N_s^T) = \prod_{u=0}^s \left[ \binom{b-u}{s-u} b_s^u \right]^{\binom{s}{u} - \binom{u}{s}}$$

Cor. (P. Delsarte)

$$2s\text{-design} \text{において, } \#\{i | i = (\beta, \alpha), \beta, \alpha \in B\} = s+1$$

$\beta \in S, \alpha \in T$  が同じ点で交わるという関係で Association scheme が定義できる。

(ii) (i)  $M_s$  は単位行列で、張らせる  $s+2$  項元可換  $Q$  algebra が、または Association scheme の Bose-Mesner algebra になることがわかる //

#### § 4 自己同型群 $G$ を持つ場合

$R$  を単位的可換環とする。

自己同型の定義:  $N_s \in RP$  から  $RB$  への

$G$ -map をもつている。特に  $\det(NN')$  が  $R$  の中で可逆であれば、 $RP$  は  $RB \oplus RG$ -直和因子となる。  
以下  $R = \mathbb{C}$  とする。 $\Omega = 2^P \cup B$  (以前の注意より)。disjoint union である。

$\tau: \text{End}_{\mathcal{G}}(\mathbb{C}\Omega) \rightarrow \text{End}_{\mathbb{C}}(\mathbb{C}\Omega/G)$   
なる自然な環準同形で、転置を保つものがとれる。

この  $\tau$  を使って Th1, 2 を書き換えてみる。

Th 1' (D.L.Kreher)

$$e^{sf} \in I \Rightarrow \tau(N_e) \tau(N_f)^T = \sum_{u=0}^{\min(s,f)} b_{e+f-u}^u \tau(W_{ue})^T (W_{uf})$$

Th 2' (D.L.Kreher)

$$2 \leq s \leq f \Rightarrow \tau(N_s)^T \tau(N_f) \text{ の固有値は } \binom{f-s}{s-i} b_s^i \quad i=0, \dots, s \quad \Re v \neq 0$$

i. 対応する固有空間  $V_i'$ ,  $i=0, \dots, s$ :  $V_s^\perp$  に相当する

$$\dim V_i' = \binom{n}{i} / |H_{i+1}/G|, \quad V_s^\perp = B/G \cap C/G$$

$\Omega/G = \{\Omega_1, \Omega_2, \dots, \Omega_{B/G}\}$  を軌道分解とする。

$D \in \text{Mat}_{\mathbb{C}}(\Omega/G, \Omega/G)$  を

$$D[\Omega_i, \Omega_j] := \delta_{ij} |\Omega_i| \quad (\tau \text{ は定義する}.)$$

lemma (D.L.Kreher)  $A \in \text{End}_{\mathcal{G}}(\mathbb{C}\Omega)$  ならば,

$$\sqrt{D}^{-1} \tau(A) \sqrt{D} \in \text{Mat}_{\mathbb{C}}(\Omega/G, \Omega/G).$$

(i) 計算を示せ。 //

## §5 応用

incidence matrix の線形代数的性質から直接得られる古典的諸定理は、同じ方法で拡張できる。例えば、

★ Th tightな design が、自己同型群  $G$  をもてば、  
 $G$ -tightである。

Fisher の不等式 2.1

★ Th (D.L.Kreher) 自己同型をもつ  $t-(v, k, l)$  design  
 はあり、  $2s \leq t \Rightarrow |B/G| \geq |U/G|$

( $G$  が自明な場合は、 Th 10 Corollary 2. 麻上述べた)

以下では  $2s-(v, k, l)$  design を扱う。

$$|B/G|=m, \quad B/G = \{B_1, \dots, B_m\}$$

$$|U/G|=n \quad U/G = \{S_1, \dots, S_n\} \quad \text{とする。}$$

Schutzenberger の定理 2.1

★ Th  $\prod_{i=0}^m |B_i| \times \prod_{i=0}^n |S_i| \times \prod_{i=0}^s \left[ \binom{k-i}{s-i} b_i \right]^{|(U/G)| - |(S_i)/G|}$  は  
 平方数

Brauck-Ryser-Chowla の定理 2.1

★ Th  $Q = \sqrt{D'} I (N_s N_s^T) \sqrt{D'} \leq$  表わされる

$Q$  上の 2次形  $Q$  は、  $\begin{pmatrix} 1 & \\ & 1_{B_m} \end{pmatrix}$  で表わされると 2 次  
 形式  $Q$  に含まれる。  $\therefore Q = \begin{pmatrix} 1 & \\ & 1_{S_n} \end{pmatrix}$

特に  $m \leq m+2$  なら  $Q$  の 2 次形式としての  
不等式条件がつく。

注 今のところ行範囲以外の不等式は計算  
できていないので 実際に役に立つのは  $m=n$  の場  
合 (Schurgenberger の定理) 又は  $(m, n) = (1, 2), (1, 3) (2, 3)$   
 $(2, 4)$  の場合ぐらいである。

## § 6 今后の問題

残された問題は数多くある。

- \* 他にどんな定理があるか表でまとめる。
- \* § 4 の前半の目地から目地は、 $\text{Th}^1, \text{Th}^2$  は  
非常に限られた情報しか使っていない。他の  
情報は使えないか。

この方向では次のようない結果がある。

2-(v, b, 1)  $\text{desire}$  における,  $r=b^0, m=b^1$  とする。

$\text{Th}$  (吉田)  $R\#(nr)^{-1}$  を言おうと 単位的可換環  
 $M$  を任意の  $RG$ -module とする。

$$\text{Ext}_{R_G}^m(RP, M) / \text{Ext}_{R_G}^m(RB, M)$$

Cor. 特に  $M = \mathbb{C}^*$  のとき,  $1 + nr$  は素数にならば,

$$\prod_{P \in G} (G_P/[G_P, G_P])_e \mid \prod_{B \in BG} (G_B/[G_B, G_B])_e.$$

Th (吉田)

$$\begin{aligned} l + mr &\Rightarrow \sum_{p \in P_q} \# \{G_p \text{ の } l\text{-regular class}\} \\ &\leq \sum_{p \in P_q} \# \{g_p \text{ の } l\text{-regular class}\} \end{aligned}$$

前の方の定理は比較的簡単なので、  
一般の方へ拡張できました。

- \* G-tight を場合の B-R-C 定理をわかり易く述べる。
- \* Q の他の不变量の計算

### §8 参考文献

「ローリングデリケ」一般化について

- E.S. Lander (1983) Symmetric designs; London Math. Soc. Lecture Note Series 74

二次形式と巡回群

- J.P.セール (1970) 数論講義; 岩波書店  
主な結果は。

- R.M. Wilson Incidence Matrices of t-Designs)  
LINEAR ALGEBRA AND ITS APPLICATIONS 46:73-82 (1982)

D. L. Kreher An Incidence Algebra for t - Designs  
with Automorphisms, JOURNAL OF  
COMBINATORIAL THEORY, Series A 42: 251-251  
( 1986 )

$k_d \geq k_0$ .

巡回型ブロック・デザインの逐次構成  
(グラフ・デザインの合成を中心として)

東京理科大学・理工 神保雅一  
東京理科大学・理 栗木進二

§1 Introduction.

Balanced incomplete block designs were generalized to balanced graph designs by Hell and Rosa[3]. They also studied the effect of products upon the decomposition of graphs into various subgraphs. Many authors considered these topics (see, for example, [1]-[6], [8] and [9]). In this paper, we consider a construction for cyclic graph designs by a product method.

Here, graphs are considered to be undirected unless otherwise stated. Edges are identified with pairs of endpoints but multiple edges and loops are allowed.  $V(G)$  denotes the vertex set of a graph  $G$ , and  $E(G)$  denotes the

---

Research supported in part by a Grant-in-Aid for Scientific Research of the Ministry of Education, Science and Culture under Contract Number 321-6009-61530017, and by Research Grant of Science University of Tokyo under Contract Number 86-1001.

multiset of edges of  $G$ . The number of vertices (*order* of  $G$ ) and the number of edges are denoted by  $p(G)$  and  $e(G)$ , respectively. The addition of two graphs  $G$  and  $H$ ,  $G \oplus H$ , is defined by a graph with the vertex set  $V(G \oplus H) = V(G) \cup V(H)$  and the edge set  $E(G \oplus H)$  which is a collection of edges of  $G$  and  $H$ .  $\lambda G$  denotes a graph such that a graph  $G$  is added  $\lambda$  times. Let  $H$  and  $G$  be graphs. If there is a family  $\mathcal{G} = \{G_1, G_2, \dots\}$  of subgraphs of  $H$ , which are isomorphic to a graph  $G$ , such that each edge of  $H$  is in precisely one member of  $\mathcal{G}$ , then  $\mathcal{G}$  is said to be a *G-decomposition* of  $H$ . Then  $H = G_1 \oplus G_2 \oplus \dots$  holds.

The complete graph on  $v$  vertices, in which each vertex is joined precisely once to each other vertex, is denoted by  $K_v$ . A decomposition of  $\lambda K_v$  into subgraphs isomorphic to a graph  $G$  of order  $k$  is called a *graph design* and denoted by a  $(v, k, \lambda)$  *G-design*. If  $G$  is a path, a circuit or a bipartite graph, then a  $G$ -design is called a *path design*, a *circuit design* or a *bipartite design*, respectively. If each vertex occurs in precisely the same number of subgraphs in the decomposition, then the  $G$ -design is said to be *balanced*. If there is a balanced  $(v, k, \lambda)$   $G$ -design, then

$$\lambda v(v-1) = 2eb, vr = bk, \text{ and } \lambda(v-1) \equiv 0 \pmod{d},$$

hold, where  $e = e(G)$ ,  $b$  is the number of subgraphs of the  $G$ -decomposition,  $r$  is the number of subgraphs containing a given vertex of  $\lambda K_v$  and  $d$  is the g.c.d. of the degrees of the vertices of  $G$ . We can easily verify that if  $G$  is a *regular* graph, which is defined to be a graph with the same

number of edges for each vertex, then a G-design is balanced. A  $K_k$ -decomposition of  $\lambda K_v$  is simply a balanced incomplete block design.

A graph H is said to be *cyclic* if it has an automorphism of a single cycle of length  $v=p(H)$ . If H is cyclic, then without loss of generality, we can assume that  $V(H)=Z_v$ , the residues of modulo v. And if  $\{a,b\}$  is an edge of H, then  $\{a+c, b+c\} \pmod{v}$  is also an edge of H. Let  $h_i$  be the number of edges  $\{0,i\}$ , in particular,  $h_0$  is the number of loops  $\{0,0\}$ . Then obviously we have

$h_i = h_{v-i} = h_{-i}$  for  $i \in Z_v$ . For a cyclic graph H,  $H(x) = \sum_{i=0}^{v-1} h_i x^i$  is called a *characteristic polynomial* of H. While the following polynomial is called a *reciprocal characteristic polynomial* of H:

$$\bar{H}(x) = \begin{cases} \sum_{i=-(v-1)/2}^{(v-1)/2} h_i x^i & \text{if } v \text{ is odd,} \\ \sum_{i=-v/2+1}^{v/2-1} h_i x^i + \frac{h_v/2}{2} (x^{v/2} + x^{-v/2}) & \text{if } v \text{ is even.} \end{cases}$$

Let H and F be cyclic graphs of order  $v_1=p(H)$  and  $v_2=p(F)$  with a reciprocal characteristic polynomial  $\bar{H}(x)$  and a characteristic polynomial  $F(y)$ , respectively. A cyclic graph having a characteristic polynomial  $\bar{H}(z)F(z^{v_1})$  with  $z^{v_1 v_2} = 1$  is called a *cyclic product* of H and F, denoted by  $H * F$ . Note that, in the case when  $v_1$  is even,  $h_{v_1/2}$  must be even in order that  $\bar{H}(z)F(z^{v_1})$  is well-defined as a characteristic polynomial of a cyclic graph. Clearly, a cyclic product \* is not commutative. Note that for cyclic

graphs  $H_1$ ,  $H_2$  and  $F$ , if  $V(H_1)=V(H_2)$ , then we have

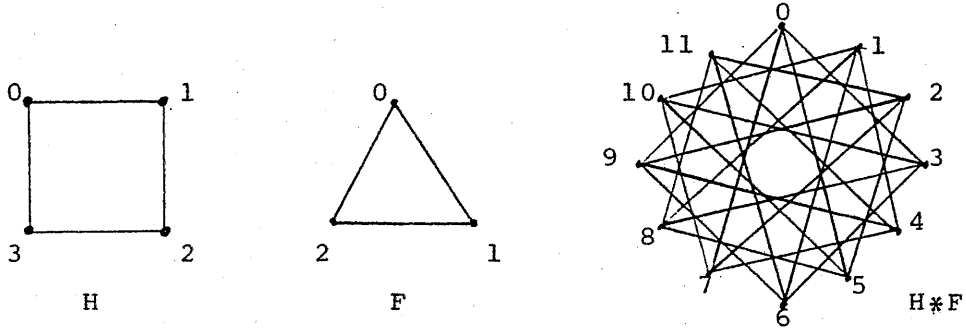
$$(H_1 \oplus H_2) * F = (H_1 * F) \oplus (H_2 * F),$$

and

$$F * (H_1 \oplus H_2) = (F * H_1) \oplus (F * H_2).$$

**Example 1.** Let  $H$  and  $F$  be circuits of length 4 and 3, respectively. Then  $\bar{H}(x)=x+x^{-1}$  and  $F(y)=y+y^2$ . Hence  $H * F$  is a cyclic graph of order 12 with a characteristic polynomial

$$\bar{H}(z)F(z^4)=(z+z^{-1})(z^4+z^8)=z^3+z^5+z^7+z^9 \quad (z^{12}=1).$$



**Lemma 1.** Let  $H=\lambda_1 K_{v_1}$  and  $F=\lambda_2 K_{v_2}$ , where  $\lambda_1$  is even if  $v_1$  is even. Then

$$\lambda_1 \lambda_2 K_{v_1 v_2} = H * F \oplus \lambda_2 H * 1_{v_2} \oplus \lambda_1 1_{v_1} * F \quad (1)$$

holds, where  $1_{v_i}$  is a graph with  $v_i$  vertices and a loop for each vertex such that  $V(1_{v_1})=V(H)$  and  $V(1_{v_2})=V(F)$ .

**Proof.** Let  $\bar{H}(x)$  be a reciprocal characteristic polynomial of  $H$  and let  $H(x)$  be a characteristic polynomial of  $H$ . Then we have  $H(x)=\lambda_1(x+x^2+\dots+x^{v_1-1})$ . Similarly, the characteristic polynomial of  $F$  is  $F(y)=\lambda_2(y+y^2+\dots+y^{v_2-1})$ . Hence that of  $F \oplus \lambda_2 1_{v_2}$  is  $F'(y)=F(y)+\lambda_2=\lambda_2(1+y+y^2+\dots+y^{v_2-1})$ . Note that  $z^{v_1} F'(z^{-1})=F'(z^{-1})$  and  $z^{-i}=z^{v_1(v_2-1)+v_1-i}$  for

any integer  $0 \leq i \leq v_1/2$ , when  $z^{v_1 v_2} = 1$ . Then we have

$$\bar{H}(z)F'(z^{v_1}) = H(z)F'(z^{v_1}) \text{ for } z^{v_1 v_2} = 1. \text{ And the}$$

characteristic polynomial of  $\lambda_1^{v_1} * F$  is  $\lambda_1 F(z^{v_1})$ . Thus the

characteristic polynomial of the right hand side of (1) is

$$\begin{aligned} \bar{H}(z)F'(z^{v_1}) + \lambda_1 F(z^{v_1}) &= \{\bar{H}(z) + \lambda_1\}F'(z^{v_1}) - \lambda_1 \lambda_2 \\ &= \lambda_1 \lambda_2 (1+z+z^2+\dots+z^{v_1-1})(1+z^{v_1}+z^{2v_1}+\dots+z^{(v_2-1)v_1}) - \lambda_1 \lambda_2 \\ &= \lambda_1 \lambda_2 (z+z^2+\dots+z^{v_1 v_2-1}), \end{aligned}$$

which is the characteristic polynomial of  $\lambda_1 \lambda_2 K_{v_1 v_2}$ .  $\square$

Let  $G$  be a subgraph of a cyclic graph  $H$  of order  $v$ .

A graph  $G+i$  is defined by  $V(G+i) = \{g+i \pmod{v} \mid g \in V(G)\}$  and  $E(G+i) = \{\{a+i, b+i\} \pmod{v} \mid \{a, b\} \in E(G)\}$ . The set of graphs  $\{G+i \mid i=0, 1, 2, \dots\}$  is called an *orbit* of  $G$ . An orbit can be represented by any one of its graphs, which will be called a *base graph*. The smallest positive integer  $i$  such that  $G+i=G$  is called the *length* of an orbit. If  $i=v$  then an orbit is said to be *full* otherwise it is said to be *short*. For an orbit of length  $i$  with base graph  $G$ , let

$$\langle G \rangle = G \oplus (G+1) \oplus (G+2) \oplus \dots \oplus (G+i-1).$$

If a cyclic graph  $H$  of order  $v$  is represented as

$H = \langle G_1 \rangle \oplus \dots \oplus \langle G_\alpha \rangle$  for  $G_\ell$ 's isomorphic to a graph  $G$ , then  $H$  is said to have a *cyclic G-decomposition*. In this paper, we consider only the case when any orbits corresponding to  $G_\ell$ 's are full. For each graph  $G_\ell$ , let

$$\Delta G_\ell(x) = \sum_{\{i, j\} \in E(G_\ell)} (x^{i-j} + x^{j-i}).$$

Then  $\bar{H}(x) = \Delta G_1(x) + \dots + \Delta G_\alpha(x)$  holds. A cyclic  $G$ -decomposition of  $\lambda K_v$  is called a *cyclic  $(v, k, \lambda)$   $G$ -design*, where  $k$  is the order of  $G$ . Note that a cyclic  $G$ -design is always balanced.

**Lemma 2.** For an even integer  $v$ , if there exists a cyclic  $(v, k, \lambda)$   $G$ -design with no short orbit, then  $\lambda$  must be even.

**Proof.** Let  $H = \langle G_1 \rangle \oplus \dots \oplus \langle G_\alpha \rangle$  be a cyclic  $G$ -decomposition of  $\lambda K_v$ . If the edge  $\{0, \frac{v}{2}\}$  is contained in a graph  $G_\ell + j$  for a certain  $\ell$  and  $j$ , then it is also contained in a graph  $G_\ell + j + \frac{v}{2}$ . Since the cyclic  $G$ -decomposition has no short orbit,  $G_\ell + j$  and  $G_\ell + j + \frac{v}{2}$  must be distinct. Thus the set of all graphs having the edge  $\{0, \frac{v}{2}\}$  can be partitioned into pairs of graphs  $(G_\ell + j, G_\ell + j + \frac{v}{2})$ 's. Hence  $\lambda$  must be even.  $\square$

## §2 Difference arrays and Graph arrays.

Let  $F$  be a cyclic graph of order  $v$  with a characteristic polynomial  $F(y) = \sum_{p=0}^{v-1} f_p y^p$ , then  $f = F(1) = \sum f_p$  is the degree of each vertex. Let  $G$  be a *simple* graph, which is defined to be a graph with no loops and no multiple edges, with vertex set  $V(G) = \{0, 1, \dots, k-1\}$ . A  $k \times f$  array  $D = (d_{ij})$  is called an  $(F, G)$ -difference array if  $d_{ij} \in \mathbb{Z}_v$  and every vertex  $p$  of  $F$  occurs exactly  $f_p$  times among the differences  $\{d_{ij} - d_{i'j} \pmod v \mid j=1, 2, \dots, f\}$  for any two rows  $i$  and  $i'$  such that  $\{i, i'\} \in E(G)$ , that is,

$$\sum_{j=0}^f y^{d_{ij}-d_{i'j}} = F(y) \quad (y^v=1) \quad (2)$$

holds for any  $\{i, i'\} \in E(G)$ .

**Example 2.** (i) Let  $F$  be a cyclic graph of order 5 with a characteristic polynomial  $F(y)=1+y+y^4$  and  $G$  be a path of length 4. Then the following array is an  $(F, G)$ -difference array:

$$\begin{matrix} 0 & 0 & 0 \\ 0 & 1 & 4 \\ 0 & 0 & 0 \\ 0 & 1 & 4 \end{matrix}$$

(ii) Let  $F$  be  $K_5$  with a loop on each vertex and  $G$  be  $K_4$ , then the following array is an  $(F, G)$ -difference array:

$$\begin{matrix} 0 & 0 & 0 & 0 & 0 \\ 0 & 1 & 2 & 3 & 4 \\ 0 & 2 & 4 & 1 & 3 \\ 0 & 3 & 1 & 4 & 2 \end{matrix}$$

In the case when a cyclic graph  $F$  is the complete graph  $K_v$  with a loop on each vertex, a  $(\lambda F, K_k)$ -difference array is called a  $(v, k, \lambda)$  row difference scheme, which is useful to construct cyclic BIB designs (see Jimbo and Kuriki[7]).

If there is a mapping  $\psi$  from  $V(G)$  onto a set of  $n$  colors such that  $\psi(a) \neq \psi(b)$  for any  $\{a, b\} \in E(G)$ , then a graph  $G$  is said to be  $n$ -colorable.

**Lemma 3.** If  $G$  is 2-colorable then an  $(F, G)$ -difference array exists for any cyclic graph  $F$ .

**Proof.** We have the lemma by constructing an array such that the rows corresponding to the first color are all zero and

in the rows corresponding to the second color, every vertex  $p$  of  $F$  adjacent to the vertex 0 occurs  $f_p$  times, where  $F(y) = \sum f_p y^p$  is a characteristic polynomial of  $F$ .  $\square$

Let  $G$  be a simple graph of order  $k=p(G)$  with  $e=e(G)$  edges. Let  $G^*$  be a directed graph obtained from  $G$  by replacing each edge by two arcs, one directed each way, between the same vertices. A  $k \times 2e$  matrix  $A=(a_{ij})$  with elements from  $V(G)=\{0, 1, \dots, k-1\}$  is called a *graph balanced array* for  $G$ , if every arc of  $G^*$  occurs exactly once in the set of ordered pairs  $\{(a_{ij}, a_{i'j}) | j=1, 2, \dots, 2e\}$ , for any  $\{i, i'\} \in E(G)$ .

**Lemma 4.** A graph balanced array exists for any 2-colorable graph  $G$ .

An  $m \times N$  matrix  $A$  with entries from a set of  $s (\geq 2)$  elements is called an orthogonal array of size  $N$ ,  $m$  constraints,  $s$  levels, strength  $t$  and index  $\lambda$ , if any  $t \times N$  submatrix of  $A$  contains all possible  $t \times 1$  column vectors with the same frequency  $\lambda$ .

**Lemma 5.** If there exists an orthogonal array of size  $k^2$ ,  $k+1$  constraints,  $k$  levels, strength 2 and index 1, then a  $K_k$ -array exists.

**Proof.** Without loss of generality, we can assume that a  $(k+1) \times k^2$  orthogonal array  $A=(a_{ij})$  is standarized as follows:

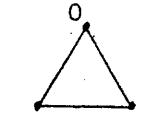
$a_{k+1, qk+r} = q$  for any  $0 \leq q \leq k-1$  and  $1 \leq r \leq k$ ,  
and

$a_{i, k(k-1)+j} = j-1$  for any  $1 \leq i \leq k$  and  $1 \leq j \leq k$ .

Then the submatrix  $\tilde{A} = (a_{ij})$  ( $i=1, \dots, k; j=1, \dots, k(k-1)$ ) is a  $K_k$ -array.  $\square$

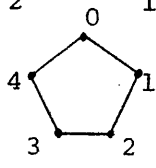
**Example 3.** The followings are graph balanced arrays for graph G's which are not 2-colorable and  $k \leq 5$  except  $K_4$  and  $K_5$ :

(i)



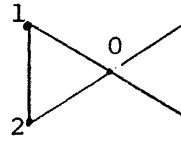
$$\begin{matrix} 0 & 1 & 2 & 0 & 1 & 2 \\ 1 & 2 & 0 & 2 & 0 & 1 \\ 2 & 0 & 1 & 1 & 2 & 0 \end{matrix}$$

(ii)



$$\begin{matrix} 0 & 1 & 2 & 3 & 4 & 0 & 1 & 2 & 3 & 4 \\ 1 & 2 & 3 & 4 & 0 & 4 & 0 & 1 & 2 & 3 \\ 2 & 3 & 4 & 0 & 1 & 3 & 4 & 0 & 1 & 2 \\ 3 & 4 & 0 & 1 & 2 & 2 & 3 & 4 & 0 & 1 \\ 4 & 0 & 1 & 2 & 3 & 1 & 2 & 3 & 4 & 0 \end{matrix}$$

(iii)



$$\begin{matrix} 0 & 1 & 1 & 2 & 0 & 2 & 0 & 3 & 3 & 4 & 0 & 4 \\ 1 & 0 & 2 & 1 & 2 & 0 & 3 & 0 & 4 & 3 & 4 & 0 \\ 2 & 2 & 0 & 0 & 1 & 1 & 4 & 4 & 0 & 0 & 3 & 3 \\ 1 & 0 & 2 & 1 & 2 & 0 & 3 & 0 & 4 & 3 & 4 & 0 \\ 2 & 2 & 0 & 0 & 1 & 1 & 4 & 4 & 0 & 0 & 3 & 3 \end{matrix}$$

But the existence problem of graph balanced arrays is not solved, in general.

The following theorem shows a way to construct an  $(F, G)$ -difference array by using a graph balanced array.

**Theorem 1.** Let  $G$  be a simple graph with a graph balanced array. If a cyclic graph  $F$  has a cyclic  $G$ -decomposition with no short orbit, then there exists an  $(F, G)$ -difference array.

**Proof.** Let  $F = \langle G_1 \rangle \oplus \dots \oplus \langle G_\alpha \rangle$  be a cyclic  $G$ -decomposition, where  $G_\ell$ 's are isomorphic to a graph  $G$  with  $k$  vertices and  $e$  edges. Then we have  $\bar{F}(y) = \Delta G_1(y) + \dots + \Delta G_\alpha(y)$ . Let  $\varphi_\ell: V(G) \rightarrow V(G_\ell)$  be isomorphisms. For a  $k \times 2e$   $G$ -array  $A = (a_{ij})$ , let  $D_\ell = (\varphi_\ell(a_{ij}))$  for  $\ell = 1, 2, \dots, \alpha$ . Then every arc of  $G_\ell^*$  occurs exactly once in the set of ordered pairs

$\{(\varphi_\ell(a_{ij}), \varphi_\ell(a_{i'j})) \mid j=1, 2, \dots, 2e\}$  for any  $\{i, i'\} \in E(G)$ , where  $G_\ell^*$  is a directed graph corresponding to a graph  $G$  as before. Hence we have

$$\sum_{j=1}^{2e} y^{\varphi_\ell(a_{ij}) - \varphi_\ell(a_{i'j})} = \Delta G_\ell(y).$$

Thus a  $k \times 2e\alpha$  array  $D = [D_1 \ D_2 \ \dots \ D_\alpha]$  is an  $(F, G)$ -difference array.  $\square$

### §3 A product theorem for cyclic decompositions.

In this section we consider a composition method (or a product method) of two cyclic  $G$ -decompositions.

The following lemma is obvious:

**Lemma 6.** If cyclic graphs  $H$  and  $F$  with  $V(H)=V(F)$  have cyclic  $G$ -decompositions, then  $H \oplus F$ ,  $\lambda H$  and  $1_v * H$  have cyclic  $G$ -decompositions, where the graph  $1_v$  is a cyclic graph of order  $v$  with a loop for each vertex and no other edges.

**Theorem 2.** Let  $G$  be a simple graph. Let  $H$  and  $F$  be cyclic graphs. If

(i)  $H$  has a cyclic  $G$ -decomposition with no short orbit, and if

(ii) there is an  $(F, G)$ -difference array, then the cyclic product  $H * F$  has a cyclic  $G$ -decomposition with no short orbit.

**Proof.** Let a  $k \times f$  array  $D = (d_{ij})$  be an  $(F, G)$ -difference array. Let  $H = \langle G_1 \rangle \oplus \dots \oplus \langle G_\alpha \rangle$  be a cyclic  $G$ -decomposition, where  $G_\ell$ 's are isomorphic to  $G$ . Then we have

$\bar{H}(x) = \Delta G_1(x) + \dots + \Delta G_\alpha(x)$ . Let  $\varphi_\ell: V(G) = \{0, 1, \dots, k-1\} \rightarrow V(G_\ell)$  be an isomorphism. For each base graph  $G_\ell$  of  $H$ , construct base graphs  $G_{\ell j}$  ( $j=1, 2, \dots, f$ ) of  $H*F$  which have vertex sets

$$V(G_{\ell j}) = \{\varphi_\ell(i) + v_1 d_{ij} \mid i \in V(G)\} \pmod{v_1 v_2}$$

and which is isomorphic to  $G$ , where  $v_1$  and  $v_2$  are the orders of  $H$  and  $F$ , respectively. Then we obtain by (2)

$$\begin{aligned} \sum_{j=1}^f \Delta G_{\ell j}(z) &= \sum_{j=1}^f \sum_{(i, i') \in E(G^*)} z^{\varphi_\ell(i) - \varphi_\ell(i') + v_1(d_{ij} - d_{i'j})} \\ &= \sum_{(i, i') \in E(G^*)} z^{\varphi_\ell(i) - \varphi_\ell(i')} \sum_{j=1}^f z^{v_1(d_{ij} - d_{i'j})} \\ &= \Delta G_\ell(z) \cdot F(z^{v_1}), \end{aligned}$$

where  $z^{v_1 v_2} = 1$ . Hence

$$\begin{aligned} \bar{H}(z) \cdot F(z^{v_1}) &= \sum_{\ell=1}^\alpha \Delta G_\ell(z) \cdot F(z^{v_1}) \\ &= \sum_{\ell=1}^\alpha \sum_{j=1}^f \Delta G_{\ell j}(z), \end{aligned}$$

which implies that  $H*F$  can be decomposed cyclically by base graphs  $G_{\ell j}$ 's. Hence the theorem is proved.  $\square$

By combining Theorems 1 and 2, we obtain the following corollary:

**Corollary 1.** If cyclic graphs  $H$  and  $F$  have cyclic  $G$ -decompositions with no short orbit, and if there is a graph balanced array for  $G$ , then a cyclic  $G$ -decomposition of  $H*F$  exists.

The following corollary is the direct consequence of Theorem 2 and Lemma 3.

**Corollary 2.** Let a simple graph  $G$  be 2-colorable. If  $H$  has a cyclic  $G$ -decomposition with no short orbit, then for any cyclic graph  $F$ ,  $H*F$  has a cyclic  $G$ -decomposition with no short orbit.

**Corollary 3.** Under the same assumption as Theorem 2  $H*(F \otimes \mathbf{1})$  has a cyclic  $G$ -decomposition with no short orbit, where  $V(F) = V(\mathbf{1})$ .

**Proof.** Note that  $H*(F \otimes \mathbf{1}) = (H*F) \oplus (\lambda H*\mathbf{1})$  and that  $p(G) \times 1$  zerovector is an  $(1, G)$ -difference array. Hence  $H*\mathbf{1}$  has a cyclic  $G$ -decomposition with no short orbit by Theorem 2. Thus the corollary is proved by Lemma 6.  $\square$

**Theorem 3.** Let  $G$  be an  $n$ -colorable simple graph of order  $k$ . If there are

- (i) a cyclic  $(v_1, k, \lambda_1)$   $G$ -design with no short orbit,
- (ii) a cyclic  $(v_2, k, \lambda_1 \lambda_2)$   $G$ -design with no short orbit

and

- (iii) a  $(v_2, n, \lambda_2)$  row difference scheme,

then there exists a cyclic  $(v_1 v_2, k, \lambda_1 \lambda_2)$   $G$ -design with no short orbit.

**Proof.** We have only to show that the graph  $\lambda_1 \lambda_2 K_{v_1 v_2}$  has a cyclic  $G$ -decomposition. Let  $A_1, \dots, A_n$  be  $n$  color classes of  $G$ . Let  $D = (d_{ij})$  be a  $(v_2, n, \lambda_2)$  row difference scheme. Construct a  $k \times \lambda_2 v_2$  array  $\tilde{D}$  as follows: Let every vertex of  $G$  correspond to a row of an array  $\tilde{D}$  arbitrarily. And make copies of the  $i$ -th row of  $D$  to the rows which correspond to vertices of  $A_i$  for every  $i$ . Then it is easily shown that the array  $\tilde{D}$  is a  $(\lambda_2(K_{v_2} \oplus 1_{v_2}), G)$ -difference array. From

the assumption (i),  $\lambda_1 K_{v_1}$  has a cyclic G-decomposition with no short orbit. Hence by Theorem 2, the cyclic graph  $\lambda_1 K_{v_1} * \lambda_2 (K_{v_2} \oplus 1_{v_2})$  has a cyclic G-decomposition with no short orbit. And  $1_{v_1} * \lambda_1 \lambda_2 K_{v_2}$  has a cyclic G-decomposition with no short orbit by Lemma 6. Finally, by (1) of Lemma 1  
 $\lambda_1 \lambda_2 K_{v_1 v_2} = \{ \lambda_1 K_{v_1} * \lambda_2 (K_{v_2} \oplus 1_{v_2}) \} \oplus (1_{v_1} * \lambda_1 \lambda_2 K_{v_2}),$   
we have the theorem.  $\square$

The following theorem can be shown from Corollary 1 by the similar argument to Theorem 3:

**Theorem 4.** Let G be a graph of order k with a graph balanced array. If there are

- (i) a cyclic  $(v_1, k, \lambda_1)$  G-design with no short orbit and
- (ii) a cyclic  $(v_2, k, \lambda_2)$  G-design with no short orbit,  
then a cyclic  $(v_1 v_2, k, \lambda_1 \lambda_2)$  G-design with no short orbit.

### References.

- [1] J.C. Bermond and D. Sotteau, Graph decompositions and G-designs, Proc. 5-th British Combinatorial Conf. (1975), 53-72.
- [2] H. Enomoto and K. Ushio,  $C_k$ -factorizations of the complete bipartite graphs (in Japanese), Kyoto Univ. Inst. Math. Kokyuuroku 587 (1986), 52-57.
- [3] P. Hell and A. Rosa, Graph decompositions, Handcuffed prisoners and balanced P-designs, Discrete Math. 2 (1972), 229-252.
- [4] J.D. Horton, Resolvable path designs, J. Combi. Theory (A) 39 (1985), 117-131.
- [5] C. Huang and A. Rosa, On the existence of Balanced bipartite designs, Utilitas Math. 4 (1973), 55-75.
- [6] C. Huang, Resolvable balanced bipartite designs, Discrete Math. 14 (1976), 319-335.
- [7] M. Jimbo and S. Kuriki, On a composition of cyclic 2-designs, Discrete Math. 46 (1983), 249-255.
- [8] A. Rosa and C. Huang, Another class of balanced graph designs: Balanced circuit designs, Discrete Math. 12 (1975), 269-293.
- [9] S. Yamamoto et al., On claw-decomposition of complete graphs and complete bigraphs, Hiroshima Math. J. 5 (1975), 33-42.

# 有限射影平面入門

中川 伸陽夫(近畿大・理工)

## §1 Introduction

二つの結合構造  $P = (\mathcal{P}, \mathcal{L}, I)$ ,  $A = (\mathcal{P}_1, \mathcal{L}_1, I_1)$  を定義する。 $\mathcal{P}$  と  $\mathcal{P}_1$  の元を点とよび“大文字”で、 $\mathcal{L}$  と  $\mathcal{L}_1$  の元を直線とよび“小文字”でかくことにする。また  $P \cap l$  ( $P \in l$ ) のとき 点  $P$  は直線  $l$  上にある、あるいは直線  $l$  は点  $P$  をとあるといふ。

$P = (\mathcal{P}, \mathcal{L}, I)$  が projective plane

$\xrightarrow{\text{def}}$  (P1) 二点  $P, Q$  ( $P \neq Q$ ) をとある直線は唯一存在する。

(P2) 二直線  $l, m$  ( $l \neq m$ ) 上に唯一の点が存在する。

(P3) 非退化な四点が存在する。

(四点  $A, B, C, D$  でこのうち 3 点も同一直線上にならないもの)

$A = (\mathcal{P}_1, \mathcal{L}_1, I_1)$  が affine plane  $\xrightarrow{\text{def}}$

(A1) : (P1) と同じ

二直線  $l$  と  $m$  が平行  $\xrightarrow{\text{def}}$   $l = m$  又は  $l, m$  上に普通の点が存在しない。 $(l \parallel m \iff)$

(A2)  $\forall l \in \mathcal{L}_1, \forall P \in \mathcal{P}_1$  に対し,  $\exists! m \in \mathcal{L}_1, s, t$   $m \parallel l, P \in m$ .

(a<sub>3</sub>) 非退化な3点が存在する。

(a<sub>1</sub>), (a<sub>2</sub>) の下で “ $\sim II$ ” (平行関係) は同値関係となる。直線の各平行類を pencil といい、異なるすべての pencil の集合を  $\Pi$  とする。

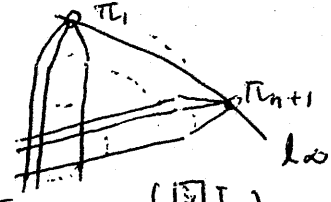
$|P| =$  において次のような自然数  $n$  が定まる。

実  $P$  をもつ直線の集合を  $(P)$ 、直線  $l$  をもつ点の集合を  $(l)$  とかくと、 $|P| = |(l)| = n+1$  ( $\forall P \in \mathcal{P}, \forall l \in \mathcal{L}$ )、 $|\mathcal{P}| = |\mathcal{L}| = n^2 + n + 1$ 。 $n$  を  $P$  の位数といふ。

affine plane  $A$  から自然に projective plane  $P(A)$  が構成される。(図 I 参照)

$P(A)$  の points :  $\mathcal{P}_1 \cup \Pi$

$P(A)$  の lines :  $\mathcal{L}_1 \cup \{\ell_\infty\}$



$P(A)$  の結合関係  $I_i^*$  は  $I_i$  の拡張で、(図 I)

$$\forall \pi \in \Pi, \forall l \in \mathcal{L}_1, l = 2+l, \pi \ni l \Leftrightarrow \pi I_i^* l$$

$$\pi I_i^* l_\infty (\forall \pi \in \Pi) \quad P E_i^* l_\infty (\forall P \in \mathcal{P}_1)$$

$P(A)$  の位数が  $n$  のとき、 $A$  の位数は  $n$  でいい。 $|\Pi| = |(A)| = n+1$  ( $\forall A \in \mathcal{P}_1$ )

$$|(a)| = |\pi| = n (\forall a \in \mathcal{L}_1, \forall \pi \in \Pi)$$

$$|\mathcal{P}_1| = n^2, |\mathcal{L}_1| = n^2 + n$$

逆に projective plane  $\mathbb{P} \times \mathbb{P}$  の各直線  $l$  から,  $\mathbb{P}$  の内部構造と affine plane  $\mathbb{P}^l$  が構成される。

$\mathbb{P}^l$  の points:  $\mathcal{Z} \setminus \{l\}$ ,  $\mathbb{P}^l$  の lines;  $\mathcal{L} \setminus \{l\}$  のように affine plane を考えることで, projective plane を考えることはほぼ同じでよい。projective plane の方が対称性は富むが, affine plane を考えの方のがやさしい場合もある。

(例1) 有限体  $K = GF(q)$

points:  $K \times K$ , lines:  $y = mx + t$  or  $x = s$  ( $\forall m, \forall t, \forall s \in K$ ) 包含関係 relation と L で desarguesian affine plane  $A(K)$  が得られる。

(例2)  $K = GF(q)$ ,  $V: K$  上 3次元 vector space

points:  $V$  の 1次元 subspaces

lines:  $V$  の 2次元 subspaces

包含関係 relation と desarguesian projective plane  $\mathbb{P}(K)$  が得られる。

(Def) 二つの projective plane  $\mathbb{P} = (\mathcal{Z}, \mathcal{L}, \mathcal{I})$ ,  $\mathbb{P}' = (\mathcal{Z}', \mathcal{L}', \mathcal{I}')$  は対応  $\mathcal{L}$ ,  $\mathbb{P}$  が  $\mathbb{P}'$  へ pts, (pts が  $\mathcal{L}$  ,

lines から lines への bijection  $\varphi$  が  
結合関係を保ってき、 $P$  から  $P'$  への 同型写像  
といふ。 $(P \models l \Leftrightarrow \varphi(P) \models \varphi(l))$

$P$  が  $P'$  への 同型 が 在るとき  $P \cong P'$  とかり  
て  $P$  と  $P'$  は 同型 であるといふ。

特に  $P = P'$  のとき、上の  $\varphi$  を  $P$  の collineation  
とする。affine plane  $A, A'$  に 対して、 $A$  が  $A'$  への 同型写像 及び  $A$  の collineation を 上と  
同様に 定義 する。

- $\varphi$  が  $A$  の collineation  $\Leftrightarrow \varphi$  が  $P(A)$  の  
collineation かつ  $\varphi(l_\infty) = l_\infty$
- $K = GF(q)$  のとき、 $P(A(K)) \cong P(K)$   
 $\left( P(K) \text{ の 任 意 の 直 線 } l \right) P(K) \models l \cong A(K)$   
 $\models$  対して

### §2 Translation plane

$A$  を affine plane とする。 $P + Q := (P \times Q$   
を と おる 唯一の line) ( $P \neq Q$  のとき)

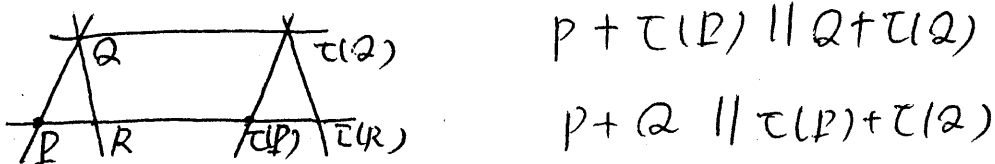
$\tau$  が  $A$  の collineation で 次の 条件 (i), (ii) を  
みたすとき  $\tau$  を  $A$  の translation といふ。

$$(i) \quad P + Q \parallel \tau(P) + \tau(Q) \quad (\forall P, \forall Q \in \mathcal{P}, \quad P \neq Q)$$

(i.e  $\tau$  は 平行性 を 保つ)

$$(ii) \tau(x) \neq x (\forall x \in \mathcal{Z}_1)$$

○ translation  $\tau$  は一点上の像により  
一意的に決まる。(図互参照)



$A$  を  $B$  に移す translation が存在すればこれを  $\tau_{AB}$  とおく。

○  $\{P + \tau(l) \mid \forall l \in \mathcal{Z}_1\}$  は  $A$  の 1 つの pencil  $\pi$  となる。且,  $\tau(l) = l \Leftrightarrow l \in \pi$ 。  
 $\pi$  を  $\tau$  の方向とする。

{translations of  $A$ } を  $T$  とする。  $T$  は写像の合成に同じく群となる。(A, translation)  
group

各 pencil  $\pi$  に対して

$\{\tau \in T \mid \tau$  の方向が  $\pi\}$  を  $T(\pi)$  とすれ,  
 $T(\pi) \triangleleft T$  且,  $T(\pi_1) \cap T(\pi_2) = \{I\}$  ( $\nexists \pi_1 \neq \pi_2$ )  
( $I = id_A$  と便宜上 translation 考えよ。)

(def)  $T$  が  $A$  の点集合  $\mathcal{Z}_1$  上可移に働くとき  
 $A$  を translation plane という。

(i.e.  $\forall A, \forall B \in \mathcal{Z}_1$  に対して  $\exists! \tau_{AB} \in T$ )

またこのとき  $P(A)$  を、無限遠直線  $l_\infty$  を translation

line とする projective translation plane

(1) は  $\tau$  は  $l_\infty$  の各点を固定し,  $\pi$  をある各直線を固定する。

•  $P$ : projective plane,  $l \neq m \in l, m \neq l$   
 $P$  の translation line  $\Rightarrow P \cong P(K)$  ( $K$   
( $P$  desarguesian) 有限体)

次に translation plane  $A$  を考えることは  
次のような対象 ( $\mathcal{A}$ ) を考えることと同じである  
これを説明する。

( $\mathcal{A}$ )  $k = GF(q)$ ,  $V$  は  $k^{2d} \times$  vector space

( $\mathcal{A}1$ )  $\mathcal{S} \subseteq \{V$  の  $d \times$  vector spaces $\}$  and  
 $|\mathcal{S}| \geq 3$

( $\mathcal{A}2$ )  $V = \bigcup_{X \in \mathcal{S}} X$  and  $X \cap Y = \{0\}$  if  $X \neq Y$   
 $(X, Y \in \mathcal{S})$

$\mathcal{S}$  を  $V$  の spread とする。  $d$  を spread  
( $V, \mathcal{S}$ ) または translation plane  $A(V, \mathcal{S})$   
の octon dimension とする。

$A$ : translation plane とする

(a3) より 非退化な三點  $A, B, C$  がある。

$$\tau_{AB} \neq I, \tau_{BC} \neq I, \tau_{CA} \neq I$$

$$A+B \in \pi_1, B+C \in \pi_2, C+A \in \pi_3 \text{ とする}$$

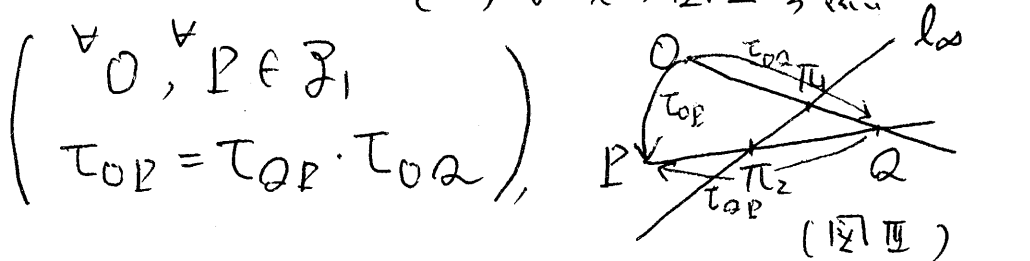
$\pi_1, \pi_2, \pi_3$  は互いに異なり,  $T(\pi_1) \neq 1$   
 $T(\pi_2) \neq 1, T(\pi_3) \neq 1$ . このことより

(V)  $T$ : 可換群

(VI)  $\mathcal{S} := \{T(\pi) \mid \pi \in \Pi\}$  で  $|\mathcal{S}| \geq 3$

(VII)  $T = \bigcup_{\pi \in \Pi} T(\pi)$

(VIII)  $T = T(\pi_1) \times T(\pi_2)$  if  $\pi_1 \neq \pi_2$   
 が成立する。 (=) は次の図Ⅲ参照  
 $(\pi_1, \pi_2 \in \Pi)$



$T$  も  $\mathcal{S}$  より新しい translation plane  $A'$   
 が自然に構成される。  $T$  を加法群と考える。

$A'$  の points ;  $T$  の各 elements

$A'$  の lines ;  $T(\pi) + a$  ( $\forall \pi \in \Pi, \forall a \in T$ )

結合関係と包含関係を考へる。

$T(\pi_1) \wedge T(\pi_2) = \{1\}$  ( $\text{if } \pi_1 \neq \pi_2$ ) に注意すれば  
 条件 (V), (VI), (VIII) より  $A'$  は  $(a_1), (a_2), (a_3)$  を含む。

$\forall b \in T$  は  $\exists x \in T$  で  $T_b(x) = x + b$  ( $\forall x \in T$ )

$T' = \{T_b \mid b \in T\}$  とおくと  $T'$  は  $A'$  の translation group で  $T'$  は  $T$  上可移に働き,  $T' \subseteq T$

(as group) が成り立つ。 $O$ を  $A$  の一点とする。

$A \xrightarrow{\psi} A'$ ,  $\psi(P) = T_{OP}$ ,  $P \in l \in \Pi$  の  
とき  $\psi(l) = T(\pi) + T_{OP}$  と定義する

$\psi(l)$  は  $l$  上の点  $P$  によらずに一意的に  
定まり,  $\psi$  は結合関係を保在する bijection  
となる (i.e.  $A \cong A'$ )

$A \rightarrow (T, \delta) \rightarrow A(T, \delta) \stackrel{\text{put}}{=} A' \rightarrow (T', \delta')$   
 $(T', \delta')$  は  $(T, \delta)$  と同一視できる。

故に translation plane  $A$  を考えること  
条件 (i), (ii), (iii), (iv) を満たす  $(T, \delta)$  を考えることは  
同じことである。

かつ  $T = V$ ,  $\delta = \{X, Y, Z, \dots\}$  とする。

$K(V, \delta) = \{f \in \text{End}_k(V) \mid f(X) \subseteq X (\forall X \in \delta)\}$   
とおくと,  $K(V, \delta)$  は 条件 (ii), (iii), (iv) を  
満たす体をなす。  $K = K(V, \delta)$  とおく。

$f(a) = f \cdot a$  ( $\forall f \in K$ ,  $\forall a \in V$ ) で  $V$  は  $K$ -  
vector space となる,  $X$  は  $k$ -subspace

となる。 $(\forall X \in \delta)$   $\forall X, Y \in \delta$  に対して

$V = X \oplus Z = Y \oplus Z$  なる  $Z \in \delta$  が存在する。

( $\because |\delta| \geq 3$ ) 故に  $X \cong V/Z \cong Y$  (as  $k$ -vector  
space)

$\dim(X) = d$  とおく ( $\forall X \in \mathcal{F}$ )

このとき  $\dim(V) = 2d$  となり 対象(★)  
が導かれまる。

- $d=1 \Leftrightarrow A(V, \mathcal{F})$  が desarguesian plane
- $\mathcal{F}$  は 0 をとする直線の集合,  $|K| = q$  とすると  
 $|\mathcal{F}| = q^d + 1$  となり,  $A(V, \mathcal{F})$  の位数は  
 $q^d$  (i.e translation plane の位数は常に  
素数巾となる。)

$X, Y \in \mathcal{F}, (X \neq Y)$  に対して  $V = X \oplus Y$

$X \cong_{\mathbb{K}} Y$  より  $V = X \oplus X$  (autov sum) として

よい。 $\mathcal{F}$  に  $GL(V)$  の適当な変換を施す  
ことにより,  $V(0) = \{(x, 0) \mid x \in X\}$ ,  $V(\infty) = \{(0, x) \mid x \in X\}$ ,  $V(1) = \{(x, x) \mid x \in X\}$  が  $\mathcal{F}$  の元となる  
よいことがわかる。また  $Z \in \mathcal{F}, Z \neq V(0)$ ,  
 $Z \neq V(\infty) \Rightarrow \exists \sigma \in GL(X) \text{ s.t. } Z = \{(x, x^\sigma) \mid x \in X\}$

### §3 Collineation group

$A = A(V, \mathcal{F})$ : translation plane で  
 $V = X \oplus X$  とする。

次の定理が成り立つ。

- $\sigma$  が  $A$  の collineation,  $\sigma(0) = 0$   
 $\Rightarrow \sigma \in \Gamma L(V)$
- $\sigma$  が  $A$  の collineation,  $\sigma(0) = 0$   
 $\Leftrightarrow \sigma \in \Gamma L(V)$  and  $\sigma(Y) \in \mathcal{S}$  for  
 $\forall Y \in \mathcal{S}$

$A$  が non-desarguesian であると  $6P$  の  
注意より  $\text{Aut}(A) = \text{Aut}(\text{IP}(A)) \stackrel{\text{put}}{=} H$

上の定理より  $H_0 \subseteq \Gamma L(V)$   
(stabilizer of 0)

$C(A) = H_0 \cap GL(V)$  が  $A$  の linear complement である。

$H/C(A) \cdot T \cong \text{Aut}(K)$  cyclic group ( $\because H = H_0 \cdot T$ )

$C(A) \cdot T / T \cong C(A)$ ,  $T$ : elementary abelian p-group ( $\exists p$ : 素数)

故に  $C(A)$  の構造がわかれば  $A$  の full collineation group  $H$  の構造がわかる。

$\lambda \in K(V, \mathcal{S})^*$  ( $\lambda \neq 1$ ) で  $d_\lambda(x, y)$   
 $= (\lambda(x), \lambda(y))$  ( $\forall x, y \in X$ ) と定義すると

$d_\lambda$  は  $A(V, \mathcal{S})$  の collineation である。

$\Delta(0, d_\lambda) \stackrel{\text{put}}{=} \{d_\lambda | \lambda \in K(V, \mathcal{S})^*\} \cong K(V, \mathcal{S})^*$

(as group) ( $d_\lambda \leftrightarrow \lambda$ ),  $\Delta(0, \lambda\omega) \triangleleft C(A)$

#### §4 これから の 課題

$C(A)$  が 可解群 の 場合 は Ostrom  
dimension  $d$  が いくつでも 大きい 例 が  
知られて いる。 (generalized André planes,  
semi-field planes) また 主に  $d=2$  に対して  
非常に多くの planes が 構成 されて いる。  
それ故 同型 により plane を 分類 する のは  
絶望 的 に 思われる。

$C(A)$  が 非可解群 の 場合 は 少し 見とお  
がたつ。  $C(A)$  の 非可解極小 正規部分群  
 $G$  と,  $G$  に 真に 含まれる  $C(A)$  の 極大正規  
部分群  $H$  を 考えよ。  $H$  が  $V \setminus \{0\}$  上 正則 に  
働くときは  $H = Z(G)$  となり  $G/Z(G)$  は  
同型な  $m$  個の 単純群 の 直積 となる。 ( $\exists m \in \mathbb{N}$ )  
 $G$  が  $V$  上 既約 の とき  $m \geq 2$  の 例 はない。  
以下  $m=1$  とする。  $G$  が  $V$  上 既約 で  $\alpha$  が 奇数  
な らば  $G/Z(G) \cong \mathrm{SU}(2^{2r+1})$ ,  $A_7$  or  $PSL(2, P^*)$   
また  $d=2$  で  $p \nmid \mathrm{char}(K(V, \alpha)) > 5$  な らば

$G/Z(G) \cong PSL(2, 5)$ ,  $PSL(2, 9)$  or  $PSL(2, p^2)$

Ostrom dimension  $d$  の 2-part が大きくなる

とき  $A(V, \delta)$  の扱いが難しくなる。

(課題1)  $G/Z(G)$  が前述の単純群の一つと同型なとき,  $A(V, \delta)$  を分類せよ。

(課題2)  $G$  が  $V$  上既約のとき,  $m \geq 2$  の plane の非存在を示すか, ような例を作れ。

(課題3)  $d$  の 2-part が大きいときも,  $G/Z(G)$  の可能性をしらべよ。

次に  $H$  が  $V \setminus \{0\}$  上非正則に働くときは,  
 $G$  は  $C(A)$  の正規部分群  $W$  を含み,  
 $W$  は elementary abelian  $w$ -群 または  
extra-special  $w$ -group に近い構造をもつ。

また  $W$  は  $V \setminus \{0\}$  上非正則に働き, 後者においては  
 $Z(W)$  が  $V \setminus \{0\}$  上正則に働く。 $(\exists w: \text{素数})$

(課題4)  $W$  を手がかりに  $V$  の partial spread  $\mathcal{S}_0$  をつくり,  $G$ -不变を保ちながら  $\mathcal{S}_0$  を  $V$  の spread  $\mathcal{S}$  にまで拡張せよ。(具体的群  $G$  を与えて)。

$C(A)$  が非可解群で,  $G$  が  $V$  上既約に働く

くとき,  $d=2$  に対しては分類できる望み  
がある。

$C(A)$  が非可解のとき,  $d \geq 5$  の例は  
知られていない。

### 文 献

- (1) E. Artin ; Geometric Algebra , Interscience 1957
- (2) H. Lüneburg ; Translation Planes , Springer-Verlag 1980
- (3) G. Mason ; Orthogonal geometries over  $GF(2)$  and actions of extra-special 2-groups in translation planes , Eur. J. Comb. (1983) 4, 347 - 357
- (4) G. Mason and T. G. Ostrom ; Some translation planes of order  $p^2$  and of extra-special type , Geom. Ded 17, 309 - 322 (1985)
- (5) T. G. Ostrom ; Lectures on finite translation planes . Univ. Bari , (1983)

可約非可解な自己同型群をもつ  
位数  $p^2$  の plane について。

大阪大学 教養部 平峰 豊

### 1. Introduction

$p$  を素数,  $V$  を位数  $p^{2r}$  の基本可換  $p$  群とする。  $V$  の  
位数  $p^r$  の部分群  $W_1, \dots, W_m$  ( $m = p^r + 1$ ) からなる集合  $\mathcal{S}$   
で、次の条件をみたすものを  $V$  上の spread という。

$$\mathcal{S} = \{W_1, \dots, W_m\}, |W_i| = p^r, m = p^r + 1$$

$$V^* (= V - \{0\}) = W_1^* \cup \dots \cup W_m^* \text{ (disj.)}$$

spread が与えられると、 $V$  の元を点、すべての剰余類  
 $v + W_i$  ( $v \in V, 1 \leq i \leq m$ ) を直線、結合関係を  
集合としての包含関係とすることにより位数  $p^r$  の  
affine plane が構成できる。([4] §1)

$V$  を素体  $K = GF(p)$  上のベクトル空間とみて  $\overline{G}$   
 $= GL(V)$  とおく。  $V$  上の spread  $\mathcal{S}'$  で  $\mathcal{S}' = \mathcal{S}^g$ ,  
 $g \in \overline{G}$  となるものは同型な affine plane を定める  
ので、同値であるといふ同一視する。  $\mathcal{S}$  を全体として  
不变にする  $\overline{G}$  の元全体  $C = C_{\mathcal{S}} (= \{g \in \overline{G} \mid \mathcal{S}^g = \mathcal{S}\})$   
は complement と呼ばれそれが spread も

“幾何的性質”が、ここによく反映される。 $N = C^{(\infty)}$   
 ( $C$ の交換子群列の最終項),  $\text{sol}(N) = N$  の最大可解  
 正規部分群とおくとき、現在までに見つかっている  
 spread については次のようになっている。

$$N/\text{sol}(N) \cong 1, PSL(2, u), Sz(2^v), A_5 \times A_5.$$

ここで (i)  $N \cong SL(2, 5) \times SL(2, 5)$ , (ii)  $\text{sol}(N) \cong$  位数  
 32 の extra special 2-群で  $N/\text{sol}(N) \cong$   
 $PSL(2, 5)$  を除外すれば、 $|\text{sol}(N)| \leq 2$ .

$N \neq 1$  である多くの実例では、 $V$  を射影空間と  
 みて、spread が 3 中の “曲面” と関連して幾何  
 的に意味をもつものが多い。spread について最もよく  
 研究され興味をもたれているのは次の問題である。

〈問題〉 (抽象) 群  $G_0$  を与えよ。このとき

$C_8 \geq G \cong G_0$  とする spread  $\mathcal{S}$  を決定せよ。

知られている spread のあるものは、この方法で  
 特徴付けられている。([4] §31, §49, [5])

$C_8$  の位数 2 の元の次の性質が、 $G_0$  の可能性  
 を強く制限する。

(Baer [4] 系 4.6)  $C_8$  の位数の 2 の元  $t$  は  
 $t = \begin{pmatrix} -1 & 0 \\ 0 & 1 \end{pmatrix}$  (ただし  $p > 2$ ) 又は  $|G_V(t)|^2 = |V|$ ,

ここで  $G_V(t) = \{v \in V \mid vt = v\}$

$r=1$  (i.e.  $|V|=p^2$ ) の時は spread の定義より  
spread は位数  $p$  の部分群全体からなるものに  
限る。対応する affine plane は位数  $p$  の "サルフ" 平面である。 $r=2$  の時 (i.e.  $|V|=p^2$ ) は、 $p \neq 2$  なら  
多くの同値でない spread があることが知られている。

$C_8 \geq G$ ,  $G^{(\infty)} = N$  とすると次が示される。

命題  $|V|=p^4$  で  $V$  が  $G$ -可約ならば

(1)  $N \cong SL(2, p)$

(2)  $5 \mid p^2 - 1$ かつ  $N \cong SL(2, 5)$  または

(3)  $5 \mid p^2 - 1$ かつ  $N \cong SL(2, 5) \times SL(2, 5)$

のいずれかが成りた。

( $V$  が  $G$ -既約の時については [5] 参照)

(1)(2)についてはいずれも無限系列が知られて  
いるが、(3)については 14 種の例が知られており  
である。([3]) 以下では、これらをすべて含む  
類を構成し、新しい spread 7 種を追加する。

## 2. $L$ -collineation 群と $R * p$ -plane

affine plane  $\pi$  の自己同型群で、任意の直線上

への global stabilizer が、この line 上 2重可移になつて、これを L-collineation 群 といふ。L-coll.群は translation 群を含むことが示されていて([2]) 従つて  $\pi$  は前節でのべたようなベクトル空間  $V$  上に実現されて、spread が対応する ([4])。この L-coll.群に関する最良の結果は Kallaker-Ostrom による [1] であると思う。また、Lüneburg は [3]において、L-coll.群をもつ位数  $p^2$  の affine plane の特別なものとして次のように  $R*p$ -plane を定義した。

$V, \mathcal{S}, C$  を前節と同じ記号とするととき、 $\mathcal{S}$  が  $R*p$  型の spread であるとは次の条件がみたされることをいう。

$$(1) |V| = p^4 \text{かつ } (C \cong) G \text{ が存在して}$$

$$\forall W \in \mathcal{S} \text{ に対して } \{g \in G \mid Wg = W\} \xrightarrow{\text{可移}} W^*$$

$$(2) G \cong^{\exists} X \times Y \quad X \cong Y \cong SL(2, 5) \quad \text{s.t.}$$

$$G_V(X), G_V(Y) \in \mathcal{S}$$

(3)  $G$  を  $\mathcal{S}$  上の置換群とみて  $W^X = W^Y \quad \forall W \in \mathcal{S}$

$R*p$  型の spread に対応する affine plane を  $R*p$ -plane という。

定理 (Lüneburg [3])

$R*p$ -plane は有限個で  $p \in \{11, 19, 29, 59\}$  である。

### 3. $SL(2,5) \times SL(2,5)$ を admit する新しい plane

この節では  $|V| = p^4$  ( $p \geq 7$ ),  $\mathcal{S}$  を  $V$  の spread,  $C_{\mathcal{S}} \geq G = X \times Y$ ,  $X \cong Y \cong SL(2,5)$  とする。

$G$  の中心には 3 個の位数 2 の元を含むが、これと Baer の定理を用いて次が示される。

補題  $V$  は  $G$ -可約で、適当な基底を選ぶことにより次のようになります：

$$V = W \oplus W \quad GL(W) \geq^{\exists} H \cong SL(2,5)$$

$$X = \left\{ \begin{pmatrix} h_1 & 0 \\ 0 & e \end{pmatrix} \mid h_1 \in H \right\}, \quad Y = \left\{ \begin{pmatrix} e & 0 \\ 0 & h_2 \end{pmatrix} \mid h_2 \in H \right\}, \quad e = \begin{pmatrix} 1 & 0 \\ 0 & 1 \end{pmatrix},$$

$$\{(0, y) \in W \oplus W \mid y \in W\} (= L(\infty) \text{ と } \prec) \in \mathcal{S}$$

$$\{(x, 0) \in W \oplus W \mid x \in W\} (= L(0) \text{ と } \prec) \in \mathcal{S}$$

一方、 $\mathcal{S}$  の  $L(\infty), L(0)$  以外の元は 適当な  $m \in GL(W)$  を用いて  $L(m) = \{(x, xm) \mid x \in W\}$  の形にかけることより spread の性質より分かる。([4] §2)

$$\Sigma = \{m \in GL(W) \mid L(m) \in \mathcal{S}\} \cup \{0\} \text{ を spread set という。}$$

補題  $L(m)^G = \bigcup_{h, h' \in H} L(hmh')$  ( $= L(HmH)$  と書く)

$$\text{とかく } |L(m)^G| = 120n, \quad n = |H : H \cap H^{m^{-1}}| \in \{1, 5,$$

$6, 10, 12, 20, 30, 60\}$  とかく  $\Sigma - \{0\}$  は、両側

剰余類  $HmH$  ( $m \in GL(W)$ ) のいくつかの和集合である。

## $R_n * p$ 型 spread の定義

$\mathcal{S}$  が  $R_n * p$  型 であるとは次がみたされることをいう。

$$(*) \exists L(m_0) \in \mathcal{S} \quad (m_0 \neq 0), |L(m_0)^G| = 120n$$

$$L(m)^X = L(m)^Y \quad \forall L(m) \in \mathcal{S} - L(m_0)^G$$

補題  $L(m)^X = L(m)^Y \iff Hm = mH$

このとき  $Hm$  は scalar 行列を含む。

この補題より Lüneburg の定義した  $R * p$  型 spread は  $R_1 * p$  型 spread であることが分かる。また上記の 2 つの補題と spread set の基本的性質  $\sum \exists m, m', m \neq m' \Rightarrow \det(m - m') \neq 0$  ([4] §2) を用いて、次が証明される。

定理  $R_n * p$  型 spread は  $p \leq 89$  であり、従って有限個存在し、 $R * p$  型 spread 14 個をすべて含む。

$R_n * p$  型 spread を具体的に書きあげるためにハソコンを用いた。この結果、今までに知られていない 7 種の spread が新たにみつかった。 $p$  の値は実際には  $p \leq 59$  であることも分かった。

(新しいものは  $(p, n) = (31, 5)$  のとき 4 種  $(59, 5)$ ,  $(59, 6)$ ,  $(59, 12)$  のとき各 1 種)

今後の課題として次の二点が残った。

- (1)  $R_{n+p}$  型 spread 21 個の  $PG(3, p)$  への  
それらの幾何的意味は何か?
- (2)  $SL(2, 5) \times SL(2, 5)$  を admit する spread の  
無限系列はありますか?
- (3)  $SL(2, 5) \times SL(2, 5)$  を admit する  $V$  上の  
spread の一般的な性質を調べよ。

### 文献

- [1] M.J. Kallaher and T.G. Ostrom: Collineation groups irreducible on the components of a translation plane, Geom. Dedicata 9 (1980), 153-194.
- [2] H. Lüneburg: Affine Ebenen, in denen der Stabilisator jeder Geraden zweifach transitiv ist, Arch. Math. 24 (1973), 663-669.
- [3] H. Lüneburg: Über einige merkwürdige Translationsebenen, Geom. Dedicata 3 (1974), 263-288.
- [4] H. Lüneburg: Translation Planes, Springer-Verlag, Berlin-Heidelberg-New York, 1980.
- [5] T.G. Ostrom: Lectures on finite translation planes, Confer. Sem. Mat. Univ. Bari No. 191 (1983), 1-29.

表現次数が T 度  $P^S$  で割り切れるような  $G_n$  の既約指標の個数を表す母関数について

東大理 中村博昭

### §1. 諸定義

素数  $P$  を一つ固定し,  $\nu_p$  を整数環  $\mathbb{Z}$  の  $P$  進指數付値 (即ち, 整数  $n$  に対して,  $\nu_p(n)$  で  $n$  が  $P$  で割りきれる回数の最大値 ( $\geq 0$ ) を表す) とする。

Def. (McKay number)

有限群  $G$  の複素既約指標の全体を  $\text{Irr}(G)$  で表し,

$k$  を 0 を含む正自然数とする時, McKay-number

$m_p(k, G)$  を次のように定義する。

$$m_p(k, G) := \# \{ \chi \in \text{Irr}(G) \mid \nu_p(\chi(1)) = k \}$$

目標は  $G = G_n$  ( $n$  次対称群) の時に  $m_p(k, G_n)$  を  $k$  と  $n$  に関する 2 重数列として母関数の形に記述することである。  $G = A_n$  (交代群),  $W(B_n), W(C_n)$  (古典 Weyl 群) の時も同様な母関数が得られたが, ここでは主に対称群の場合を扱うことにする。

Def. (Macdonald number)

有限群  $G$  の共役類全体の集合を  $\text{Class}(G)$  で表し,

$\rho$ ,  $v_p$  を上と同様とする時、

$$\mu_p(\rho, G) := \#\{C \in \text{Class}(G) \mid v_p(|C|) = \rho\}$$

なる数をここでは Macdonald number と呼ぶことにする。

## §2. 動機

この問題を考えるようにな、たき、かずは大学のセミナーの折に Macdonald の本 [1] の中の次のような命題にさしかか、たことである。

命題1.  $n = a_0 + a_1 p + a_2 p^2 + \dots + a_m p^m$  ( $0 \leq a_i < p$ )

を自然数  $n$  の  $p$  進展開とする時、次の等式が成立する。

$$\mu_p(0, G_n) = P(a_0) \cdot (a_1 + 1)(a_2 + 1) \dots (a_m + 1).$$

ここで  $P(a_0)$  は  $a_0$  の分割数を表す。特に  $p = 2$  の時は、 $\mu_2(0, G_n)$  は 2 の巾乗の形をしていく。

これに関連して 岩堀長慶教授は同じことを character degree でや、たらどうなるかという問題を出された。私は計算機を用いて幾つかの実例にあたり  $p = 2$  の場合に  $m_2(0, G_n)$  の公式を得たが 有木進氏は一般の  $p$  で次のような公式を出された。

命題2.  $n = a_0 + a_1 p + \dots + a_m p^m$  ( $0 \leq a_i < p$ ) を自

然数  $n$  の  $P$  且展開とする時、次の等式が成り立つ。

$$m_p(0, G_n) = C(1, a_0) \cdot C(p, a_1) \cdot C(p^2, a_2) \cdots \cdots C(p^m, a_m)$$

但し  $C(p^k, a)$  は次の無限積の展開係数として定まる数とする；  $\sum_{n=0}^{\infty} C(p^k, n) x^n = \prod_{n=1}^{\infty} (1 - x^n)^{-p^k}$ .

この命題は 実は Macdonald 自自身が 1971 年の論文 [3] の中で得てあるのであるが、その当時は知る由もなかた。こうして  $P$  と互に素な場合は完全に解決されたが、指導教官はさらに  $P$  で何回か割れる場合、すなはち  $m_p(k, G_n)$  はうまく記述されるだらうかという問題を出された。

### §3. ヤング図形の Affine type, Projective type

よく知られているように  $\text{Irr}(G_n)$  は、 $n$  個の箱からなるヤング図形で parameterize されていて、ヤング図形  $\lambda$  に対応する  $G_n$  の既約指標を  $\chi_\lambda$  とかくことにすれば、その表現次数  $\chi_\lambda(1)$  は次の hook-formula で与えられる。（文献 [5] 参照）

命題 3.  $\chi_\lambda \in \text{Irr}(G_n)$  に対して.

$$\chi_\lambda(1) = \frac{n!}{h_\lambda}$$

但し  $h_\lambda$  はヤング図形入の各箱の hook の長さの積。

(例)  $\lambda = (3, 3, 2)$ ,  $\chi_\lambda \in \text{Irr}(G_p)$

入の各箱に hook の長さを書き込むと

右図のようになる

5	4	2
4	3	1
2	1	

$$\therefore \chi_\lambda(1) = \frac{8!}{5 \cdot 4 \cdot 2 \cdot 4 \cdot 3 \cdot 1 \cdot 2 \cdot 1} = 42$$

この hook-formula を出発点とすれば、 $\chi_\lambda(1)$  が素数  $p$  で何回割れるかを調べる為には、 $\nu_p(h_\lambda)$  を調べることになる。ヤング図形入の形から組合せ論的に  $\nu_p(h_\lambda)$  についての情報を得るために次の定義をする。

Def. (Affine type of  $\lambda$ )

素数  $p$  とヤング図形入が与えられたとき、各項が  $p$  の巾乘の形をした自然数の有限非増加列  $A(p, \lambda) = (p^{e_1}, p^{e_2}, \dots, p^{e_m})$  を次のように定め。入の  $p$  に関する Affine type と呼ぶ。

(i) 入の沿岸道路で長さが  $p$  の巾乘であるもののうち最大のものの長さを  $p^{e_1}$  とし、その沿岸道路を取りはずす。

(ii)  $p^{e_1}$  まで定まるとし、残ったヤング図形から  $p^{e_1}$  を越えない  $p$  の巾乘の長さの沿岸道路のうち最大の

ものの長さを  $p^{e_{i+1}}$  とし、その沿岸道路をとりはずす。

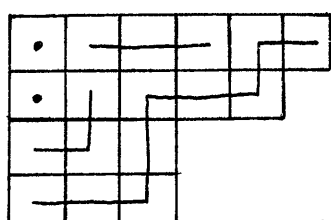
(iii) 以上の操作をヤシグ图形が空になるまで続ける。

Remark.  $\lambda$  の Affine type 中に  $p^k$  が  $a_k$  回重複してある  
われるとき、 $A(p, \lambda) = \langle a_0 + a_1 p + a_2 p^2 + \dots + a_\ell p^\ell \rangle$  と形式  
的に書くことにする。ヤシグ图形の Core, Quotients の理  
論（文献[6]2.7節）によれば  $a_k$  は  $\lambda$  の  $p^{k+1}$ -Core の  $p^k$ -  
weight と一致しているので、 $A(p, \lambda)$  は沿岸道路の取  
りはずしが一意でなくとも一意に定まる。

Def. (Projective type of  $\lambda$ )

素数  $p$  とヤシグ图形  $\lambda$  が与えられると Affine type  
 $A(p, \lambda)$  が定まるが、 $A(p, \lambda)$  の各項  $p^e$  を  $(p^e - 1)/(p - 1)$   
で置きかえたものを  $\lambda$  の  $p$  に関する Projective type  
と呼び  $P(p, \lambda)$  とかくことにする。

(例1)  $p = 3, n = 17, \lambda = (6, 5, 3, 3)$  の場合

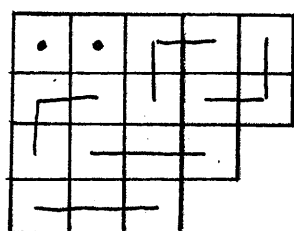


長さ9の沿岸道路1本  $\rightarrow$ とりはずす  
長さ3の沿岸道路2本  $\rightarrow$ とりはずす  
長さ1の沿岸道路2本  $\rightarrow$ とりはずす  $\rightarrow$  空

$$\therefore A(3, \lambda) = (9, 3, 3, 1, 1) = \langle 2 \cdot 1 + 2 \cdot 3 + 1 \cdot 3^2 \rangle$$

$$P(3, \lambda) = (4, 1, 1, 0, 0)$$

(例2)  $p=3, n=17, \lambda=(5,5,4,3)$  の場合



長さ9の沿岸道路はとれない。

長さ3の沿岸道路5本 → とりはすす

長さ1の沿岸道路2本 → とりはすす → 空

$$\therefore A(3, \lambda) = (3, 3, 3, 3, 1, 1) = \langle 2 \cdot 1 + 5 \cdot 3 \rangle$$

$$P(3, \lambda) = (1, 1, 1, 1, 0, 0)$$

命題4. ヤング図形入の hook-lengths の積を  $h_\lambda$  とする  
と,  $v_p(h_\lambda)$  は  $P(p, \lambda)$  の成分の和に等しい。

#### §4. $M_p(k, G_n)$ の記述

前 § の命題 4 より  $v_p(h_\lambda)$  は ヤング図形入の Affine type  $/A(p, \lambda)$  から決まることがわかる。たので、次に考えることは、同じ Affine type をもつ ヤング図形がどれだけあるかということである。

命題5. Affine type が  $\langle b_0 + b_1 p + b_2 p^2 + \dots + b_\ell p^\ell \rangle$  となるようなヤング図形の個数は。

$$\tilde{C}(1, b_0) \cdot \tilde{C}(p, b_1) \cdot \tilde{C}(p^2, b_2) \cdots \cdot \tilde{C}(p^\ell, b_\ell)$$

と等しい。但し  $\tilde{C}(p^k, a)$  は次の無限積の展開係数として定まる数とする;  $\sum_{n=0}^{\infty} \tilde{C}(p^k, n) x^n = \prod_{n=1}^{\infty} (1 - x^{np})^{p^{k+1}} (1 - x^n)^{-p^k}$ .

従って以上までで  $m_p(k, G_n)$  は和が  $n$  となるようなすべての Affine type のうち、その Projective type の和が  $\frac{1}{p}(n!)$  - たとなるようなものについて命題 5 のような積を合計すれば得られることになる。このことは実は J. B. Olsson が 1976 年の論文の中で実質的に述べていることなのである。たゞ、やはりそのことはすと後になるまで知らなかった。そして今年の夏、セミナーの先輩方がアメリカに行かれ、Macdonald 先生や Olsson 先生と会って話し合われた結果、私の考えたことの大部分はすでに過去の論文に出ているということが判明したのである。しかしながら次に述べる  $m_p(k, G_n)$  の母関数についてはまだ残っているようなので、それを発表するのが今回の目的である。

### 定理

$$\sum_{k=0}^{\infty} \sum_{n=0}^{\infty} m_p(k, G_n) x^{p(n!) - k} y^n = \prod_{k=0}^{\infty} \prod_{n=1}^{\infty} \left( \frac{1 - (x^{p+p^2+\dots+p^{k-1}} y^{p^k})^n}{1 - (x^{1+p+\dots+p^{k-1}} y^{p^k})^n} \right)^{p^k}$$

但し  $m_p(k, G_0) = \begin{cases} 1 & k=0 \\ 0 & k>0 \end{cases}$

$$x^{p+p^2+\dots+p^{k-1}} = 0 \quad (k=0) ; \quad 1+p+\dots+p^{k-1} = 0 \quad (k=0) \\ " \qquad \qquad \qquad = 1 \quad (k=1)$$

## §5. $M_p(k, G_n)$ の母関数

character degree の方ばかり考えていて共役類の方はす、かり忘れていたのであるが、松山に来てから考えてみるところの方は母関数だけなら意外と簡単であることがわかつたのでつけて書いておく。

### 定理

$$\sum_{k=0}^{\infty} \sum_{n=0}^{\infty} M_p(k, G_n) x^{v_p(n!) - k} y^n = \prod_{k=0}^{\infty} \prod_{n=1}^{\infty} \frac{1 - x^{p + p^2 + \dots + p^k + v_p(n)p^{k+1}} y^{np^{k+1}}}{1 - x^{1+p+\dots+p^{k-1} + v_p(n)p^k} y^{np^k}}$$

どちらの定理も  $x=1$  とすると普通の分割関数  $\prod_{n=1}^{\infty} (1-y^n)^{-1}$  に戻ってしまう所を注目された。

### [文献]

[1] I.G. Macdonald "Symmetric Functions and Hall Polynomials" Oxford 1979

[2] J. McKay "Irreducible Representations of Odd Degree"  
J. of Algebra 20, 416-418 (1972)

[3] I.G. Macdonald "On the degrees of the Irreducible Representations of Symmetric Groups" Bull. London. Math. Soc. 3 (1971) 189-192

[4] J.B. Olsson "McKay Numbers and Heights of Characters"

MATH. SCAND. 38 (1976), 25-42

[5] 岩堀長慶 『対称群と一般線形群の表現論』 岩波書店

[6] G.James, A.Kerber "The Representation Theory of the Symmetric Group" Addison-Wesley 1981

## Distance-Regular Digraphs. II

東大 理 情報科学 榎本彦衛

岡山大学における「代数的組み合せ論」の研究集会（1983年）以後の'距離正則有向グラフで内周4のものの存在'に関する研究の進展について報告する。

以下、有向グラフのみを考えるので、有向グラフのことをたんにグラフということにする。最初に、記法と[2]における主要結果を復習しておく。

グラフ  $G$  の2頂点  $x, y$  に対し、

$d_G(x, y) := x$  から  $y$  への（有向）通路の長さの最小値と定義する。ただし、 $x = y$  の時には  $d_G(x, x) := 0$  と定義する。（以下、どのグラフを考えているかが明らかな時は添字の  $G$  を省略する。）グラフ  $G$  の直径および内周を

$$d(G) := \max \{d(x, y) \mid x, y \in V(G)\}$$

$$g(G) := G$$
 における閉路の長さの最小値

と定義する。また、

$$\Gamma_i(x) := \{y \in V(G) \mid d(x, y) = i\},$$

特に、

$$\Gamma(x) := \Gamma_1(x) = \{y \in V(G) \mid x \text{ と } y \text{ は隣接している}\}$$

とおく。

**定義 1.**  $|\Gamma_i(x) \cap \Gamma(y)|$  が  $i$  と  $d(x,y)$  だけで決まるような連結グラフは距離正則 (distance-regular) と呼ばれる。

以下、 $G$  を距離正則グラフ、 $d(x,y) = j$  のときの  $|\Gamma_i(x) \cap \Gamma(y)|$  の値を  $s_{ij}$  と書くことにする。

**定理 2.** (1)  $d(G) = g(G)$  または  $d(G) = g(G) - 1$   
(2)  $0 < t < g(G)$  のとき、 $d(x,y) = t$  ならば、 $d(y,x) = g(G) - t$   
となる。  
(3)  $d(G) = g(G) - 1$  のとき、任意の集合  $M$  に対し ( $|M| \geq 2$ )

$$V(H) := V(G) \times M$$

$$E(H) := \{ ((x,a),(y,b)) \mid y \in \Gamma_G(x), a,b \in M \}$$

と定義すると、 $H$  は距離正則で、 $d(H) = g(H)$  となる。

(4)  $d(H) = g(H)$  の距離正則グラフ  $H$  はすべて (3) の方法により構成される。

以下、 $d(G) = g(G) - 1$  とし、 $g := g(G)$ 、 $0^* := 0$ 、 $t^* := g - t$  ( $0 < t < g$ ) とおく。定理 2 (2) より  $d(x,y)^* = d(y,x)$  となることが

わかる。  $d(x,y) = k$  のときの

$$\#\{z \mid d(x,y) = i, d(z,y) = j\}$$

を  $p_{jk}^i$  とおき、

$$B_i = (p_{jk}^i) \quad 0 \leq j, k \leq d$$

を intersection matrix と呼ぶ。  $\Gamma_i$  に関する隣接行列を  $A_i$  とおくと、

$$A_i A_j = \sum_{k=0}^d p_{jk}^i A_k$$

が成り立つ。特に、

$$p_{ij}^1 = s_i * s_j *$$

より

$$A_1 A_i = \sum_{j=0}^{i+1} s_i * s_j * A_j \quad (0 \leq i \leq d-1)$$

となる。

以下、 $g=4$  の場合を考える。 $A_1$  の固有値を  $\theta_1, \theta_2, \bar{\theta}_1$ 、その重複度を  $m_1, m_2, m_1$ 、

$$B_1 = \begin{bmatrix} 0 & 1 & 0 & 0 \\ 0 & a & e & 0 \\ 0 & f & d & b \\ k & a & c & a \end{bmatrix}$$

とすると、2つのパラメータ  $\beta$  と  $q$  を使って

$$k = 2\beta^2 q - \beta^2 + \beta q - q$$

$$a = 2\beta q - \beta - q$$

$$b = \beta(2\beta q - \beta - q + 1)$$

$$c = (\beta - 1)q$$

$$d = \beta(2\beta q - \beta - q)$$

$$e = \beta q$$

$$f = (\beta - 1)(2\beta q - \beta - q + 1)$$

$$\theta_1 + \overline{\theta_1} = a$$

$$\theta_1 \overline{\theta_1} = qb$$

$$\theta_2 = d - b = -\beta$$

$$m_1 = \frac{(n-1)\beta - k}{2\beta + a}$$

$$m_2 = \frac{(n-1)a + 2k}{2\beta + a}$$

と表わせることはわかっていたが、2種類の1-パラメータ系列以外には可能性がないことが次のようにしてわかる([3])。

$\beta = 1$  とすると、 $k = 2q - 1$ ,  $a = q - 1$  となる。これは、 $\Gamma(x)$ が regular tournament であるということを意味する。 $k \geq 3$  とすると内周が3になってしまないので、 $k = 1$ 、すなわち、Gは4角形である。

以下、 $\beta \geq 2$  の場合を考える。 $\beta$ と $q$ の最大公約数を $d$ とお

き、 $\gamma := \beta/d$ 、 $\lambda := q/d$ 、 $\delta := 2\beta + a$  とおくと、 $m_1$  の整数性より

$$6\beta^4 + 3\beta^3 - 3\beta^2 - \frac{\beta^4 - \beta^3}{q} \equiv 0 \pmod{\delta}$$

となり、

$$2d(2\lambda - \gamma) \equiv 0 \pmod{2d\gamma\lambda + \gamma - \lambda} \quad (*)$$

となることがわかる。

Case 1  $2\lambda = \gamma$

$(\lambda, \gamma) = 1$  より  $\lambda = 1$ ,  $\gamma = 2$  のみ可能。すなわち、 $\beta = 2q$  となる。

Case 2  $2\lambda > \gamma$

$\lambda = 1$ ,  $\gamma = 1$  しか可能性がないことを示す。

(\*) より

$$2d(2\lambda - \gamma) \geq 2d\gamma\lambda + \gamma - \lambda$$

すなわち

$$2d(\gamma - 2)(\lambda + 1) + 4d + \gamma - \lambda \leq 0$$

となることがわかる。

$\gamma \geq 3$  とすると、

$$\text{左辺} \geq 2d(\lambda + 1) + 4d + \gamma - \lambda > 0$$

となり矛盾。

また、 $\gamma = 2$  とすると、 $\lambda \geq 4d + 2$  となるが、 $(\lambda, \gamma) = 1$  より  $\lambda$

$> 4d + 2$  となることがわかる。そこで (\*) に戻って考えると、

$$2d(2\lambda - 2) \equiv \lambda - 4d - 2 \equiv 0 \pmod{4d\lambda + 2 - \lambda}$$

となり、

$$\lambda - 4d - 2 \geq 4d\lambda + 2 - \lambda$$

すなわち、

$$4d\lambda + 4d - 2\lambda + 4 = (2d - 1)(2\lambda + 2) + 6 \leq 0$$

となるが、これは矛盾。

従って、 $\gamma = 1$  としてよい。再び (\*) より

$$2d(2\lambda - 1) \equiv 2\lambda - 2d - 2 \equiv 0 \pmod{2d\lambda + 1 - \lambda}$$

となる。 $\lambda > d + 1$  とすると

$$2\lambda - 2d - 2 \geq 2d\lambda + 1 - \lambda$$

より  $d = 1$  となるが、 $\beta \geq 2$  に反する。 $\lambda = d + 1$  とすると、 $\beta = d$ 、

$q = d(d + 1)$  となるが、 $q \mid \beta^4 - \beta^3$  より  $d = 1$ 、すなわち  $\beta = 1$  と

なる。 $\lambda < d + 1$  の場合は

$$2d + 2 - 2\lambda \geq 2d\lambda + 1 - \lambda$$

より

$$(2d + 1)(\lambda - 1) \leq 0$$

となり、 $\lambda = 1$  となることがわかった。

Case 3  $2\lambda < \gamma$

(\*) より

$$2d\gamma\lambda + \gamma - \lambda \leq 2d(\gamma - 2\lambda)$$

となる。ところが

$$\text{左辺} > 2d\gamma\lambda \geq 2d\gamma > \text{右辺}$$

なので、この場合は起こらない。

$\beta = 2q$  となる例は知られていない。（ $\beta = 2, q = 1$  の場合は存在しないことが証明されている。） $\beta = q = 1$  ならば4角形になる。 $\beta = q = 2$  の例が [3] で構成されたが、もっと一般に  $\beta = q = 2^t$  の例が [4] で構成された。その構成法を以下に示す。

$$m := 2t + 1$$

$$F := GF(2^m)$$

とおき、

$$F^* = \langle \xi \rangle$$

とする。その最小多項式を  $g(X)$  とすると、 $Z_4$  上の多項式  $f(X)$  で

$$f(X) \equiv g(X) \pmod{2}$$

$$f(X) \mid X^{2^m-1} - 1$$

を満たすものが存在する。そこで、 $f(X) = 0$  の根  $\xi$  を  $Z_4$  に添加してできる環を  $R$  とおく：

$$R := Z_4[\xi] = Z_4[X]/(f(X))$$

$R$  から  $F$  への自然な準同型写像を  $\hat{\phantom{x}}$  とすると、任意の多項式  $\varphi(X)$  に

対し

$$\hat{\varphi}(\xi) \equiv \varphi(\xi) \pmod{2}$$

が成り立つ。

$$E := 2R = \{ \alpha \in R \mid 2\alpha = 0 \}$$

$$U := R - E = \{ \alpha \in R \mid \alpha \text{は可逆元} \}$$

$$S := \{ \alpha^2 \mid \alpha \in U \}$$

$$= \{ \xi^i \mid 0 \leq i \leq 2^m - 2 \}$$

$$T := 1 + E = \{ \alpha \mid \alpha^2 = 1 \}$$

とおくと、

$$U = ST, \quad S \cap T = \{1\}$$

が成り立つ。そこで

$$[\hat{\varphi}(\alpha)] := (1 + 2\alpha)S \quad (\alpha \in R)$$

$$[e] := E - \{0\}$$

$$[\infty] := \{0\}$$

$$\widetilde{F} := F \cup \{e, \infty\}$$

とおくと、

$$\{ [x] \mid x \in \widetilde{F} \}$$

は、 $R$  の  $S$ -軌道への分解を与える。従って、 $\gamma \in [z]$  のとき

$$n(x, y; z) := \# \{ (\alpha, \beta) \in [x] \times [y] \mid \alpha + \beta = \gamma \}$$

とおき、 $[x]$ に関する隣接行列を $A_x$ とすると、

$$A_x A_y = \sum_z n(x,y;z) A_z$$

と書ける。 $n(x,y;z)$ の具体的な値は次のようになる。

$$n(\infty, y; z) = \begin{cases} 0 & y \neq z \\ 1 & y = z \end{cases}$$

$$n(e, e; z) = \begin{cases} 2^m - 1 & z = \infty \\ 2^m - 2 & z = e \\ 0 & z \neq e, \infty \end{cases}$$

以下、 $y \in F$ とする。

$$n(e, y; z) = \begin{cases} 0 & z = y, e, \infty \\ 1 & z \in F - \{y\} \end{cases}$$

以下、 $x, y \in F$ とする。

$$n(x, y; \infty) = \begin{cases} 2^m - 1 & y = x + 1 \\ 0 & y \neq x + 1 \end{cases}$$

$$n(x, y; e) = \begin{cases} 0 & y = x + 1 \\ 1 & y \neq x + 1 \end{cases}$$

以下、 $x, z \in F$ とする。

$$n(x, x; z) = \begin{cases} 0 & z = x \\ 2 & z \neq x, \text{tr } z = \text{tr } x \\ 1 & \text{それ以外} \end{cases}$$

$$n(x, x+1; z) = \begin{cases} 0 & z = x, x + 1 \\ 1 & z \neq x, x + 1 \end{cases}$$

以下、 $x, y, z \in F, y \neq x, x + 1$ とする。

$$n(x, y; z) = \begin{cases} 1 & z = x, y \\ 2 & z \neq x, y, \text{tr}(x+z)(y+z) = 0 \\ 0 & \text{それ以外} \end{cases}$$

次に、 $F$  を  $GF(2)$  上のベクトル空間と考え、 $a, b \in F$  に対し、

$$\langle a, b \rangle := \text{tr } ab$$

と定義すると、 $\langle \cdot, \cdot \rangle$  は nondegenerate な内積になる。 $H$  をこの内積に関する maximal totally isotropic subspace とし、

$$A_1 := \sum_{a \in H} A_a$$

とおくと、

$$A_1^T = \sum_{a \in H} A_{1+a}$$

となる。さらに

$$A_2 := \sum_{\substack{a \in F \\ a \notin H \\ a+1 \notin H}} A_a$$

とおくと、

$$A_1^2 = 2^{t+1}(2^t - 1)A_1 + 2^{2t}A_2$$

$$A_1 A_1^T = 2^t(2^{2t+1} - 1)I$$

$$+ 2^{t+1}(2^t - 1)(A_1 + A_1^T) + 2^t(2^t - 1)A_2$$

が成り立つことから、 $A_1$  が内周 4 の距離正則グラフの隣接行列になっていることがわかる。

## 文献

- [1] R.M.Damerell, Distance-transitive and distance-regular digraphs, J. Combinatorial Theory (B) 31 (1981) 46-53
- [2] 榎本彦衛, Distance-regular digraphs, 「代数的組み合せ論の研究」(岡山大学 1983年) 報告集, 9-16
- [3] H.Enomoto-R.A.Mena, Distance-regular digraphs of girth 4, J. Combinatorial Theory (B), to appear
- [4] R.A.Liebler-R.A.Mena, Certain distance-regular digraphs and related rings of characteristic 4, to appear

## 次数4の距離正則グラフについて

東京医科歯科大学 教養部 野村和正

### [1] 距離正則グラフの定義と基本的事項

$G$  を連結な有限単純無向グラフ,  $V$  を  $G$  の点集合とする.  $V$  の2点  $u$  と  $v$  に対して,  $u$  と  $v$  を結ぶ最短通路の長さを  $\delta(u,v)$  と表すと  $\delta$  は距離空間の公理系をみたし  $V$  は距離空間となる. 点  $u$  を中心とする半径  $r$  の球面を

$$\Gamma_r(u) = \{x \in V \mid \delta(u,x) = r\}$$

とし, さらに2つの球面の交わりを

$$D_s^r(u,v) = \Gamma_r(u) \cap \Gamma_s(v)$$

と書く. ここで  $r, s$  は整数とし,  $r, s$  が負のときはこれらは空集合と考える.  $D_s^r(u,v)$  の要素の個数  $|D_s^r(u,v)|$  が  $r, s$  と  $\delta(u,v)$  だけで決まり個々の  $u, v$  のとりかたによらないとき, すなわち任意の整数  $r, s$  と任意の  $V$  の点  $u, v, u', v'$  に対して

$$\delta(u,v) = \delta(u',v') \text{ ならば } |D_s^r(u,v)| = |D_s^r(u',v')|$$

が成立しているときグラフ  $G$  は 距離正則 であるという. 文献 [1] に距離正則グラフに関する詳しい記述がある.

以後  $G$  は距離正則であるとする. 点  $u$  と隣接している点の個数  $k = |\Gamma_1(u)|$  は点のとりかたによらず一定になる.  $k$  を  $G$  の 次数 という.  $G$  の2点間の最大距離

$$d(G) = \max \{ \delta(u,v) \mid u, v \in V \}$$

を  $G$  の 直径 という. また  $G$  のサイクルで長さが最小のものの長さを  $G$  の 内周 という. 以下  $G$  の次数を  $k$ , 直径を  $d$ , 内周を  $g$  とする.

$G$  の任意の点  $u$  をとり, さらに任意の整数  $r$  ( $0 \leq r \leq d$ ) に対して  $\Gamma_r(u)$  の任意の点  $x$  をとる.  $x$  と隣接している点は  $\Gamma_{r-1}(u), \Gamma_r(u), \Gamma_{r+1}(u)$  のいずれかに属する. それらの点の個数をそれぞれ  $c_r, a_r, b_r$  とおく. すなわち

$$c_r = |\Gamma_1(x) \cap \Gamma_{r-1}(u)|$$

$$a_r = |\Gamma_1(x) \cap \Gamma_r(u)|$$

$$b_r = |\Gamma_1(x) \cap \Gamma_{r+1}(u)|$$

これらの数  $a_r, b_r, c_r$  は  $u$  と  $x$  のとりかたによらないことがわかる. これを  $G$  の 交叉数 という.

$$a_r + b_r + c_r = k$$

であり, また  $c_0 = 0, a_0 = 0, b_0 = k, c_1 = 1, b_d = 0$  となることが定義からすぐわかる. さらに交叉数には次のような単調性があることが知られている.

$$0 = c_0 \leq c_1 \leq c_2 \leq \dots \leq c_d$$

$$k = b_0 \geq b_1 \geq b_2 \geq \dots \geq b_d = 0$$

これらの交叉数を次のように並べたものを  $G$  の 交叉配列 という.

$$\left\{ \begin{array}{cccccc} c_0 & c_1 & c_2 & \cdots & \cdots & c_d \\ a_0 & a_1 & a_2 & \cdots & \cdots & a_d \\ b_0 & b_1 & b_2 & \cdots & \cdots & b_d \end{array} \right\}$$

## [2] 距離正則グラフの分類問題

距離正則グラフをすべて分類することは殆ど不可能である。例えれば直径をわずか3にして交叉配列をつきの形に限定しても、そのような距離正則グラフの分類はできていない。

$$\left\{ \begin{array}{cccc} 0 & 1 & 1 & k \\ 0 & 0 & 0 & 0 \\ k & k-1 & k-1 & 0 \end{array} \right\}$$

(実はこの形の距離正則グラフを考えることは位数  $k-1$  の射影平面を考えることと同じことになる)。そこで分類問題を考えるにはある程度範囲を限る必要があるが、そのような条件として Q-polynomiality といわれるものを導入して、すべての Q-polynomial な距離正則グラフを分類しようというのが文献 [1] の主題である。急速な進展を見せているがまだ完成はしていない。

一方、最近になって Biggs, Boshier, Shawe-Taylor により次数3の距離正則グラフが分類された(文献 [4])。このきっかけとなったのが次の Ivanov の定理である。

【定理】(Ivanov, 文献 [12]) 次数  $k$ , 内周  $g$  ( $g > 3$ ) の距離正則グラフの直径は  $k$  と  $g$  のある関数でおさえられる。

この定理であたえられる直径  $d$  の上界はかなり大きいので、すぐには実用にならないが、Ivanov が用いた証明方法は非常に有用で、

Biggs 等は Ivanov の方法の延長線上に、新たにサイクルパターン法という新しい方法を開発して次数3の分類に成功した。これらの証明方法は純組合せ論的であり、今まで用いられてきた固有値による代数的方法と著しい対照をなしている。

これらの証明は非常に興味あるものであるが、相當に複雑であり論理のチェックだけでも相当労力を要する。そこで以前から用いていた交叉図式なるものを用いてこれらの証明を書きなおしてみると、その証明が短くなるだけでなく目に見える形になった。(交叉図式を用いた証明については文献 [3] を参照)。交叉図式はもともとは文献 [9] の研究の際に考え付いたものである。こうして交叉図式が距離正則グラフの研究にかなり有用であることがわかり、その後文献 [6], [13] の結果を交叉図式を用いることにより得た。

さて次数3が終わったので、次にやるべき仕事は当然次数4の分類ということになる。交叉図式によって次の結果を得た。

[定理] 次数が4で内周が3の距離正則グラフは次のものに限る。

- 1) 完全グラフ  $K_5$
- 2) 正8面体
- 3) 次のグラフの線グラフ
  - a) Petersen グラフ
  - b) 完全2部グラフ  $K_{3,3}$
  - c) Heawood グラフ
  - d) Tutte's 8-cage
  - e) 12-cage

ここでグラフ  $G$  の線グラフ  $L(G)$  とは  $G$  の辺集合を点集合とし、2辺が1端点を共有しているときに隣接しているとしてできるグラフのこと。3)に現れている a) から e) の5個のグラフはいずれも次数3の距離正則グラフである。次数3の距離正則グラフは全部で13個あるが、ここに現れているのは Moore グラフと generalized polygon といわれるものである。

#### Moore グラフ

a)  $d = 2$  Petersen グラフ

generalized polygon

b)  $d = 2$   $K_{3,3}$

c)  $d = 3$  Heawood グラフ

d)  $d = 4$  8-cage

e)  $d = 6$  12-cage

Moore グラフというのは

$$c_1 = c_2 = \dots = c_d = 1$$

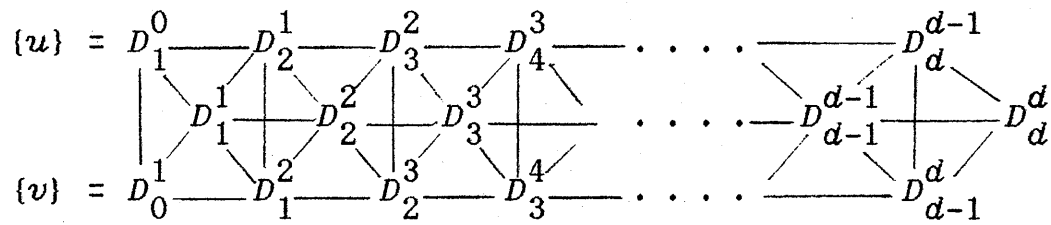
となっているグラフであり、坂内、伊藤、Damerell 等により分類されている(文献 [2], [7])。また generalized polygon というのは

$$c_1 = c_2 = \dots = c_{d-1} = 1, c_d = k$$

なるもののこと(文献 [8] 参照)。

[ 3 ] 交叉図式

$G$  の隣接している 2 点  $u, v$  を 1 組固定して,  $D_s^r(u, v)$  を簡単に  $D_s^r$  と表すことにする.  $\partial(u, v) = 1$  であることから,  $|r-s| \geq 2$  ならば  $D_s^r = \emptyset$  となっている. さて次のような図式を書く.



ここで  $D_s^r$  達の間にひいてある線はそれらの間を結ぶ辺が存在する可能性をあらわしている. すなわち線でむすばれていないところには辺がない. この図式を  $u, v$  に関する交叉図式と呼ぶ. (ここでは  $\partial(u, v) = 1$  と仮定しているが, 一般には任意の 2 点に関する交叉図式を書くことができる).

さて  $D_s^r$  の点  $x$  をとり,  $x$  からの辺の出方を見る.  $x$  から  $D_s^{r'}$  に向かって出ている辺の本数を

$$e_{s-s'}^{r'-r}(x) = |\Gamma_1(x) \cap D_s^{r'}|$$

と表すことにする.  $|r-r'| \geq 2$  または  $|s-s'| \geq 2$  のときは  $D_s^r$  と  $D_s^{r'}$  の間には辺がないので,

$$e_{+1}^{+1}(x), e_0^{+1}(x), e_{-1}^{+1}(x), e_{+1}^0(x), e_0^0(x), e_{-1}^0(x), e_{+1}^{-1}(x), e_0^{-1}(x), e_{-1}^{-1}(x)$$

だけを考えればよい. つぎの補題は  $u$  からの距離と  $v$  からの距離を考えることにより容易に得られる.

[補題1]  $x \in D_r^{r+1}$  ならば次の等式が成立する.

$$\begin{aligned} e_{-1}^0(x) &= e_{-1}^{+1}(x) = e_0^{+1}(x) = 0 \\ e_{+1}^{+1}(x) &= b_{r+1} \\ e_{+1}^{+1}(x) + e_{+1}^0(x) + e_{+1}^{-1}(x) &= b_r \\ e_{-1}^{-1}(x) &= c_r \\ e_{+1}^{-1}(x) + e_0^{-1}(x) + e_{-1}^{-1}(x) &= c_{r+1} \\ e_{+1}^0(x) + e_0^0(x) &= a_{r+1} \\ e_0^0(x) + e_0^{-1}(x) &= a_r \end{aligned}$$

$x \in D_{r+1}^r$  についても同様のことがいえる.

[補題2]  $x \in D_r^r$  ならば

$$\begin{aligned} e_{+1}^0(x) + e_{+1}^{+1}(x) &= e_0^{+1}(x) + e_{+1}^{+1}(x) = b_r \\ e_0^{-1}(x) + e_{-1}^{-1}(x) &= e_{-1}^0(x) + e_{-1}^{-1}(x) = c_r \\ e_0^{+1}(x) + e_0^0(x) + e_0^{-1}(x) &= e_{+1}^0(x) + e_0^0(x) + e_{-1}^0(x) = a_r \end{aligned}$$

補題1から交叉数の単調性が導かれることに注意. さらに

$b_r = b_{r+1}$  ならば

$$e_{+1}^0(x) = e_{+1}^{-1}(x) = 0$$

であり、またもし  $c_r = c_{r+1}$  ならば

$$e_{+1}^{-1}(x) = e_0^{-1}(x) = 0$$

となることも明らか. また補題2から  $x \in D_r^r$  にたいしては

$$e_{+1}^0(x) = e_0^{+1}(x), \quad e_0^{-1}(x) = e_{-1}^0(x)$$

が成り立つこともわかる。

一般には  $D_s^r$  の点からの辺の出方は点のとりかたにより異なるが、交叉配列の形によっては、上の補題により辺の出方が一意に決定されることがある。そういう場合には交叉図式が特に威力を發揮することになる。

#### [4] 定理の証明の概略

$G$  を次数4、内周3の距離正則グラフとする。 $G$  の直径を  $d$ 、交叉数を  $c_r, a_r, b_r$  ( $0 \leq r \leq d$ ) とする。内周が3であることから  $a_1 \geq 1$  となっているが、 $a_1 = 3$  のときは、 $G$  は  $K_5$  と同型となり、また  $a_1 = 2$  のときは  $G$  は正8面体となることが直接確かめられるので、以下  $a_1 = 1$  と仮定する。このときは  $G$  の任意の辺に対して、その辺を含む3角形が唯一つある。 $a_r + b_r + c_r = 4$  と  $b_r$  および  $c_r$  の単調性などを考えることにより、 $G$  の交叉配列は

$$\left\{ \begin{array}{ccccccccc} 0 & 1 & \dots & 1 & 1 & \dots & 1 & 2 & \dots & 2 & 2 & \dots & 2 & 3 & \dots & 3 & c_d \\ 0 & 1 & \dots & 1 & 2 & \dots & 2 & 0 & \dots & 0 & 1 & \dots & 1 & 0 & \dots & 0 & a_d \\ 4 & 2 & \dots & 2 & 1 & \dots & 1 & 2 & \dots & 2 & 1 & \dots & 1 & 1 & \dots & 1 & 0 \end{array} \right\}$$

の形になる。ここで (1,2,1) 型と (2,0,2) 型はどちらか片方しかない。実際は (2,0,2) 型は現れないことが、つきの定理からわかる。

[定理] (文献 [13])

(i)  $0 < a_r < b_r$  ならば  $a_{r+1} > 0$

(ii)  $0 < a_r < c_r$  ならば  $a_{r-1} > 0$

また

$$|\Gamma_r(u)| = \frac{b_0 b_1 \dots b_{r-1}}{c_1 c_2 \dots c_r}$$

より、(3,0,1)型はないことがわかる。従って交叉配列は次の形になる。

$$\left\{ \begin{array}{ccccccccc} 0 & 1 & \dots & 1 & 1 & \dots & 1 & 2 & \dots & 2 & c_d \\ 0 & 1 & \dots & 1 & 2 & \dots & 2 & 1 & \dots & 1 & a_d \\ 4 & 2 & \dots & 2 & 1 & \dots & 1 & 1 & \dots & 1 & 0 \end{array} \right\}$$

(1,1,2), (1,2,1), (2,1,1)型の欄の個数をそれぞれ  $\alpha, \beta, \gamma$  とする。

$G$  の隣接した2点  $u, v$  をとり、 $D_s^r = D_s^r(u, v)$  とおく。

(Case 1)  $\beta > 0$  のとき

まず  $\beta \geq 2$  と仮定してみる。 $\Gamma_{\alpha+1}(u)$  の点  $x$  をとる。 $x$  から  $\Gamma_\alpha(u)$  に出ている辺を  $(x, y)$ ,  $\Gamma_{\alpha+2}(u)$  に出ている辺を  $(x, z)$  とする。それらを含む3角形をそれぞれ  $(x, y, p)$ ,  $(x, z, q)$  とする。 $x$  から  $\Gamma_{\alpha+1}(u)$  へは辺が2本出ているはずだから、 $p, q \in \Gamma_{\alpha+1}(u)$  となっている。すると  $z$  から  $\Gamma_{\alpha+1}(u)$  に向かって2本の辺  $(z, x)$ ,  $(z, q)$  が出ているから  $c_{\alpha+2} \geq 2$  となり、仮定に反する。従って  $\beta = 1$  である。

つぎに  $\gamma > 0$  と仮定してみる.  $|D_1^1| = a_1 = 1$  であるから,  
 $D_1^1 = \{w\}$  とおく. 前節の補題をくりかえし用いることにより, 辺の  
 出方を決定すると次のようになる.

$$e_{-1}^0(w) = e_0^{-1}(w) = 1, \quad e_{+1}^{+1}(w) = 2$$

$x$  が  $D_r^{r+1}$  ( $1 \leq r \leq \alpha-1$ ),  $D_{r+1}^r$  ( $1 \leq r \leq \alpha-1$ ) または  
 $D_r^r$  ( $2 \leq r \leq \alpha$ ) の点ならば  $e_{-1}^{-1}(x) = 1, e_0^0(x) = 1, e_{+1}^{+1}(x) = 2$

$x \in D_\alpha^{\alpha+1}$  ならば  $e_{-1}^{-1}(x) = 1, e_0^0(x) = 1, e_{+1}^0(x) = 1, e_{+1}^{+1}(x) = 1$

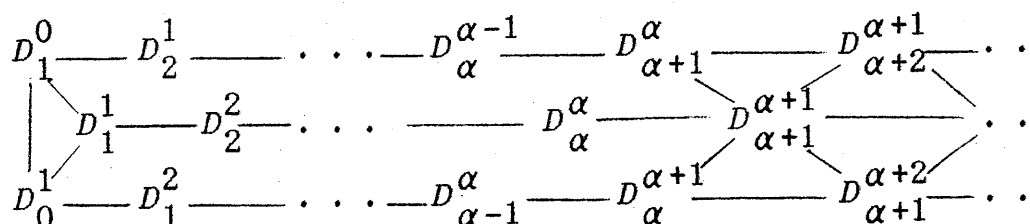
$x \in D_{\alpha+1}^{\alpha+2}$  ならば  $e_{-1}^{-1}(x) = 1, e_0^{-1}(x) = 1, e_0^0(x) = 1, e_{+1}^{+1}(x) = 1$

$x \in D_{\alpha+1}^{\alpha+1}$  のときは次のいずれかが成立

$$(i) \quad e_0^{-1}(x) = 1, \quad e_{-1}^0(x) = 1, \quad e_{+1}^0(x) = 1, \quad e_0^{+1}(x) = 1$$

$$(ii) \quad e_{-1}^{-1}(x) = 1, \quad e_0^0(x) = 2, \quad e_{+1}^{+1}(x) = 1$$

このことから  $G$  の交叉図式は次の様に書ける.



これらのことから

$$D_1^0, \quad D_0^1, \quad D_1^2, \quad \dots, \quad D_\alpha^{\alpha+1}, \quad D_{\alpha+1}^{\alpha+1}, \quad D_{\alpha+1}^\alpha, \quad \dots, \quad D_2^1, \quad D_1^0$$

を順次通るような長さ  $2\alpha+3$  のサイクルがあることがわかる. 実は  
 もっと強く, 長さ  $\alpha+1$  の任意の通路を含むような, 長さ  $2\alpha+3$  の  
 サイクルがあることがいえる. さて  $w$  から  $D_2^2$  にむかって出でてい  
 る辺  $(w, p_2)$  をとる. 次に  $p_2$  から  $D_3^3$  に出でている辺  $(p_2, p_3)$  を

とる。この操作をくりかえして、 $w$  と  $D_{\alpha+1}^{\alpha+1}$  の点  $p_{\alpha+1}$  をむすぶ長さ  $\alpha$  の通路ができる。この通路に  $v$  を付け加えて長さ  $\alpha+1$  の通路をつくる。この通路を含む長さ  $2\alpha+3$  のサイクル

$p_0 = v, p_1 = w, p_2, \dots, p_\alpha, p_{\alpha+1}, p_{\alpha+2}, \dots, p_{2\alpha+2}, p_{2\alpha+3} = v$  がある。 $p_{\alpha+1}$  からの辺の出方をみるとことにより、 $p_{\alpha+2} \in D_{\alpha+1}^{\alpha+1}$  でなければならない。 $p_{\alpha+2}$  からの辺の出方と  $\partial(v, p_{\alpha+3}) \leq \alpha$  より  $p_{\alpha+3} \in D_\alpha^\alpha$  となる。同様にして  $p_{\alpha+3+r} \in D_{\alpha-r}^{\alpha-r}$  ( $r = 1, 2, \dots, \alpha-1$ ) がいえる。とくに  $p_{2\alpha+2} \in D_1^1$  となる。従つて  $p_1 = w = p_{2\alpha+2}$  となり不合理。よって  $\gamma = 0$  でなければならぬ。したがって  $d = d(G) = \alpha+2$ .

$x \in D_{\alpha+1}^{\alpha+1}$  で  $e_{-1}^{-1}(x) = 1$  なるものをとる。もし  $e_0^{+1}(x) = 0$  ならば、上と同様にして矛盾が生じるから  $e_0^{+1}(x) = e_{+1}^0 = 1$  でなければならない。これから  $e_0^0(x) = 1$  もわかる。 $x$  から  $D_\alpha^\alpha$  に出ている辺を  $(x, y)$  とし、この辺を含む3角形を  $(x, y, z)$  とすると、 $z \in D_{\alpha+1}^{\alpha+1}$  となる。また  $x$  から  $D_{\alpha+2}^{\alpha+1}$  に向かう辺を  $(x, p)$  とし、これを含む3角形を  $(x, p, q)$  とすると、 $q \in D_{\alpha+1}^{\alpha+2}$  となる。次に  $p$  から  $D_{\alpha+1}^\alpha$  に出る辺を  $(p, f)$  とし、これを含む3角形を  $(p, f, h)$  とする。 $f$  からの辺の出方を見ることにより、 $h \in D_{\alpha+1}^{\alpha+1}$  であることがわかる。 $p$  からは  $\Gamma_{\alpha+1}(v)$  にむかって4本の辺  $(p, f), (p, h), (p, x), (p, q)$  がでているので、 $c_d = 4$  であることもわかる。従つて  $G$  の交叉配列は次の様になる。

$$\left\{ \begin{array}{cccccc} 0 & 1 & \dots & 1 & 1 & 4 \\ 0 & 1 & \dots & 1 & 2 & 0 \\ 4 & 2 & \dots & 2 & 1 & 0 \end{array} \right\}$$

さてここで、 $G$  の3角形の作るグラフを  $\bar{G}$  とする。すなわち、 $\bar{G}$  は  $G$  の互いに隣接した3点  $x_1, x_2, x_3$  の集合  $\{x_1, x_2, x_3\}$  を点とし、2つの3点集合は、それらの共通部分が空でないときに隣接していると定義してできるグラフである。いまの場合、 $\bar{G}$  は次数3の距離正則グラフになることが証明できる（証明略）。さらに、 $\bar{G}$  の交叉配列は

$$\left\{ \begin{array}{cccc} 0 & 1 & \dots & 1 & 1 \\ 0 & 0 & \dots & 0 & 2 \\ 3 & 2 & \dots & 2 & 0 \end{array} \right\}$$

の形になるともいえる。ここで  $(1,0,2)$  型の欄は  $\alpha$  個。よって  $\bar{G}$  は Moore グラフになり、坂内、伊藤、Damerell による Moore グラフの分類定理により、 $d = 2$  であることがわかり、 $\bar{G}$  は Petersen グラフになる。 $G$  が  $\bar{G}$  の線グラフになることは容易にわかる。

(Case 2)  $\beta = 0$  のとき

詳しく述べると長くなるので、方針を示すにとどめる。

まず  $\gamma > 0$  の場合を考える。このときは  $D_{\alpha}^{\alpha+1}$  の点からの

辺のでかたは2種類の可能性があるが、 $D_{\alpha+1}^{\alpha}$  へむかう辺がある場合は、その辺を含む3角形があることから矛盾がでる。すると、 $D_{\alpha}^{\alpha+1}$  の各点から  $D_{\alpha}^{\alpha}$  に向かって辺がでていることになる。いっぽう  $D_{\alpha}^{\alpha}$  の点からは  $D_{\alpha}^{\alpha+1}$  にむかって、高々1本しか辺が出ていないことがいえる。ところが、 $2|D_{\alpha}^{\alpha}| = |D_{\alpha}^{\alpha+1}|$  であるので矛盾。従って  $\gamma = 0$ 。

$|\Gamma_{\alpha}|$  が3で割れないことから  $c_d \neq 3$  がいえる。多少複雑な推論により、 $c_d \neq 1$  であることもいえるので、 $G$  の交叉配列は

$$\left\{ \begin{array}{cccc} 0 & 1 & \dots & 1 & 2 \\ 0 & 1 & \dots & 1 & 2 \\ 4 & 2 & \dots & 2 & 0 \end{array} \right\}$$

という形になる。ここでさらに  $D_{d-1}^d$  や  $D_d^d$  の点からの辺の出方を詳しく調べることにより、 $G$  の3角形の作るグラフが距離正則になることがいえる。そして、その交叉配列は

$$\left\{ \begin{array}{cccc} 0 & 1 & \dots & 1 & 3 \\ 0 & 0 & \dots & 0 & 0 \\ 3 & 2 & \dots & 2 & 0 \end{array} \right\}$$

となることがわかる。これは generalized polygon であるから、Feit, Higman の定理により、 $d = 2, 3, 4$  または  $6$  となる。これらの線グラフが  $G$  となる。

## 参 照 文 献

1. E. BANNAI AND T. ITO, "Algebraic Combinatorics I," Benjamin, California, 1984.
2. E. BANNAI AND T. ITO, On finite Moore graphs, *J. Fac. Sci. Univ. Tokyo, Sect IA* **20** (1973), 191-208.
3. E. BANNAI AND T. ITO, Current researches on algebraic combinatorics, to appear in *Graphs and Combinatorics*.
4. N.L. BIGGS, A.G. BOSIER AND J. SHAWE-TAYLOR, Cubic distance-regular graphs, to appear.
5. N. L. BIGGS AND D. H. SMITH, On trivalent graphs, *Bull. London Math. Soc.* **2** (1970), 155-158.
6. A. BOSIER AND K. NOMURA, A remark on the intersection array of a distance-regular graph, to appear in *J. Combin. Thory Ser.B*.
7. R. M. DAMERELL, On Moore graphs, *Proc. Cambridge Philos. Soc.* **74** (1973), 227-236.
8. W. FEIT AND G. HIGMAN, The nonexistence of certain generalized polygons, *J. Algebra* **1** (1964), 114-131.
9. A. D. GARDINER, An elementary classification of distance-transitive graphs of valency four, to appear.
10. T. HILANO AND K. NOMURA, Distance degree regular graphs, *J. Combin. Theory Ser.B* **37** (1984), 96-100.

11. T. ITO, Bipartite distance-regular graphs of valency three, *Linear algebra and its application*, **46** (1982), 195-213.
12. A.A. Ivanov, Bounding the diameter of a distance-regular graphs, *Soviet Math. Dokl* **28** (1983), 149-152.
13. K. NOMURA, An inequality between intersection numbers of a distance-regular graph, to appear in *J. Combin. Theory Ser.B*.
14. D. H. SMITH, On tetravalent graphs, *J. London Math. Soc.* (2), **6** (1973), 659-662.
15. D. H. SMITH, Distance-transitive graphs of valency four, *J. London Math. Soc.* (2), **8** (1974), 377-384.
16. D. H. SMITH, On bipartite tetravalent graphs, *Discrete Math.* **10** (1974), 167-172.

# Large Cliques in the Graphs of Quadratic Forms

東理大・理 江川 嘉美

$q$  を奇素数べきとし,  $V$  を  $GF(q)$  上の  $n$  次元ベクトル空間とする。(本稿で述べることは、適当に修正すれば  $q$  が 2 べきの場合にも成立するが、ここでは簡単のため奇素数べきの場合に限ることにする。)  $V$  上の 2 次形式の全体を  $Q$  とおく。 $x \in Q$  に対し,  $B$  を  $x$  に付随する対称双一次形式として,

$$\text{Rad } x = \text{Rad } B$$

$$= \{u \in V \mid \text{すべての } v \in V \text{ に対して } B(u, v) = 0\},$$

$$\text{rk } x = \text{rk } B = n - \dim(\text{Rad } x)$$

とおく。 $Q$  上のグラフを

$$\begin{array}{c} x \sim y \text{ が adjacent} \\ \iff \\ \text{rk}(x-y) = 1 \text{ or } 2 \end{array} \quad (x, y \in Q)$$

により定義すると、 $Q$  は距離正則グラフになる([1])。ここで、 $Q$  の極大 clique について調べる。

$x_0 \in Q$  に対して,

$$C(x_0) = \{x \in Q \mid \text{rk}(x-x_0) \leq 1\}$$

とおくと、 $n \geq 3$  であれば、 $C(x_0)$  は位数  $q^n$  の極大

clique になる。我々はこれを type 1 の clique と呼ぶ。  
つぎに、 $V$  の  $(n-1)$  次元部分空間  $W \times x_0 \in Q$  に対して、

$$C(W, x_0) = \{x \in Q \mid x|_W = x_0|_W\}$$

とおくと、 $C(W, x_0)$  も、 $n \geq 3$  であれば、位数  $q^n$  の  
極大 clique になる。（ここで、 $x|_W$  は  $x$  の  $W$  への制限  
を表す。）これを type 2 と呼ぶ。さらに、 $V$  の  $(n-2)$  次元  
部分空間  $W \times x_0 \in Q$  に対して、

$$C(x_0, W) = \{x \in Q \mid \text{Rad}(x - x_0) \supseteq W\}$$

とおくと、 $n \geq 3$  であれば、 $C(x_0, W)$  は位数  $q^3$  の極  
大 clique になる。これを type 3 と呼ぶ。

J. Hemmeter ([2]) は、 $C$  を  $Q$  の極大 clique とする  
と、 $|C| \leq q^3((q^3-1)/(q-1))$  であるが、または、  
 $C$  は type 1 または 2 であることを示した。本稿の目的  
は、この結果がつぎのように精密化されることを注意す  
ることにある。

Main Theorem. Let  $C$  be a maximal clique of  $Q$ .  
Then  $|C| \leq q^3 + q + 2$ , or  $C$  is of type 1, 2, or 3.

以下証明の方針を述べる。

Lemma 1. Let  $x, y$  be rank 2 quadratic forms on a 2-dimensional space  $V$ ,  $x \neq y$ . Then

- (i) There are at most two rank 1 forms  $z$  such that  $x, y \in \mathcal{C}(z)$ .
- (ii) If there is a 1-dimensional subspace  $U$  such that  $x, y \in \mathcal{C}(U, 0)$ , then there is at most one rank 1 form  $z$  such that  $x, y \in \mathcal{C}(z)$ .
- (iii) There are at most two 1-dimensional subspaces  $U$  such that  $x, y \in \mathcal{C}(U, 0)$ , and if there do exist two such subspaces then there is no rank 1 form  $z$  such that  $x, y \in \mathcal{C}(z)$ .

証明は容易である

以下  $n \geq 3$  とする。

Lemma 2. Let  $\mathcal{C}_1, \mathcal{C}_2$  be distinct cliques of type 1 or 2. Then  $|\mathcal{C}_1 \cap \mathcal{C}_2| \leq q+1$ .

証明は、 $\mathcal{C}_1, \mathcal{C}_2$  がともに type 1 の時が最も面倒だが、結局は、 $GF(q)$ において、 $\alpha x^2 + \beta y^2 = \gamma$  という形の、 $x, y$ に関する方程式（但し、 $\alpha\beta\gamma \neq 0$ ）の解の個数は、 $q+1$  個または  $q-1$  個であるという、古典的な結果に帰着される。

Lemma 3. Let  $x_1, x_2$  be rank 2 forms such that  $\dim(\text{Rad } x_1 \cap \text{Rad } x_2) = n-3$  and  $\text{rk}(x_1 - x_2) = 2$ . Then one of the following holds:

(i) There exists a rank 1 form  $x_0$  such that  $x_1, x_2 \in \mathcal{C}(x_0)$ . (Further, the form  $x_0$  is uniquely determined.)

(ii) There exists an  $(n-1)$ -dimensional subspace  $U$  such that  $x_1, x_2 \in \mathcal{C}(U, 0)$ . (The subspace  $U$  is uniquely determined.)

証明は 3 次の対称行列に関する計算に帰着される

**Lemma 4.** Let  $W$  be a 1-dimensional subspace of a 3-dimensional space  $V$ . Let  $\mathfrak{X}$  be a set of rank 2 forms having  $W$  as their radical. Let  $v$  be a rank 2 form with  $\text{Rad } v \neq W$  such that  $\text{rk}(x - v) = 2$  for all  $x \in \mathfrak{X}$ . Then one of the following holds:

(I) There exists a rank 1 form  $z$  such that  $v \in \mathcal{C}(z)$  and  $\mathfrak{X} \subseteq \mathcal{C}(z)$ .

(II) There exists a 2-dimensional subspace  $U$  such that  $v \in \mathcal{C}(U, 0)$  and  $\mathfrak{X} \subseteq \mathcal{C}(U, 0)$ .

**Proof.** Set  $U = W + \text{Rad } v$ . Fix  $y \in \mathfrak{X}$ . Note that if  $v$  and  $y$  are as in (i) of Lemma 3 then  $v(U) \neq 0$ , and if they are as in (ii) then  $v(U) = 0$ . Thus in the latter case,  $v$  and  $y$  are related as in Lemma 3 (ii) for every  $x \in \mathfrak{X}$ . That is, (II) holds. Suppose then that  $v$  and  $y$  are related as

in Lemma 3(i). Let  $T$  denote the 2-dimensional subspace orthogonal to  $U$  with respect to  $v$ . Let  $z$  be the form defined by

$$\text{Rad } z = U, \quad v|_T = z|_T.$$

Then  $z$  is of rank 1, and  $x, y \in G(z)$ . The definition of  $z$ , however, did not depend on  $y$ . Hence (I) holds.

**Lemma 5.** Let  $x_1, x_2$  and  $x_3$  be pairwise adjacent rank 2 quadratic forms, with associated bilinear forms  $B_1, B_2$  and  $B_3$ . If there is no  $(n-3)$ -dimensional subspace contained in the radicals of all three  $x_i$ , then one of the following holds:

- (i) There exists a rank 1 form  $x_0$  such that  $x_i \in G(x_0)$  for  $i = 1, 2, 3$ .
- (ii) There exists an  $(n-1)$ -dimensional subspace  $W$  such that  $x_i \in G(W, 0)$  for  $i = 1, 2, 3$ .

**Proof.** Case 1:  $x_1$  and  $x_2$  are as in Lemma 3(i).

Let  $x_0$  be also as in Lemma 3(i), and let  $B_0$  be its associated bilinear form. By way of contradiction, suppose  $\text{rk}(B_3 - B_0) \geq 2$ . Then  $\text{Rad}(B_3 - B_0) = \text{Rad } B_3 \cap \text{Rad } B_0$ . From  $\text{rk}((B_3 - B_0) - (B_1 - B_0)) = 2$  and  $\text{rk}((B_3 - B_0) - (B_2 - B_0)) = 2$ , we obtain also  $\text{Rad}(B_3 - B_0) \subseteq \text{Rad}(B_1 - B_0) \cap \text{Rad}(B_2 - B_0)$ . So

$$\begin{aligned} \text{Rad}(B_3 - B_0) &\subseteq \text{Rad}(B_1 - B_0) \cap \text{Rad}(B_2 - B_0) \cap \text{Rad } B_0 \\ &= \text{Rad } B_1 \cap \text{Rad } B_2. \end{aligned}$$

Since  $\text{rk}(B_3 - B_0) \leq 3$ ,  $\text{Rad}(B_3 - B_0) = \text{Rad } B_1 \cap \text{Rad } B_2$ .

But then we have an  $(n-3)$ -dimensional, namely  $\text{Rad } B_1 \cap \text{Rad } B_2$ , contained in the radical of each of  $x_1, x_2$  and  $x_3$ , a contradiction.  
Hence  $\text{rk}(B_3 - B_0) = 1$  and we have (i).

Case 2:  $x_1$  and  $x_2$  are related as in Lemma 3(iii).

There exists an  $(n-1)$ -dimensional subspace  $W$  such that  $B_1|_W = B_2|_W = 0$ . Suppose  $B_3|_W \neq 0$ . If either  $x_1$  and  $x_3$  or  $x_2$  and  $x_3$  were related as in Lemma 3(i), we would end up in Case 1. So we may assume that there exist  $(n-1)$ -dimensional subspaces  $W_1, W_2$  with  $W_1 \neq W \neq W_2$  such that  $B_1|_{W_1} = B_3|_{W_1} = 0$  and  $B_2|_{W_2} = B_3|_{W_2} = 0$ .  
If  $W_1 = W_2$ , then  $\text{Rad } B_1 = W_1 \cap W = W_2 \cap W = \text{Rad } B_2$ , a contradiction.  
If  $W_1 \neq W_2$ , then  $\text{Rad } B_3 = W_1 \cap W_2 \supseteq \text{Rad } B_1 \cap \text{Rad } B_2$ , another contradiction. Thus  $B_3|_W = 0$  after all.

Proof of the Main Theorem. We may assume  $0 \in \mathcal{C}$ .

Case 1:  $\mathcal{C}$  has no rank 2 forms. Then  $\mathcal{C}$  must be  $\mathcal{C}(0)$ .

Case 2: There exist rank 2 forms  $x_1, x_2$  and  $x_3 \in \mathcal{C}$  whose radicals do not all contain any  $(n-3)$ -dimensional subspace. In this case, we easily get the desired conclusion from Lemma 5.

Case 3:  $\mathcal{C}$  has at least one rank 2 form, but the

radical of each rank 2 form contains some  $(n-3)$ -dimensional subspace. In this case, we may

assume  $\dim V = 3$ . Also assume  $\mathcal{B}$  is not of type 3. For each 1-dimensional subspace  $W$ , let  $\mathcal{B}_W$  denote the set of the forms belonging to  $\mathcal{B}$  whose radical is  $W$ . Assume first that  $\mathcal{B}$  contains no rank 1 form. Then as  $q^2 + q + 2 = (q^3 - 1)/(q - 1) + 1$ , we may assume that there exists a 1-dimensional subspace, say  $W_0$ , such that  $|\mathcal{B}_{W_0}| \geq 2$ . Pick  $0 \neq v \in \mathcal{B} - \mathcal{B}_{W_0}$ . Then by Lemma 4, one of the following holds:

- (i) There exists a rank 1 form  $z$  such that  $v \in \mathcal{B}(z)$  and  $\mathcal{B}_{W_0} \subseteq \mathcal{B}(z)$ .
- (ii) There exists a 2-dimensional subspace  $U$  such that  $v \in \mathcal{B}(U, 0)$  and  $\mathcal{B}_{W_0} \subseteq \mathcal{B}(U, 0)$ .

If there exists a rank 1 form  $z$  such that (i) holds for all  $0 \neq v \in \mathcal{B} - \mathcal{B}_{W_0}$ , then  $\mathcal{B} = \mathcal{B}(z)$ . In fact, under our assumption that  $\mathcal{B}$  contains no rank 1 form, this is impossible. Likewise, there can be no 2-dimensional subspace  $U$  such that (ii) holds for all  $0 \neq v \in \mathcal{B} - \mathcal{B}_{W_0}$ , let  $\mathcal{B}$  be  $\mathcal{B}(U, 0)$ .

Thus we have  $|\mathcal{B}_{W_0}| \leq q$  by Lemma 2. Further, we see from Lemma 1 that one of the following holds:

- (iii) There exist two distinct rank 1 forms  $z_1, z_2$  such that for each  $0 \neq v \in \mathcal{B} - \mathcal{B}_{W_0}$ , one of  $z_1$  or  $z_2$  satisfies (i).
- (vi) There exist a rank 1 form  $z_1$  and a 2-dimensional subspace  $U_2$  such that for each  $0 \neq v \in \mathcal{B} - \mathcal{B}_{W_0}$ , either  $z_1$  satisfies (i), or  $U_2$  satisfies (ii).
- (v) There exist two distinct 2-dimensional subspaces  $U_1, U_2$  such that for each  $0 \neq v \in \mathcal{B} - \mathcal{B}_{W_0}$ , one of  $U_1$  or  $U_2$  satisfies (ii).

If (iii) or (iv) occurs, then set  $U_i = \text{Rad } z_i$ . Then in any case, each 1-dimensional subspace  $W$  with  $\mathcal{C}_W \neq \emptyset$  is contained in  $U_1$  or  $U_2$ . Set

$$\mathcal{W}_i = \{W \subseteq U_i \mid \dim W = 1, \mathcal{C}_W \neq \emptyset, W \neq W_0\}, \quad i = 1, 2.$$

Clearly  $|\mathcal{W}_i| \leq q$ . Also the above argument shows that  $|\mathcal{C}_W| \leq q$  for all  $W \in \mathcal{W}_1 \cup \mathcal{W}_2$ . If  $|\mathcal{C}_W| = 1$  for all  $W \in \mathcal{W}_1 \cup \mathcal{W}_2$ , then  $|\mathcal{C}| \leq 2q + q + 1$ . Therefore we may assume, by symmetry, that there exists  $W_1 \in \mathcal{W}_1$  such that  $|\mathcal{C}_{W_1}| \geq 2$ . Pick  $W_2 \in \mathcal{W}_2$ . Arguing as above with  $W_1$  in place of  $W_0$ , we see that each 1-dimensional subspace  $W$  with  $\mathcal{C}_W \neq \emptyset$  is contained in  $W_1 + W_2$  or  $U_1$ . This means  $\mathcal{W}_2 = \{W_2\}$ . If  $|\mathcal{C}_{W_2}| \geq 2$ , then a similar argument yields  $\mathcal{W}_1 = \{W_1\}$ , which implies  $|\mathcal{C}| \leq 3q + 1$ . On the other hand, if  $|\mathcal{C}_{W_2}| = 1$ , then we have  $|\mathcal{C}| \leq q(q + 1) + 1 + 1$ .

Now assume that  $\mathcal{C}$  contains some rank 1 form, say  $b$ . If  $\mathcal{C}$  contains another rank 1 form  $x$  with  $\text{Rad } x \neq \text{Rad } b$ , then  $\mathcal{C}$  must be of type 1 or 3. So we may assume that all rank 1 forms belonging to  $\mathcal{C}$  have the same radical as  $b$ . Note that

$$\text{Rad } v \subseteq \text{Rad } b \text{ for all rank 2 forms } v \in \mathcal{C}. \quad (*)$$

Thus we may again assume that there exists a 1-dimensional subspace  $W_0$  such that  $|\mathcal{C}_{W_0}| \geq 2$ . Pick a rank 2 form  $v \in \mathcal{C} - \mathcal{C}_{W_0}$ . Then again (i) or (ii) holds. But (\*) implies that if (i) occurs then  $\text{Rad } z$  must coincide with  $\text{Rad } b$  and so  $x(\text{Rad } b) \neq 0$  for all  $x \in \mathcal{C}_{W_0}$ , and that if (ii) occurs then  $U$  must coincide with  $\text{Rad } b$  and so  $x(\text{Rad } b) = 0$  for all  $x \in \mathcal{C}_{W_0}$ . Now the observation made immediately after the statement of (i), (ii) together with the argument used in the proof of Lemma 4 yields that  $\mathcal{C}$  is of type 1 or 2.

1. Y. Egawa, Association schemes of quadratic forms, J. Combin. Theory Ser. A 38 (1985), 1-14.

2. J. Hemmeter, The large cliques in the graph of quadratic forms, preprint.

# 群とグラフに関する幾つかの結果

城西大・理 芳沢光雄

## (I) ある種の sharply $t$ -transitive setsについて。

$\Omega$ : finite set,  $t(\geq 2)$ : integer に対し、

$\Omega$  の subset  $G$  が  $t$ -transitive set

$\Leftrightarrow$  def.  $\forall \alpha_1, \dots, \alpha_t, \forall \beta_1, \dots, \beta_t \in \Omega$  に対し

$$|\{g \in G \mid g(\alpha_i) = \beta_i, i=1, \dots, t\}| = c \text{ (const.)}.$$

（くに  $c=1$  のとき、 $G$  を sharply  $t$ -trans set とする。）

$G$  に次のように距離を入れる。

$$G \ni g, g' \text{ に対し } d(g, g') := |\Omega| - (g \cdot g' \text{ の固定点数}).$$

この距離により  $G$  が association scheme をなすとき、

$G$  を schematic とする。以下 schematic sharply  $t$ -trans set とする考え方にする。

最初に例であるが、 $t=2$  については全て o.k.

又、 $A_5$  ( $t=3$ ) が例になることも易しく分かる。

さらに  $PSL(2, 8)$  ( $t=3$ ) も例になる。これについては、  
 $PGL(2, 8)$  内で共役類を考えれば、ほとんどの事について  
は check できるが、一部計算機を使って check した。  
一般の  $PSL(2, 2^n)$  ( $t \geq 3$ ) も全て例になると予想できるが、  
 $M_{10}$  ( $t=3$ ),  $M_{11}$  ( $t=4$ ) について計算機で調べたところ、こ  
れらは schematic にはならなかった。  
一般的な結果として、次の Th. を得た。

Th.  $\Omega$  上の sharply  $t$ -trans set  $G$  が scheme  
 $\Rightarrow 2t-1 \leq k := |\Omega|$ .

証明の概略:  $k \leq 2t-2$  として矛盾を出す。

最初に  $G$  の元  $g$  に対し、 $g$  から距離  $k-i$  ( $i=0, 1, \dots, t$ )  
にある  $G$  の元の個数は

$$\sum_{j=i}^{t-1} \binom{k}{i} \binom{k}{j} \{ (k-j)(k-j-1) \cdots (k-t+1)-1 \} (-1)^{j+i}$$

になることを示す。これから  $G$  には次のような 3 元  
 $g_1, g_2, g_3$  があることを得る。ただし  $n = k-t$  とおく。

$$d(g_1, g_2) = 2n+2, \quad d(g_1, g_3) = d(g_2, g_3) = n+1.$$

5.  $g_1, g_2$  を fix し、 $g_1, g_2$  から共に距離  $n+1$  にある元

の個数を調べると、それは次の式になつた。

$$\frac{\binom{t-1}{n+1} n \binom{t+n}{n+1} n}{\sum_{i=t-n-2}^{t-1} \binom{i}{t-n-2} \binom{t+n}{i} \{(t+n-i)(t+n-i-1)\dots(n+1)-1\} (-1)^{i+t-n-2}}$$

上の式の値は整数になることから、矛盾を得た。

### (III) 群を表わすグラフについて

Frucht (1938) は任意の有限群  $G$  に対し、 $\text{Aut } \Gamma \cong G$  となる connected 3-regular graph  $\Gamma$  の存在を示し、

Sabidussi (1957) は任意の有限群  $G$  と任意の自然数  $n \geq 3$  に対し、 $\text{Aut } \Gamma \cong G$  となる conn.  $n$ -reg. graph  $\Gamma$  の存在を示した。最近 Vogler (1984) は  $|\nabla \Delta| \geq 3$  をみたす孤立点を含む任意の constant link  $\Delta$  と任意の有限群  $G$  に対し、 $\text{Aut } \Gamma \cong G$ ,  $\Delta$  は  $\Gamma$  の const link, となる conn. graph  $\Gamma$  の存在を示した。尚、 $\Delta$  が  $\Gamma$  の const link になると次のようにいふ:  $\forall \Gamma \ni v$  に対し  $N(v) - \{d\}$  ( $d$  から距離 1 にある点全体に制限した subgraph)  $\cong \Delta$  ( $\Gamma$  の)。

$nK_1$  は  $K_{n,n}$  の const link になるので Vogler の結果は Sabidussi の結果の拡張になっている。

さて群を無限群に目を向けると、Sabidussi が 1960 年に、任意の無限群を自己同型群にもつ conn graph の存在を示している。Vogler の結果を拡張して次の結果を得た。

Th.  $\Delta$ : (有限グラフの) const link,  $|V\Delta| \geq 3$ ,  $\Delta$  は孤立点をもつ。

$\Rightarrow$  任意の countable group  $G$  に対し、 $\text{Aut } P \cong G$ ,  $\Delta$  は  $P$  の const link, となる conn graph  $P$  が存在。

証明の方針:  $i = 3, 4, 5$  に対し、 $\text{Aut}(P_i) \cong G$  となる conn  $i$ -reg graph  $P_i$  の存在を示す。

次に Sabidussi の graph multiplication の方法により、 $i > 3$  以上の任意の自然数に拡張する。

最後に Vogler の方法により、自己同型群が変わらないように、 $P_i$  の各頂点に const link  $\Delta$  を枝的につける。

### (III) subdivided $K_{3,3}$ をもたないグラフで表わされた群

(ii) (1) 2.

平面グラフの自己同型群として表わされた群は、本質的にはトポロジーから決定されるそうです。さて、平面グラフは subdivided  $K_{3,3}$  も subdivided  $K_5$  も持たないグラフと同じである (Kuratowski の定理)。

subdivided  $K_{3,3}$  を持たないグラフで表わされた群について、次の(実験的な)結果を得た。(勿論、目標としては、subdivided  $K_{3,3}$  を持たないグラフで表わされた群の分類にあります。)

Prop. 1  $\Gamma$ : subdivided  $K_{3,3}$  をもたない conn graph  
(\*すこしも regular graph でなくてよい),  $G \leq \text{Aut } \Gamma$ ,  
 $G \curvearrowright \text{VRP}$  semiregular,  $P \in \text{Syl}_p(G)$ .

$\Rightarrow \begin{cases} P: \text{odd のとき } P \text{ は cyclic,} \\ P = 2 \text{ のとき, } P \text{ の任意の可換部分群 } Q \text{ (order } 2^k) \\ \text{をとると, } Q = \mathbb{Z}_{2^k}, \mathbb{Z}_{2^{k-1}} \times \mathbb{Z}_2 \text{ or } \mathbb{Z}_2 \times \mathbb{Z}_2 \times \mathbb{Z}_2. \end{cases}$

証明の概略:  $G$  の VRP 上の orbit 分解を  $\Delta_1, \Delta_2, \dots, \Delta_s$  とする。

$\exists w_i \in \Delta_i$  ( $i=1, \dots, s$ ) s.t.  $\Delta = [\{w_1, \dots, w_s\}]$  (induced subgraph) は connected, ということが分かる。

$V\bar{P} = \sum_{g \in G} g(V\Delta)$  である。次のグラフ  $\bar{P}$  を定める。

$$\bar{P} : \left\{ \begin{array}{l} V\bar{P} = \{g(V\Delta) : g \in G\}, \\ E\bar{P} = \{(g(V\Delta), g'(V\Delta)) : g(V\Delta) \text{ と } g'(V\Delta) \text{ を } \text{結ぶ } \bar{P} \text{ の辺がある}\}. \end{array} \right.$$

$G \leq \text{Aut}(\bar{P})$  で、 $G \cong V\bar{P}$ : regular となる。

従って、 $\bar{P}$  = Cayley graph  $\bar{P}(G, H)$  となる。

又、別に調べることにより、 $\bar{P}$  も subdivided  $K_{3,3}$  を持たないことが分かる。

以上のことは  $G = P$  (or  $Q$ ) としても成り立つことなので、このような条件のもとで調べて、結論を得る。

Prop.1 を使って、次の Prop.を得た。

Prop.2  $P$ : connected graph,  $|VP|$ : odd とする。このとき、

$$P: C_n \text{ (circuit graph)} \iff \left\{ \begin{array}{l} \text{Aut } P \cong VP: \text{Frobenius gp.} \\ \text{subdivided } K_{3,3} \text{ をもたない} \end{array} \right.$$

# Spanning trees fixed by automorphisms of a graph

Mikio Kano 加納幹雄 Akashi Technological College

Akio Sakamoto 坂本明雄 The University of Tokushima

## 1. Introduction

We consider a finite graph  $G$  which has no loops and no multiple edges. We denote by  $V(G)$  and  $E(G)$  the vertex set and the edge set of  $G$ , respectively. An edge joining two vertices  $v$  and  $w$  is denoted by  $vw$  or  $wv$ . An automorphism  $\alpha$  of  $G$  is a permutation on  $V(G)$  that preserves adjacency, that is, if  $e=vw$  is an edge of  $G$ , then  $\alpha(e)=\alpha(v)\alpha(w)$  is also an edge of  $G$ . The set of automorphisms of  $G$  forms the automorphism group  $\text{Aut}(G)$ . Let  $\alpha \in \text{Aut}(G)$  and  $A$  be a subgroup of  $\text{Aut}(G)$ . For a subset  $X$  of  $E(G)$ , we write  $\alpha(X) = \{\alpha(e) \mid e \in X\}$ , and say that  $X$  is A-invariant if  $\alpha(X) = X$  for all  $\alpha \in A$ . We write  $F(A)$  for the set of vertices of  $G$  fixed by  $A$ , that is,  $F(A) = \{v \in V(G) \mid \alpha(v) = v \text{ for all } \alpha \in A\}$ . We denote by  $G[F(A)]$  the subgraph of  $G$  induced by  $F(A)$ . For a subset  $S$  of  $V(G)$ , define the subgroup  $A_S$  of  $A$  by  $A_S = \{\alpha \in A \mid \alpha(x) = x \text{ for all } x \in S\}$ . If  $S = \{x\}$ , we write  $A_x$  for  $A_S$ . Other notation and definitions not defined in this paper can be found in [1].

We consider the following problem. Let  $P$  be a property

of graphs and  $A$  be a subgroup of  $\text{Aut}(G)$ . When does the graph  $G$  have an  $A$ -invariant subgraph that possesses the property  $P$ ? In this paper we prove the following theorem.

Theorem Let  $G$  be a connected graph, and  $A$  be a subgroup of  $\text{Aut}(G)$ . Then  $G$  has an  $A$ -invariant spanning tree if and only if one of the following conditions holds.

(i)  $F(A) \neq \emptyset$  and the induced subgraph  $G[F(A_x)]$  is connected for every vertex  $x$  of  $G$ .

(ii)  $F(A) = \emptyset$  and  $A$  fixes an edge  $uw$  such that  $F(A_x)$  contains  $u$  and  $w$  for all  $x \in V(G)$ . Moreover, for every vertex  $x$  of  $G$ , the induced subgraph  $G[F(A_x)]$  is connected.

We now give examples. Let  $A$  be a subgroup of  $\text{Aut}(K_m)$ , where  $K_m$  denotes the complete graph on  $m$  vertices. Then it is easily shown by the theorem that  $K_{2n+1}$  contains an  $A$ -invariant spanning tree if and only if  $A$  fixes at least one vertex. Furthermore, it also follows immediately from the theorem that  $K_{2n}$  contains an  $A$ -invariant spanning tree if and only if (a)  $A$  fixes at least one vertex, or (b)  $A$  fixes an edge  $uw$  such that  $F(A_x) \supseteq \{u, w\}$  for all vertices  $x$  of  $K_{2n}$  (i.e. each cycle, in the cycle decomposition of every  $\alpha \in A$  acting on  $V(G)$  with  $\alpha(u)=w$ , has even length).

## 2. Proof of Theorem

Proof of necessity Let  $T$  be an  $A$ -invariant spanning tree of  $G$ , where we regard  $T$  as a subset of  $E(G)$ . Let  $B$  be any subgroup of  $A$  with  $F(B) \neq \emptyset$ . Let  $x$  and  $y$  be any two distinct vertices of  $F(B)$ , and let  $P(x,y)$  denote the unique path in  $T$  from  $x$  to  $y$ . Then  $B$  fixes  $P(x,y)$ , and so  $B$  fixes all the vertices in  $P(x,y)$ . Hence  $G[F(B)]$  is connected. In particular, if  $F(A) \neq \emptyset$ , then the condition (i) holds.

We now assume  $F(A) = \emptyset$ . Since the center of  $T$ , which is clearly  $A$ -invariant, is  $K_1$  or  $K_2$ , we obtain that the center of  $T$  is  $K_2$  and that  $A$  fixes the edge  $uw$  contained in the center of  $T$ . Let  $B$  be any subgroup of  $A$  with  $F(B) \neq \emptyset$ . Suppose  $u$  is not contained in  $F(B)$ . Then  $w \notin F(B)$ . Take  $x \in F(B)$ , and choose  $\beta \in B$  so that  $\beta(u) = w$ . Then a subset  $P(x,u) \cup P(x,w) \cup uw$  of  $T$  contains a cycle, where  $P(x,u)$  is the path in  $T$  from  $x$  to  $u$  and  $\beta(P(x,u)) = P(x,w)$ . Then we have a contradiction. Hence  $F(B)$  contains both  $u$  and  $w$ . Consequently, if  $F(A) = \emptyset$ , then the condition (ii) follows.

Proof of the sufficiency of (i) For a subgroup  $B$  of  $A$ , we denote the order of  $B$  by  $|B|$ .

We assume that the condition (i) holds. Put  $X_0 = F(A)$ , and let  $X_1, X_2, \dots, X_m$  be the orbits of the permutation

group  $A$  acting on  $V(G) \setminus X_0$ . We construct a digraph  $D$  with vertex set  $V(D) = \{X_0, X_1, \dots, X_m\}$  from  $G$  as follows. For any two vertices  $X$  and  $Y$  of  $D$ ,  $(X, Y)$  is an arc of  $D$  if and only if there exists an edge  $xy$  of  $G$  such that  $x \in X$ ,  $y \in Y$  and  $A_x \supseteq A_y$  (i.e.  $A_y$  fixes  $x$ ). We shall show that  $D$  is connected and has a rooted spanning tree  $T^*$  possessing the property that for every vertex  $X$ ,  $X \neq X_0$ , there exists a path  $X_0, X_a, X_b, \dots, X_d, X$  in  $T^*$  such that  $(X_0, X_a), (X_a, X_b), \dots, (X_d, X)$  are arcs of  $T^*$ . In order to prove the connectivity of  $D$  and the existence of  $T^*$ , it suffices to show that the following two statements hold.

(1) For each vertex  $X \neq X_0$  of  $D$ , the in-degree of  $X$  is positive.

(2) For each strongly connected component  $C$  of  $D$  with  $X_0 \notin V(C)$ , there exist vertices  $X \in V(C)$  and  $X' \notin V(C)$  such that  $(X', X)$  is an arc of  $D$ .

We first prove (1). Let  $x \in X$ . Since the induced subgraph  $G[F(A_x)]$  is connected, there exists a path  $x, a, \dots, d, p, \dots, r, s$  in  $G[F(A_x)]$  such that  $xa, \dots, dp, \dots, rs$  are edges,  $\{x, a, \dots, d\} \subseteq X$ ,  $p \in X' \neq X$  and  $s \in X_0$ . Since  $A_x$  is included in  $A_a, \dots, A_s$  and  $|A_x| = |A_a| = \dots = |A_d|$  (as  $X$  is an orbit), we obtain  $A_x = A_d = A_{\{x, a, \dots, d\}}$ . Hence  $(X', X)$  is an arc of  $D$ , and so (1) is proved.

It is immediate that if  $(X_i, X_j)$  is an arc of  $D$ , then for any vertices  $a \in X_i$  and  $b \in X_j$ , we have  $|A_a| \geq |A_b|$ . Thus, if  $X_i$  and  $X_j$  are vertices of a strongly connected component of  $D$ , then for all vertices  $a \in X_i$  and  $b \in X_j$ , we have  $|A_a| = |A_b|$ . We now prove (2). Take a vertex  $x \in X$ ,  $X \in V(C)$ , and put  $V(C) = \{X_1, X_2, \dots, X_n\}$ . Then there exists a path  $x, a, \dots, c, p, \dots, r, s$  in  $G[F(A_x)]$  such that  $xa, \dots, rs$  are edges of  $G$ ,  $\{x, a, \dots, c\} \subseteq X_1 \cup \dots \cup X_n$ ,  $c \in X_k$ ,  $X_k \in V(C)$ ,  $p \in X'$ ,  $X' \notin V(C)$  and  $s \in X_0$ . We can similarly show that  $(X', X_k)$  is an arc of  $D$  as  $A_c = A_x \subseteq A_p$ . Hence (2) holds.

Let  $T^*$  be a spanning tree of  $D$  given above. For each arc  $(X, Y)$  of  $T^*$ , we take exactly one edge  $e = xy$  of  $G$  such that  $x \in X$ ,  $y \in Y$  and  $A_x \supseteq A_y$ , and let  $\{e_1, \dots, e_m\}$  be the set of such edges. Set

$$T = (\text{a spanning tree of } G[X_0]) \cup \{\alpha(e_i) \mid 1 \leq i \leq m, \alpha \in A\}.$$

Then it is obvious that  $T$  is an  $A$ -invariant connected spanning subgraph of  $G$ . Suppose  $T$  contains a cycle. Then there exists an edge  $e = xy \in \{e_1, \dots, e_m\}$  such that  $\alpha(x) \neq \alpha(y)$  and  $\tau(y) = \tau(x)$  for some  $\alpha, \tau \in A$ . Then  $\tau^{-1}\alpha(x) \neq x$  and  $\tau^{-1}\alpha(y) = y$ , which contradicts  $A_x \supseteq A_y$ . Therefore,  $T$  contains no cycles, and we can conclude that  $T$  is a desired  $A$ -invariant spanning tree of  $G$ .

Proof of the sufficiency of (ii) We construct a new

graph  $G'$  from  $G$  by inserting a new vertex  $v$  of degree 2 into the edge  $uw$ . Then  $V(G')=V(G)\cup\{v\}$  and  $E(G')=(E(G)\setminus uw)\cup\{uv, vw\}$ . For every  $\alpha\in A$ , define the permutation  $\alpha'$  acting on  $V(G')$  by  $\alpha'(x)=\alpha(x)$  for all  $x\in V(G)$  and  $\alpha'(v)=v$ . Then  $\alpha'$  is an automorphism of  $G'$ . The condition (ii) guarantees that  $G'$  and  $A'=\{\alpha'\in \text{Aut}(G') \mid \alpha\in A\}$  satisfy the condition (i). Hence  $G'$  has an  $A'$ -invariant spanning tree  $T'$ . It is clear that  $T'$  contains edges  $uv$  and  $vw$ . Consequently,  $G$  has an  $A$ -invariant spanning tree  $T=(T'\setminus\{uv, vw\})\cup\{uw\}$ .

Acknowledgment One of the authors is grateful to Professor Hiroshi Kawakami for suggesting the original version of the problem considered herein and his continuous encouragement.

#### References

- [1] M. Behzad, G. Chartrand and L. Lesniak-Foster, Graphs & Digraphs, Prindle, Weber and Schmidt, Boston 1979.

ここで述べた定理に関する問題と(2)は同じである。

(a)  $A\subseteq \text{Aut}(G)$  のとき  $G\models A$ -不变な 1-因子が存在するための必要十分条件 or +5 条件を述べよ。

(b)  $A\subseteq \text{Aut}(G)$  のとき  $G\models A$ -不变な odd-degree spanning subgraph (even-degree) が存在するための条件を述べよ。 (各点の次数が odd (even))

## グラフの連結性について

太田 克弘 東大・理・情報

5点以上の任意の3連結グラフには、contractしても3連結性を保存する辺（これを3-contractibleな辺と呼ぶ）が、存在した。しかし、contractして、4連結性を保存する辺を一つも持たない4連結グラフが無数に存在することが分かっている。そこで、4連結性を保存するような、グラフの変形操作を考える。

$xyz$  を4連結グラフ  $G$  の長さ2の path とする。このとき、

$$\Gamma_G(y) - \{x, z\} = A \cup B \quad (\text{partition})$$

に対し、 $G$  から  $y$  を取り去って、 $x$  と  $A$  の点及び、 $z$  と  $B$  の点をつなぎ、さらに  $x$  と  $z$  をつないで出来るグラフを、 $G'$  とおく。（ $A = \emptyset$  のとき、この操作は辺  $yz$  の contraction である。） $G'$  が4連結のとき、 $G$  から  $G'$  を作るこの操作を、 $xyz$  における  $P_3$ -reduction と呼ぶことにする。 $xyz$ において  $P_3$ -reduction が出来るためには、 $G - \{x, y, z\}$  : 2連結でなければならない。

補題1. 6点以上の4連結グラフ  $G$  の任意の点  $j^*$  に対して、 $G - \{x, y, z\}$  : 2連結となる  $x, z$  が存在する。

補題2. 6点以上の4連結グラフ  $G$  の長さ2のパス  $xyz$  が、 $G - \{x, y, z\}$  : 2連結を満たすとき、

(I)  $xz \in E(G)$  ならば、 $xyz$ において  $P_3$ -reduction が存在する。

(II)  $xyz$ において  $P_3$ -reduction が存在しないならば、 $xyw$  及び  $wyz$ において  $P_3$ -reduction が存在するような  $w \in \Gamma_G(y) - \{x, z\}$  が存在す

る。

すなわち、補題1・2より、次の定理が得られたわけである。

定理3. 6点以上の4連結グラフ  $G$  の任意の点  $y$  の回りに  $P_3$ -reduction が存在する。

一方、補題1は、 $K_5$  を除く任意の4連結グラフの任意の点に対して、その点及びその点の適当な2点近傍を取り除いてできるグラフが2連結となるようにできることを意味している。一般に  $n$ 連結グラフから  $m$ 点を取り除くと、 $n-m$ 連結は保証されるが、上の場合さらにもう1連結を保証しているわけである。ここでは、1点とその近傍という形の  $m$ 点で、取り除いたとき連結度を1だけかせぐものについて考える。ある  $m$  についてこの様な点集合があったとすれば、もう1点付け加えて  $m+1$ 点にしても連結度を1だけかせぐことができる。したがって、次の定義に意味がある。すなわち、

定義1.  $n+2$ 点以上の任意の  $n$ 連結グラフ  $G$  の任意の点  $y$  に対して、 $\Gamma_G(y)$  の適当な  $r$ 点部分集合  $S$  を選ぶと、 $G - (\{y\} \cup S)$  が  $n-r$ 連結グラフとなるような最小の  $r$  を  $r(n)$  と書くことにする。

一般に、 $K_{n+2} - \{\left\lfloor \frac{n+1}{2} \right\rfloor$ -independent edges } を考えたときに、 $r = \left\lfloor \frac{n}{2} \right\rfloor - 1$  とすると、任意の点とその近傍の任意の  $n$ 点に対し、これらの  $r+1$ 点全てと隣接する次数  $n$  の点が存在するので、 $r(n) \geq \left\lceil \frac{n}{2} \right\rceil$  が分かる。このことと補題1を用いると、 $r(4) = 2$  を得る。

また、 $r(n+1) \leq r(n) + 1$  が成り立つので  $r(5) = 3$  である。容易に  $r(1) = r(2) = 1$ ,  $r(3) = 2$  も示されるので、上の下限で等号が成立すると思われる。

予想4.  $r(n) = \left\lceil \frac{n}{2} \right\rceil$ 。

この予想は、次の Slater の予想を含んでいる。

予想5. [Slater, 1977]  $2k > n$  に対し、 $K_{n+1}$  が唯一の  $(n,k)$ -グラフである。

但し、 $(n,k)$ -グラフ  $G$  とは、任意の  $k$  点以下の点集合  $S$  に対し、 $G - S$  の連結度が  $n - |S|$  になるグラフのことである。

予想4の肯定的な結論として、次の定理を得た。

定理6.  $r(6) = 3$ .

定理6から  $r(n)$  の上限として、次の系を得る。

系7.  $n \geq 5$  ならば、 $r(n) \leq n-3$ . 特に、 $r(7) = 3$ .

定義1において、「任意の点」を「ある点」に変えるとどうなるであろうか。

定義2.  $n+2$  点以上の任意の  $n$  連結グラフ  $G$  に対して、ある点  $y$  が存在して、 $\Gamma_G(y)$  の適当な  $r$  点部分集合をとると、 $G - (\{y\} \cup S)$  が  $n-r$  連結になるような最小の  $r$  を  $r'(n)$  と書く。

$r'(n)$  については、次のことが分かる。

$$\star \quad \left\lceil \frac{n}{2} \right\rceil \leq r'(n) \leq r(n).$$

従って、具体的な  $n$  で、自明に分かることは以下のものである。

$$\star \quad r'(1) = 0.$$

$$\star \quad r'(2) = r'(3) = 1.$$

$$\star \quad r'(4) = 2.$$

$$\star \quad r'(6) = 3.$$

予想8.  $r'(n) = \left\lfloor \frac{n}{2} \right\rfloor$ .

この予想も、Slaterの予想（予想5）を含んでいる。

$n = 5$  については、少し強い形で肯定的に解決された。得られた結果は、

定理9. 7点以上の5連結グラフ  $G$  の次数5の任意の点  $y$  に対して、 $\Gamma_G(y)$  の適当な2点  $x, z$  を選ぶと、 $G - \{x, y, z\}$  が3連結になるようにできる。

これは、3連結グラフに関する次の定理のアナロジーになっている。

定理10. [Ando, Enomoto & Saito] 5点以上の3連結グラフの次数3の任意の点には、3-contractibleな辺が接続している。

任意の奇数連結グラフに対して、このタイプの命題が成り立つと思われる。

予想11.  $2k+3$ 点以上の  $2k+1$ 連結グラフ  $G$  の次数  $2k+1$  の任意の点  $y$  に対して、 $\Gamma_G(y)$  の適当な  $k$ 点部分集合  $S$  を選ぶと、 $G - (\{y\} \cup S)$  が  $k+1$ 連結になる。

最後に、これよりさらに強い予想として、以下を挙げておく。

予想12.  $2k+3$ 点以上の  $2k+1$ 連結グラフ  $G$  の任意の  $2k+2$ 点部分集合  $W$  に対し、 $W$  のちょうど  $k+1$ 点を含み、残りの  $k+1$ 点と交わらない  $k+1$ 連結部分グラフが存在する。